

วงจรขยายสัญญาณสำหรับเครือข่ายไร้สาย  
ย่านความถี่ 2.4 GHz โดยใช้วงจรขยายสัญญาณแบบ MMIC  
(Low noise Amplifier wireless LAN)



รายงานนี้เป็นส่วนหนึ่งของรายวิชา 427499 โครงการวิศวกรรมโทรคมนาคม  
ภาคการศึกษาที่ 1 ปีการศึกษา 2548  
สาขาวิชาวิศวกรรมโทรคมนาคม สำนักวิชาวิศวกรรมศาสตร์  
มหาวิทยาลัยเทคโนโลยีสุรนารี

โครงงาน	การออกแบบวงจรขยายสัญญาณ (Amplifier) สำหรับเครือข่ายไร้สาย (WLAN) ย่านความถี่ 2.4 GHz โดยใช้วงจรขยายสัญญาณแบบ MMIC
ผู้ดำเนินงาน	นายกัมปนาท ลานอก นายสุรเดช สุวรรณ โนรา
อาจารย์ที่ปรึกษา	อาจารย์ ดร. ชาญชัย ทองไสغا
สาขาวิชา	วิศวกรรมโทรคมนาคม
ภาคการศึกษาที่	2/2548

### บทคัดย่อ

การออกแบบวงจรขยายสัญญาณ (Amplifier) สำหรับเครือข่ายไร้สาย (WLAN) ย่านความถี่ 2.4 GHz โดยใช้วงจรขยายสัญญาณแบบ MMIC ประกอบไปด้วยส่วนการทำงาน 3 ส่วนหลักๆ คือ Power Amplifier, Low Noise Amplifier, และส่วนของสายอากาศ โดยที่วงจรขยายสัญญาณออกแบบโดยใช้ MMIC เบอร์ HMC286 และ HMC287 โดยใช้หลักการของ R.F. CIRCUIT DESIGN ในการออกแบบ เพื่อที่จะสามารถขยายสัญญาณให้มีความแรงของสัญญาณที่เพิ่มมากขึ้น ซึ่งจะทำให้ได้ความแรงของสัญญาณครอบคลุมพื้นที่ตามต้องการ



## กิตติกรรมประกาศ

ในการจัดทำโครงการวงจรขยายสัญญาณ (Amplifier) สำหรับเครือข่ายไร้สาย(WLAN) ย่านความถี่ 2.4 GHz โดยใช้วงจรขยายสัญญาณแบบ MMIC สามารถเสริมสมดุลรบลงได้กีเพรา ด้วยความกรุณาของบุคคลหลายท่าน ซึ่งอยู่ให้ความช่วยเหลือและให้คำปรึกษา รวมทั้งข้อเสนอแนะที่เป็นประโยชน์ ในการทำงานครั้งนี้ซึ่งประกอบด้วย อาจารย์ ดร.ชาญชัย ทองสกาก อาจารย์ที่ปรึกษาโครงการผู้เปิดโอกาสให้ผู้จัดทำได้สัมผัส และ รู้จักกับการทำโครงการนี้เป็นผู้ประดิษฐ์ประเทศไทยความรู้ รวมทั้งให้คำแนะนำอันเป็นประโยชน์อย่างยิ่งเกี่ยวกับโครงการนี้

ขอขอบคุณ คุณประพด จาระตะคุ ที่ให้ความช่วยเหลือในการดำเนินงานเกี่ยวกับงบประมาณ ตลอดจนอุปกรณ์ และ เครื่องมือต่างๆที่ใช้ดำเนินโครงการ รวมทั้งขอขอบคุณเพื่อนๆทุกคนที่มีส่วนเกี่ยวข้องกับโครงการนี้สำหรับความช่วยเหลือที่ดี และ กำลังใจที่มอบให้ตลอดมา

สุดท้ายนี้ผู้จัดทำขอกราบขอบพระคุณบิดา และ นารดา ของผู้จัดทำผู้ให้โอกาสทางการศึกษา และคุณสนับสนุนด้วยศีลอดามา รวมทั้งกำลังใจที่ยอมอนให้ผู้จัดทำอย่างหาที่เปรียบมิได้



นายกมปนาท ลานอก  
นายสุรเดช สุวรรณโนรา

# สารบัญ

หน้า

บทคัดย่อ	๑
กิตติกรรมประกาศ	๒
สารบัญภาพ	๓
สารบัญตาราง	๔
 บทที่ ๑ บทนำ	 ๑
1.1 ปัญหาที่มาของโครงการ	๑
1.2 วัตถุประสงค์ของโครงการ	๑
1.3 ขอบข่ายของโครงการ	๒
1.4 ผลที่คาดว่าจะได้รับ	๒
 บทที่ ๒ ทฤษฎี และ หลักการ	 ๓
2.1 ทฤษฎีวงจรขยาย Low Noise Amplifier	๓
2.2 วงจรขยายภาคเอ้าท์พุท และ วงจรขยายกำลัง	๑๐
2.3 ไมโครสตริปและวงจรในไมโครสตริป	๑๖
2.4 การออกแบบในไมโครสตริป	๒๔
2.5 การทดสอบสัญญาณและการต่อแมตชิ่งโหลด	๒๕
 บทที่ ๓ การออกแบบ	 ๓๖
3.1 กล่าวนำ	๓๖
3.2 การออกแบบ Transmission Line บนแผ่นในไมโครสตริป	๓๗
3.3 ส่วนที่ทำหน้าที่ขยายสัญญาณ	๓๘
3.3.1 MMIC HMC286	๓๘
3.3.2 MMIC HMC287	๓๘
3.4 ส่วนของแหล่งจ่ายไฟ (Power supply)	๓๙
3.5 การนำไปต่ออุปกรณ์ในการใช้งานจริง	๔๐

## สารบัญ(ต่อ)

	หน้า
<b>บทที่ 4 การทดสอบและผลการทดสอบ</b>	<b>41</b>
4.1 กล่าวนำ	41
4.2 การทดสอบวงจรขยายสัญญาณแบบ MMIC HMC286	41
4.3 การทดสอบวงจรขยายสัญญาณแบบ MMIC HMC287	43
4.4 การทดสอบวงจรขยายสัญญาณแบบ MMIC HMC286 เซื่อมต่อกับ วงจรขยายสัญญาณ แบบ MMIC HMC287	44
4.5 ผลการวัด S <sub>11</sub> , S <sub>12</sub> , S <sub>21</sub> , S <sub>22</sub> จากเครื่อง Network Analyzer ของวงจรMMIC - MMIC เบอร์ HMC286	46
- MMIC เบอร์ HMC287MS8	48
<b>บทที่ 5 บทสรุป</b>	
5.1 ข้อสรุปด้านงานที่พัฒนาขึ้นจากโครงการ	50
5.2 ปัญหาที่พบ และแนวทางการแก้ไข	50
5.3 ผลที่ได้จากการทดลอง	51
5.4 ข้อเสนอแนะ	52
5.5 แนวทางการพัฒนาต่อไป	52
<b>บรรณาธิการ</b>	<b>53</b>
<b>ภาคผนวก</b>	<b>54</b>
<b>ประวัติผู้เขียน</b>	

## สารบัญภาพ

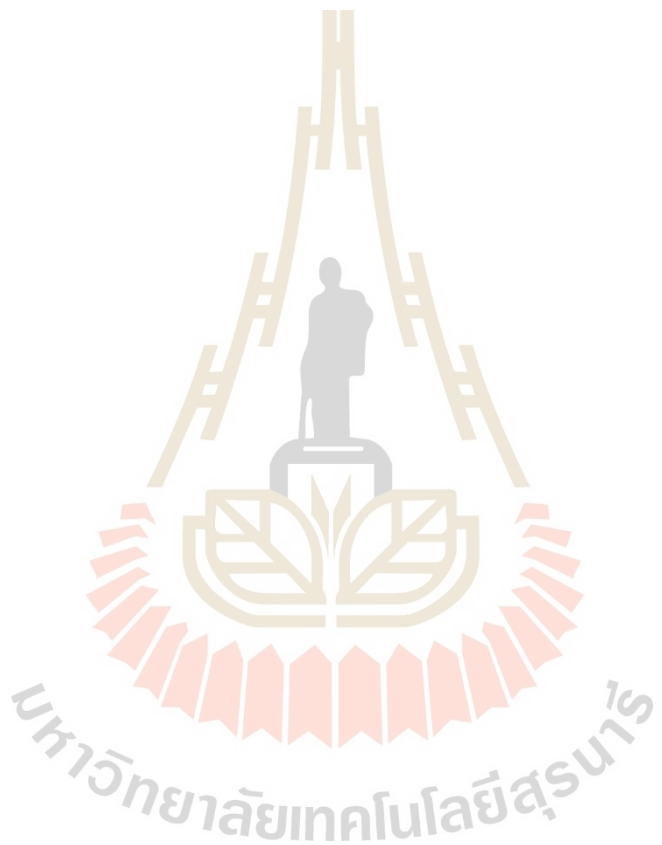
	หน้า
ภาพที่ 1.1 เป็นวงจรสมมูลค์ของสายส่ง	3
ภาพที่ 1.2 Load Reflection coefficient	4
ภาพที่ 1.3 Power Source reflection coefficient	4
ภาพที่ 1-4 2 Port Network Equivalents	4
ภาพที่ 2-2a 2 Port network	5
ภาพที่ 2-3 Maximum available power	6
ภาพที่ 2-4 สัญญาณของกระแสคลื่นเด็กเตอร์ชั่งทำงานในคลาสต่างๆ	10
ภาพที่ 2-5 วงจรขยายคอมมอนคอลเด็กเตอร์	11
ภาพที่ 2-6 วงจรขยายอั้วท์พุทคลาสเอ	11
ภาพที่ 2-7 คุณลักษณะการส่งผ่านระหว่างอินพุตและอั้วท์พุท	12
ภาพที่ 2-8 สัญญาณสูงสุดที่ชุดต่างๆของวงจรขยายภาคอั้วท์พุทคลาสเอ	12
ภาพที่ 2-9 คุณสมบัติการส่งผ่านของวงจรขยายคลาสนี้	14
ภาพที่ 2-10 สัญญาณอั้วท์พุทที่เกิดความผิดเพี้ยนตรงรอยต่อ	14
ภาพที่ 2-11 โครงสร้างของไมโครสตริป	17
ภาพที่ 2-12 การคำดี tan δ	19
ภาพที่ 2-13 เส้นแรงไฟฟ้าที่ระนาบตามขวางของไมโครสตริป	20
ภาพที่ 2-14 ในไมโครสตริปที่มี $W/d >> 1$ และ $W/d \ll 1$	22
ภาพที่ 2-15 แสดงโครงสร้างชิ้นส่วนลดTHONสัญญาณของไมโครสตริปแบบ II และวงจรสมมูลค์	26
ภาพที่ 2-16 ในไมโครสตริปที่มีความกว้างเปลี่ยนเป็นชิ้นและวงจรสมมูลค์	27
ภาพที่ 2-17 การคั่นในไมโครสตริปด้วยແບນສตริปที่กว้างขึ้นและແຄນລົງ และวงจรสมมูลค์ทางไฟฟ้า	28
ภาพที่ 2-18 แสดงโครงสร้างชิ้นส่วนค่าปานิชແຕນซ์แบบล้มปี	30
ภาพที่ 2-19 โครงสร้างของชิ้นส่วนอินດักແຕນซ์แบบล้มปี	31
ภาพที่ 2-20 วงจรเรโซแนนซ์แบบอนุกรมและแบบขนานที่สร้างจากชิ้นส่วนรีแอก ແຕນซ์แบบล้มปี	32
ภาพที่ 2-21 วงจรไบแอดส์ที่ใช้ชิ้นส่วนอินດักແຕນซ์แบบล้มปี	32
ภาพที่ 2-22 ชิ้นส่วนอินດักແຕນซ์ที่ถูกออกแบบไว้ด้วยชิ้นส่วนค่าปานิชແຕນซ์ และวงจรสมมูลค์ที่ได้	34
ภาพที่ 2-23 วงจรไฟลเตอร์ชิ้นส่วนล้มปีและวงจรในไมโครสตริปที่ทำงานเหมือนกัน	35

## สารบัญภาพ (ต่อ)

หน้า	
ภาพที่ 3.1 โครงสร้างโดยรวมของระบบ	36
ภาพที่ 3.2 Matching Amplifier	36
ภาพที่ 3.3 ลายแพน(PCB)	37
ภาพที่ 3.4 Functional Diagram ของ GaAs MMIC Low Noise Amplifier , 2.3-2.5 GHz ( เบอร์ HMC286 )	38
ภาพที่ 3.5 Functional Diagram ของ GaAs MMIC Low Noise Amplifier , 2.3-2.5 GHz ( เบอร์ HMC287MS8 )	38
ภาพที่ 3.7 แสดงรูปแบบของวงจรแหล่งจ่ายไฟ	39
ภาพที่ 3.8 การนำไปต่ออุปกรณ์ในการใช้งานจริง	40
ภาพที่ 4.1 แสดงการจัดอุปกรณ์ทดสอบการวัดความแรงของสัญญาณของวงจร MMIC HMC286	41
ภาพที่ 4.2 แสดงผลการทดสอบระดับความแรงของสัญญาณของวงจรMMIC HMC286	42
ภาพที่ 4.3 แสดงผลการทดสอบระดับความแรงของสัญญาณของวงจรMMIC HMC287	43
ภาพที่ 4.4 แสดงการจัดอุปกรณ์ทดสอบการวัดความแรงของสัญญาณของวงจรMMIC HMC286 เชื่อมต่อกับวงจรMMIC HMC287	44
ภาพที่ 4.5 แสดงผลการทดสอบระดับความแรงของสัญญาณของวงจร MMIC HMC286 เชื่อมต่อกับวงจรMMIC HMC287	45
ภาพที่ 4.6 แสดงการจัดอุปกรณ์เพื่อทดสอบค่า S <sub>11</sub> , S <sub>12</sub> , S <sub>21</sub> , S <sub>22</sub> ของวงจร MMIC HMC286 และวงจรMMIC HMC287 จากเครื่อง Network Analyzer	46
MMIC เบอร์HMC286	46
S11	46
Matching Input	47
S22	47
Matching Output	47
S21เมื่อมีการป้อนไฟกระแสตรง	48

## สารบัญภาพ (ต่อ)

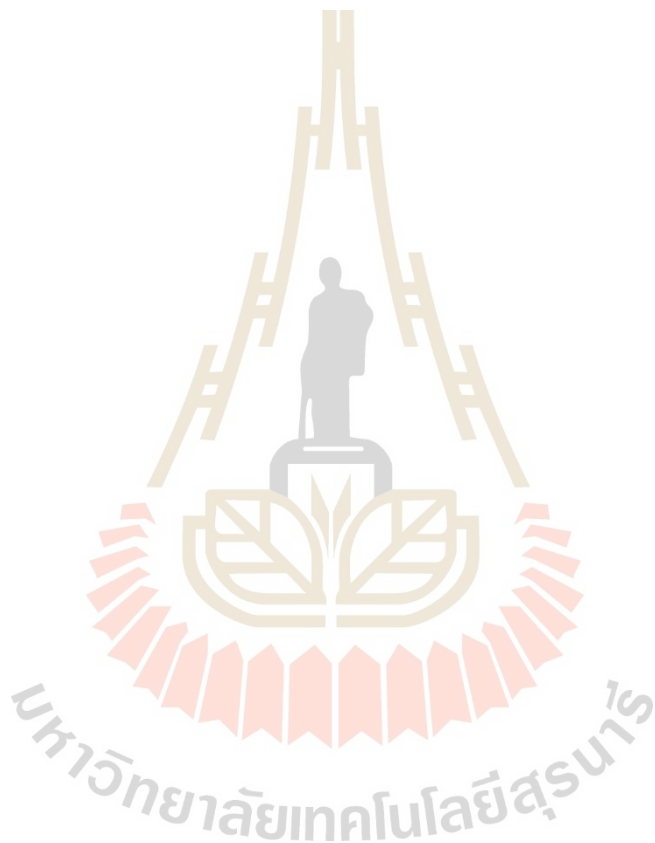
MMIC เบอร์ HMC287MS8	48
S11	48
Matching Input	48
S22	49
Matching Output	49
S21	49



## สารบัญตาราง

หน้า

ตารางที่ 1 คุณสมบัติของชั้บสเตรตแบบต่างๆ	18
ตารางที่ 3.6 Gain Control	39
ตารางที่ 5.1 ปัจจัยที่พบรอยในโครงงาน และแนวทางแก้ไข	51



## บทที่ 1

### บทนำ

#### 1.1 ปัญหาที่มาของโครงการ

ในปัจจุบันการติดต่อสื่อสารแบบไร้สายมีบทบาทกับชีวิตประจำวันมาก และ มีแนวโน้มเพิ่มมากขึ้นเรื่อยๆ ขอบเขตที่สัญญาณครอบคลุมถึง และ ความแรงของสัญญาณจากแหล่งกำเนิดสัญญาณมีความสำคัญมากในการติดต่อสื่อสารแบบไร้สาย และ ความแรงของสัญญาณที่แผ่กระจายจะคล่องเมื่อมีระยะที่ไกลขึ้น ดังนั้น โครงการนี้จึงได้จัดทำขึ้นเพื่อศึกษาวิเคราะห์ และ สร้างวงจรขยายสัญญาณ (Amplifier) สำหรับเครือข่ายไร้สาย (WLAN) ย่านความถี่ 2.4 GHz โดยใช้วงจรขยายสัญญาณแบบ MMIC เพื่อทำการขยายสัญญาณให้มีความแรงของสัญญาณที่เพิ่มมากขึ้น ซึ่งจะทำให้ได้ความแรงของสัญญาณครอบคลุมพื้นที่ตามต้องการ

#### 1.2 วัตถุประสงค์ของโครงการ

- 1.2.1 เพื่อศึกษาการทำงานของวงจรความถี่สูง (RF Circuit)
- 1.2.2 เพื่อศึกษาการทำงานของวงจรขยายสัญญาณ
- 1.2.3 เพื่อศึกษาและออกแบบวงจรขยายสัญญาณ
- 1.2.4 เพื่อศึกษาออกแบบวงจร (PCB)
- 1.2.5 เพื่อศึกษาและวิเคราะห์ความแรงของสัญญาณ
- 1.2.6 เพื่อรับรวมความรู้ที่ได้ศึกษาจากภาคทฤษฎี มาใช้ในการทำงานจริงได้

### 1.3 ขอบข่ายของโครงการ

- 1.3.1 ศึกษาการทำงานของวงจรขยายสัญญาณ ทางทฤษฎี
- 1.3.2 ศึกษาลักษณะการทำงานและโครงสร้างของ MMIC
- 1.3.3 ออกรูปแบบและสร้างวงจรขยายสัญญาณ
- 1.3.4 ทดสอบและวิเคราะห์ความแรงของสัญญาณ
- 1.3.5 ตรวจเช็คความถูกต้องและแก้ไขข้อผิดพลาด
- 1.3.6 สรุปผลการดำเนินโครงการ

### 1.4 ผลที่คาดว่าจะได้รับ

- 1.4.1 ได้เรียนรู้ทฤษฎีทางการออกแบบวงจรความถี่สูง ไปใช้งานได้จริง
- 1.4.2 สามารถออกแบบและสร้างแบบจำลองได้
- 1.4.3 สามารถวิเคราะห์สัญญาณที่ได้จากอุปกรณ์จริง
- 1.4.4 ได้เข้าใจถึงการทำงานของวงจรขยายสัญญาณ
- 1.4.5 สามารถนำผลงานไปใช้งานจริงได้
- 1.4.6 ได้ศึกษาและเรียนรู้เครื่องมือและอุปกรณ์ที่ใช้ในการทดสอบแบบจำลอง
- 1.4.7 สามารถที่จะเรียนรู้ปัญหาและหาวิธีแก้ปัญหาที่จะเกิดขึ้นได้

## บทที่ 2

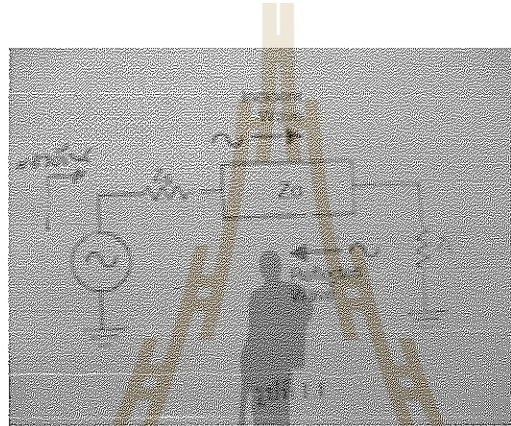
### ทฤษฎี และ หลักการ

#### 2.1 ทฤษฎีของขยาย Low Noise Amplifier

##### 2.1.1 การออกแบบของขยาย Low Noise Amplifier

โดยพิจารณาเงื่อนไขขอบเขตให้เหมาะสม โดยดูจากอัตราขยาย และการทำ Optimize เพื่อให้เหมาะสมกับการทำงาน

##### 2.1.2 Transmission line



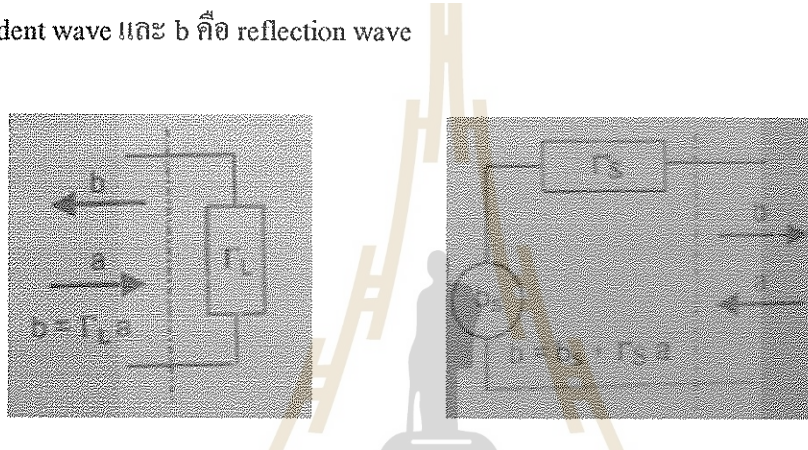
จากรูปที่ 1.1 เป็นวงจรตามนู๊ด ของสายส่งที่ประกอบด้วยแรงดันกระแสเพื่อสร้างกำลังส่งไปยัง Impedance  $Z_s$  และ  $Z_l$  ทำให้เกิดการเดินทางของคลื่นในลักษณะ incident และ reflective ภายในสายส่งซึ่งมี impedance เป็น  $Z_0$  ถ้า Impedance:  $Z_l = Z_0$  คลื่นที่ Incident จะถูกดูดกลืนโดย Load ทำให้ไม่มีการ Reflective คลื่นออกมาก แต่ถ้า  $Z_l \neq Z_0$  จะทำให้เกิดการสะท้อนกลับของคลื่นไปยังแหล่งจ่าย และถ้า impedance:  $Z_s = Z_0$  จะเกิดการสะท้อนคลื่นจาก Load และถูกดูดกลืนไว้ด้วยแหล่งจ่าย (Source) จึงทำให้ไม่มีการสะท้อนคลื่นเกิดขึ้นเช่นกัน สำหรับกรณี  $Z_s$  กับ  $Z_0$  ไม่เท่ากัน ก็จะทำให้มีการสะท้อนคลื่นจาก Load ไปยังแหล่งจ่ายและกลับมาที่ Load อีกครั้งซึ่งกรณีเหล่านี้จะทำให้เกิดการสูญเสียภายในสายส่ง อัตราการสะท้อนคลื่น หรือ Reflective Coefficient ( $\Gamma$ ) หรือคือค่าสัมประสิทธิ์ การสะท้อนกลับ

$$\Gamma = \frac{\text{WAVE reflected}}{\text{WAVE incident}} = \frac{\text{คลื่นสะท้อนกลับ}}{\text{คลื่นต้นกระแส}} = \frac{\rho}{\theta} \quad (1-1)$$

จากสมการที่ 1-1 โดยปกติค่า  $\Gamma$  จะมีค่ามากกว่า 1 จะเกิดการสะท้อนໂ Holden ไปข้างหลังจ่ายโดยที่ค่าดื่นสะท้อนมีค่ามากกว่าค่าดื่นระบบ ดังนั้น  $\Gamma$  จะคำนวณได้จากสมการ 1-2

$$\Gamma = \frac{Z_l - Z_0}{Z_l + Z_0} \quad \text{or with } Z_l = \frac{Z_0}{\Gamma + 1} \text{ in a normalize from } \Gamma = \frac{Z_l - 1}{Z_l + 1} \quad (1-2)$$

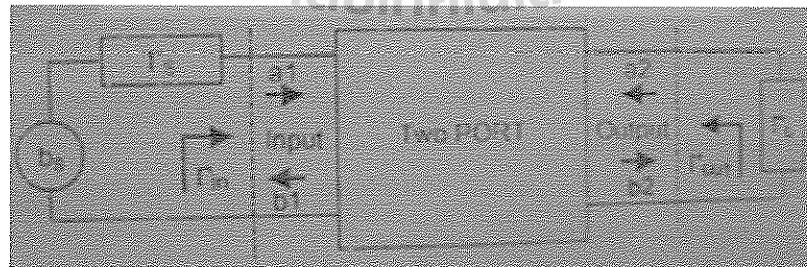
ถ้าเกิดการไม่ Match ของ Impedance ภายในอุปกรณ์ RF ระหว่างแหล่งจ่ายและ Holden จะทำให้เกิดการสะท้อนค่าดื่นที่แหล่งจ่าย (Source Reflection coefficient) ดังรูปที่ 1-2 และ 1-3 โดยที่ a คือ incident wave และ b คือ reflection wave



รูปที่ 1-2 Load Reflection coefficient

รูปที่ 1-3 Power Source reflection coefficient

#### 2.1.3 S-Parameter และ 2 Port Network



รูปที่ 1-4 2 Port Network Equivalents

จากรูปที่ 1-4 แสดงวงจรสมมูลของวงจร 2 Port Network ซึ่งสามารถคำนวณหาค่า Parameter ค่าทางๆ ได้จากสมการ

$$b_1 = S_{11}a_1 + S_{12}a_2$$

$$b_2 = S_{21}a_1 + S_{22}a_2$$

เมื่อ

$S_{11}$  = input reflection coefficient

$S_{12}$  = reverse transmission coefficient

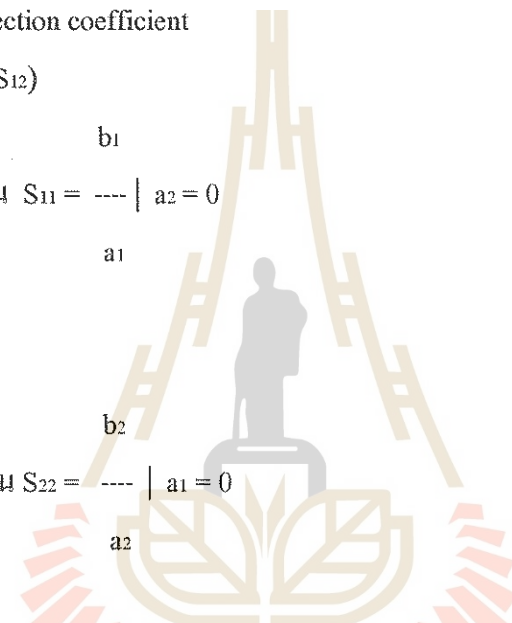
$S_{21}$  = forward transmission coefficient

$S_{22}$  = output reflection coefficient

$$\text{ดังนั้น } \Delta S = (S_{11}S_{22} - S_{21}S_{12})$$

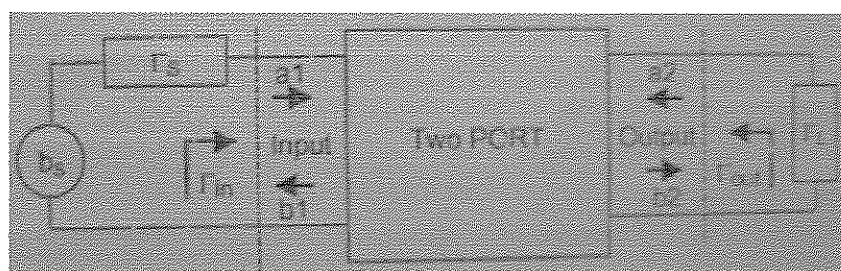
$$\text{ถ้า } a_2 = 0 \quad \text{ดังนั้น } S_{11} = \frac{b_1}{a_1} \quad | \quad a_2 = 0$$

$$a_1 = 0 \quad \text{ดังนั้น } S_{22} = \frac{b_2}{a_2} \quad | \quad a_1 = 0$$



สำหรับการออกแบบ Low Noise Amplifier จะใช้เครื่องข่าย 2 Port โดยพิจารณา parameter เพื่อคำนวณหาค่ากำลังขยายสูงสุด ค่า input และ Output impedance และ transducer gain โดยเราจะคำนวณหาค่า Optimize ระหว่าง impedance ของ โอลด์และแหล่งจ่ายด้วยวิธี Simultaneous conjugate matching เพื่อกำหนดขนาด Transducer Gain,  $\Gamma_{out}$  คือ 2-port output reflection coefficient,  $\Gamma_{in}$  คือ 2-port input reflection coefficient และจะได้ flow graph สำหรับโอลด์แบบ 2 Port Network ดังรูป

2-2 a



รูปที่ 2-2a

ค่า input และ output reflection coefficient ของ 2-port network คำนวณได้จากสมการ 2-1 และ 2-2

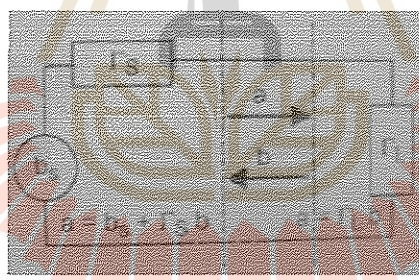
$$\Gamma_{in} = \frac{b_1 - S_{21}\Gamma_L S_{12}}{a_1 - S_{22}\Gamma_L} \quad (2-1)$$

$$\Gamma_{out} = \frac{b_2 - S_{21}\Gamma_S S_{12}}{a_2 - S_{22}\Gamma_S} \quad (2-2)$$

#### 2.1.4 Gain ใน 2-port networks

การคำนวณหากำลังสั่งในลักษณะของ RF และ Microwave domain ที่ได้จากการสัมพันธ์ระหว่าง a และ b

2.1.5 Maximum available power ค่ากำลังงานที่สั่งได้สูงสุดจากแหล่งจ่ายไปยังโหลด เกิดขึ้นเมื่อ  $\Gamma_S = \Gamma_L^*$



รูปที่ 2-3

จากรูปแสดงค่า Half Power จากแหล่งจ่ายไปยังโหลด ซึ่งกำลังสั่งที่โหลดรับได้ จะคำนวณจากสมการ(3-2)และ สมการ(3-3)

$$P_2 = \frac{1}{2}(|a|^2 - |b|^2) = \frac{1}{2}|a|^2(1 - |\Gamma_L|^2) \quad (3-2)$$

$$P_2 = \frac{1}{2} \frac{|bs|^2}{(1 - \Gamma_L \Gamma_S)^2} \frac{1 - |\Gamma_L|^2}{1 - |\Gamma_S|^2} \quad (3-3)$$

เมื่อ  $\Gamma_L = \Gamma_{S^*}$  จะได้สมการ(3-4)

$$\frac{P_{LAV}}{2(1 - |\Gamma_L|^2)} = \frac{|bs|^2}{|bs|^2} \quad (3-4)$$

### 2.1.6 2-Port Network power Gain

อัตราขยายภายใน Low Noise Amplifier หาได้จากสมการ(3-5)

$$G = \frac{P_2}{P_1} \quad (3-5)$$

$P_1$

$P_2$  = power ที่ output

$P_1$  = power ที่ input

เมื่อ  $P_2$  คือกำลังที่ด้าน output คำนวณได้จาก

$$P_2 = 1(|b_2|^2 - |a_2|^2) = 1|b_2|^2(1 - |\Gamma_L|^2) \quad (3-6)$$

2 2

$P_1$  คือกำลังที่ถูกดูดกลืน โดย input คำนวณได้จาก

$$P_1 = 1(|b_1|^2 - |a_1|^2) = 1|a_1|^2(1 - |\Gamma_{in}|^2) \quad (3-7)$$

2 2

และหากความสัมพันธ์ระหว่าง  $b_2$  และ  $a_2$  ได้

$$b_2 = S_{21} + S_{22}\Gamma_L \quad a_2 = S_{12} + S_{22}\Gamma_L$$

$$D = \frac{P_2}{P_1} = \frac{1|b_2|^2(1 - |\Gamma_L|^2)}{1|a_1|^2(1 - |\Gamma_{in}|^2)} = \frac{(S_{21} + S_{22}\Gamma_L)^2(1 - |\Gamma_L|^2)}{(S_{12} + S_{22}\Gamma_L)^2(1 - |\Gamma_{in}|^2)}$$

Eq.3-8

ดังนั้นจะได้กำลังขยายของ 2-port networks ได้ดังนี้

$$G = \frac{P_2}{P_1} = \frac{|S_{21}|^2(1 - |\Gamma_s|^2)}{(1 - S_{11}\Gamma_s)^2(1 - S_{22}\Gamma_s)^2}$$

Eq.3-9

#### 2.1.6 Maximum available gain for 2-port Networks

ค่ากำลังขยายสูงสุดจะเกิดขึ้นเมื่อ  $\Gamma_L = \Gamma_{out}$  ดังนั้นเราสามารถหาค่า Maximum available gain(GAV) จากอัตราส่วนระหว่างกำลังที่ output ต่อกำลังส่งที่ แหล่งจ่าย( $GAV = P_{2AV}/P_{1AV}$ )

เมื่อ

$$P_{1AV} = \frac{|bs|^2}{2(1 - |\Gamma_s|^2)} \quad \text{when } \Gamma_{in} = \Gamma_s *$$

Eq.4-3

Power available ที่ output ของ 2- Port คือ

$$P_{2AV} = \frac{|bs_2|^2}{2(1 - |\Gamma_{out}|^2)} \quad \text{when } \Gamma_{out} = \Gamma_L *$$

Eq.4-4

ดังนั้นจะได้

$$GAV = \frac{P_{2AV}}{P_{1AV}} = \frac{|S_{21}|^2(1 - |\Gamma_s|^2)}{(1 - |\Gamma_{out}|^2)(1 - S_{11}\Gamma_s)^2}$$

Eq.4-5

ค่า Maximum Available gain จะขึ้นกับ  $\Gamma_s$  และ 2-port S- Parameter ซึ่งต้องการให้ได้ กำลังขยายสูงสุด  $\Gamma_L$  จะเท่ากับ  $\Gamma_{out} *$  โดยหากค่า GAV ได้ใหม่เป็น

$$G_{AV} = \frac{P_{out}}{P_{in}} = \frac{|S_{21}|^2(1 - |T_{21}|^2)}{1 - |T_{21}|^2(1 - |S_{11}|)^2}$$

$$G_{AV} = \frac{|S_{21}|^2(1 - |T_{21}|^2)}{1 - \left| S_{11} + \frac{S_{12}T_{21}}{1 - |S_{11}|^2} \right|^2}$$

Eq.4-6

### 2.1.7 Transducer Gain

ค่า Transducer Gain นักใช้ในการออกแบบ RF Amplifier ซึ่งมีผลกระทบกับการ Match impedance input และ impedance output ที่นานวัน ได้จาก

$$G_T = \frac{P_2}{P_{in}} = \frac{|S_{21}|^2(1 - |T_{21}|^2)}{1 - |T_{21}|^2(1 - |S_{11}|)^2}$$

$$G_T = \frac{P_2}{P_{in}} = \frac{|S_{21}|^2(1 - |T_{21}|^2)}{1 - \left| S_{11} + \frac{S_{12}T_{21}}{1 - |S_{11}|^2} \right|^2}$$

Eq.5-5

ในการออกแบบ Low Noise Amplifier ต้องพิจารณา Stability และ Maximum available Gain โดยที่ Stability วัดจากการ Oscillate ของ LNA และการออกแบบ LNA ส่วน Maximum available Gain เป็นค่า Figure of merit ของ LNA และ ออกแบบ LNA ให้ได้อัตราขยายสูงสุด โดยใช้ conjugate method ระหว่าง impedance ของแหล่งจ่าย และ load

## 2.2 วงจรขยายภาคเอ้าท์พุท และ วงจรขยายกำลัง(Output Stage and Power Amplifiers)

### กล่าวว่า

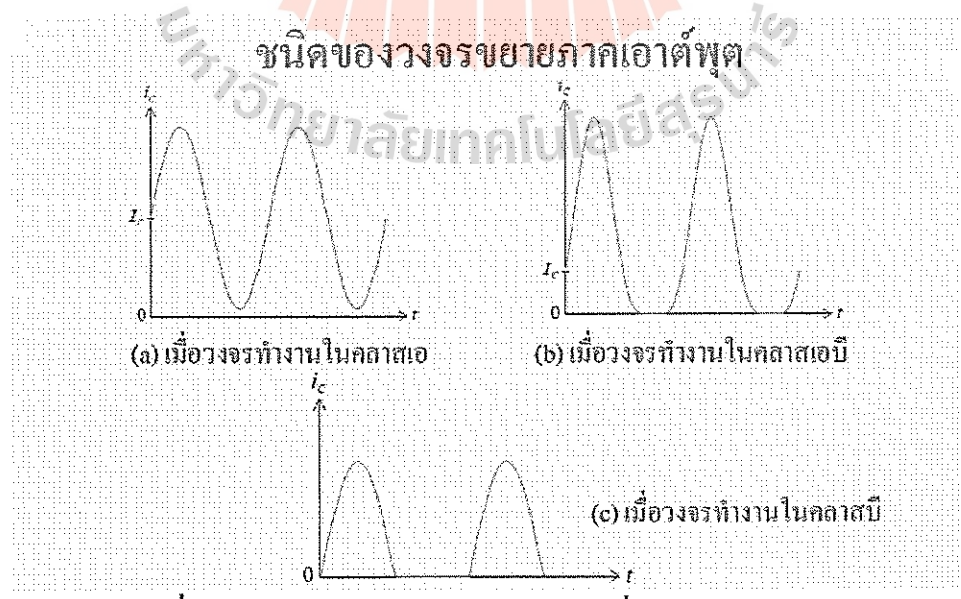
คุณสมบัติที่สำคัญของวงจรขยายภาคเอ้าท์พุทคือเป็นวงจรที่มีความต้านทาน负载ต่ำ เพื่อที่จะส่งผ่านสัญญาณไปยังโหลด โดยมีการสูญเสียน้อยที่สุดเท่าที่จะเป็นไปได้ ดังนั้นจึงเป็นวงจรที่อยู่ตรงกับสุคท้าของวงจรขยายแบบหลายภาคและมักจะทำงานกับสัญญาณขนาดใหญ่(large signal) อย่างสมอนั้นคือเราจะไม่ใช้การประมวลให้เป็นสัญญาณขนาดเล็ก กับวงจรขยายภาคเอ้าท์พุท เมื่อในบทที่ผ่านมาแต่ลิ่งที่สำคัญหากที่ต้องพิจารณาคือความเป็นชิงเส้น ความเพียงของอาร์มอนิก และ ประสิทธิภาพ

### 2.2.1 การแบ่งชนิดของวงจรขยายภาคเอ้าท์พุท (Classification of Output Stage)

เราสามารถแบ่งวงจรขยายภาคเอ้าท์พุทเป็นชนิดต่างๆ ได้โดยพิจารณาจากกระแส คอลลีกเตอร์ของทรานซิสเตอร์ในวงจร ซึ่งถ้ากระแสสัมภาระคอลลีกเตอร์ไหลได้ครบ  $360^\circ$  เป็นคลาสเอ 180° เป็นคลาสนี้ น้อยกว่า 180° เป็นคลาสซึ่ง叫做ด้านข้อกวนกว่า 360° แต่มากกว่า 180° ให้ถือเป็นคลาสบี ในที่นี่เราจะสนใจวงจรขยายภาคเอ้าท์พุทคลาสเอ คลาสนี้และคลาสบีซึ่งนิยมใช้ในวงจรอป แอมป์และในวงจรเครื่องเสียง (audio power amplifier) ท่านนี้ ส่วนวงจรขยายภาคเอ้าท์พุทคลาสซีนี้ จะใช้ย่านความถี่วิทยุ (radio frequency)

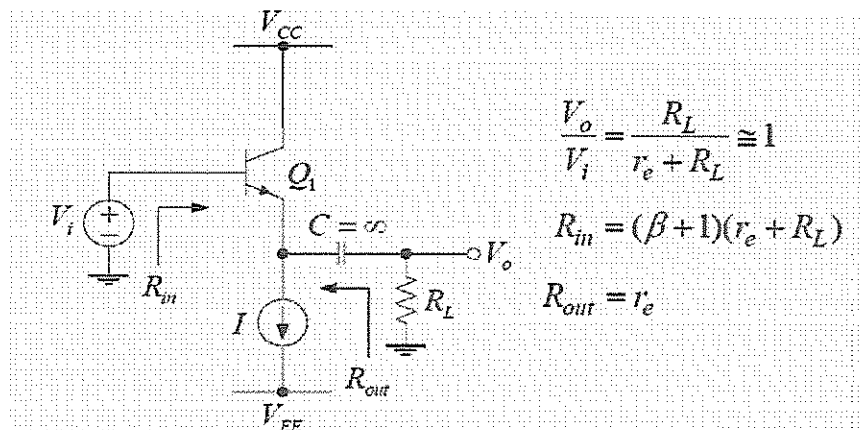
### 2.2.2 วงจรขยายภาคเอ้าท์พุทคลาสเอ (Class A Output Stage)

โดยทั่วไปแล้วจะนิยมใช้วงจรขยายคอมมอนคอลลีกเตอร์เป็นวงจรขยายภาคเอ้าท์พุท คลาสเอซึ่งเป็น เพราะคุณสมบัติที่มีความต้านทาน负载ต่ำที่ค่อนข้างต่ำ ในบทนี้เราจะศึกษาถึงการทำงานของวงจรในด้านณะเป็นวงจรขยายภาคเอ้าท์พุทซึ่งพิจารณาในด้านณะของสัญญาณขนาดใหญ่



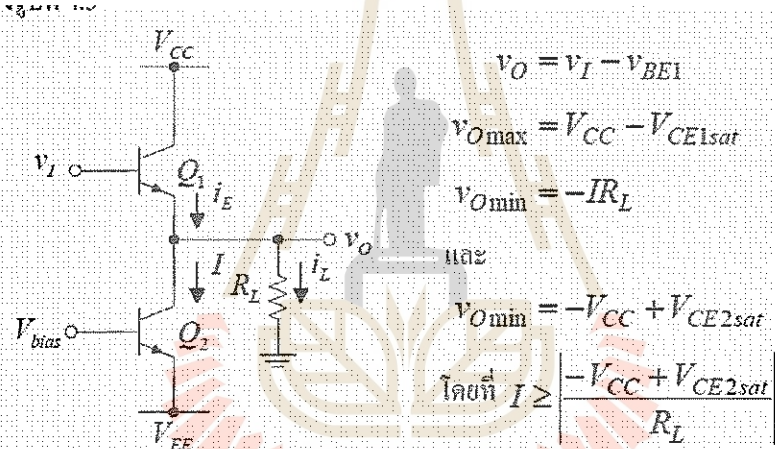
ภาพที่ 2-4 สัญญาณของกระแสคอลลีกเตอร์ซึ่งทำงานในคลาสต่างๆ

### วงจรขยายอัมป์พุทคลาสเอ



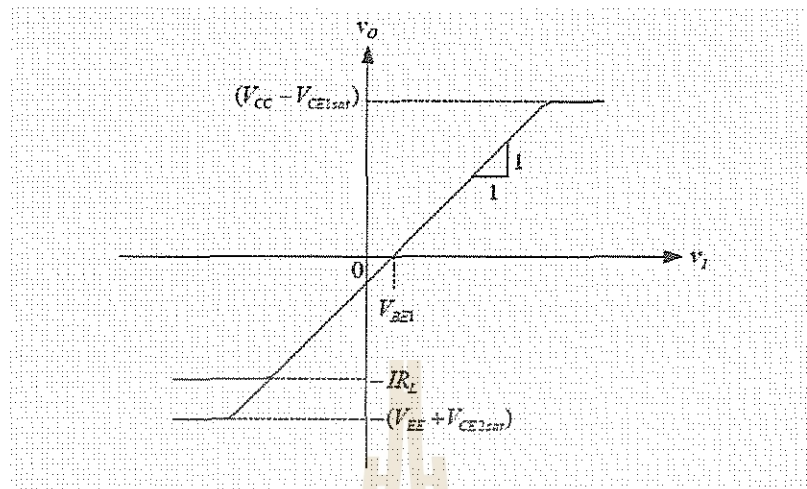
ภาพที่ 2-5 วงจรขยายคอมมอนคอลเลกเตอร์

### วงจรขยายคอมมอนคอลเลกเตอร์สามารถใช้เป็นวงจรขยายภาคอัมป์พุทคลาสเอดังรูป



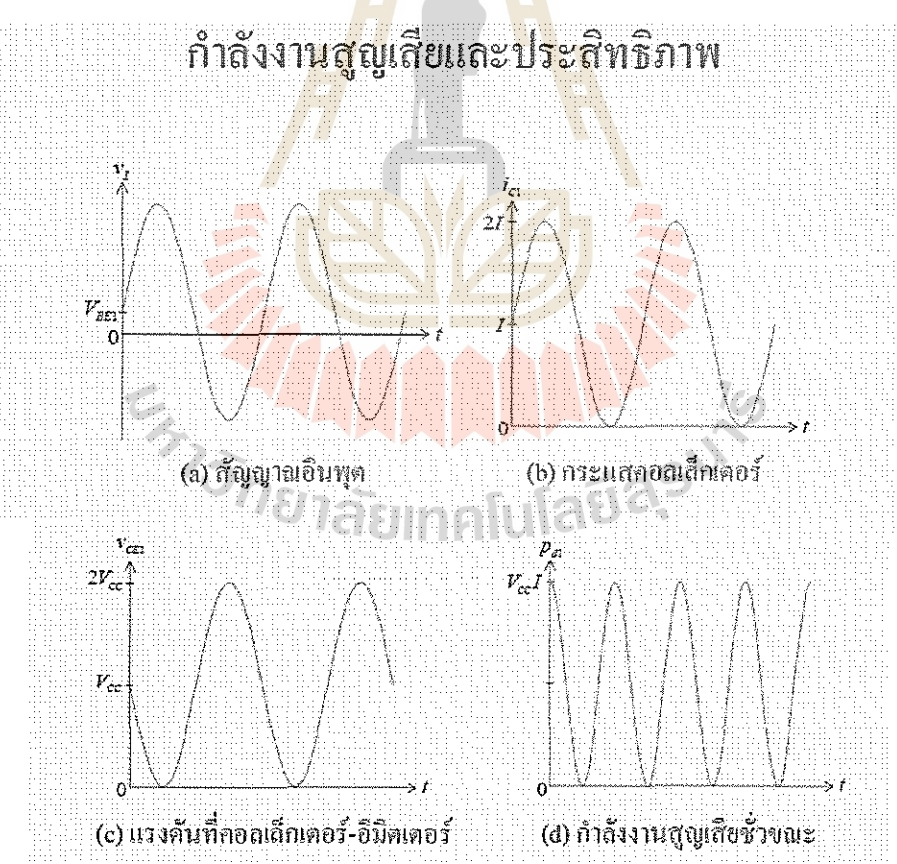
ภาพที่ 2-6 วงจรขยายอัมป์พุทคลาสเอ

จากวงจรคอมมอนคอลเลกเตอร์ซึ่งไปแลสดีด้วยแหล่งจ่ายกระแสคงที่ที่สร้างขึ้นจากทรานซิสเตอร์  $Q_2$  ให้มีกระแสไฟล์เท่ากับ  $I$  ทรานซิสเตอร์  $Q_1$  ทำหน้าที่เป็นวงจรตามแรงดันพิจารณาจากวงจร  $i_{E1} = I + i_L$  ดังนั้นเพื่อให้  $Q_1$  ทำงานในช่วงแรกที่ฟอยล์ดอตเวลา กระแสไฟล์  $I$  ต้องมีค่ามากกว่าขนาดของกระแสด้านลบ(negative load current)



ภาพที่ 2-7 คุณลักษณะการส่งผ่านระหว่างอินพุตและเอาท์พุต

### กำลังงานสูญเสียและประสิทธิภาพ



ภาพที่ 2-8 ศั不住ยาสูงสุดที่จุดต่างๆ ของวงจรขยายภาคเอาท์พุตคลาสเอ

รูปลักษณ์ของกำลังงานสูญเสียชั่วขณะ(Instantaneous power dissipation) ได้จากผลคูณของกระแสคลอดีกเกตออร์กับแรงดันคร่องคูลคลอดีกเกตออร์-อิมิตเตอร์ของ  $Q_1$  ซึ่งหาได้จาก

กำลังงานสูญเสียชั่วขณะ(instantaneous power dissipation :  $P_D$ )

$$P_{D1} = V_{CE1} i_{C1}$$

ประสิทธิภาพของวงจรขยายภาคอาต์ทุกกำหนดโดย

$$\eta = \frac{P_L}{P_S}$$

เมื่อ  $P_L$  กือกำลังงานเฉลี่ยที่โหลด(average load power)

$$P_L = \frac{1}{2} \frac{V_o^2}{R_L}$$

และ  $P_S$  กือกำลังงานเฉลี่ยที่แหล่งจ่าย

$$P_S = 2V_{CC}I$$

ดังนั้นเราสามารถคำนวณประสิทธิภาพได้

$$\begin{aligned}\eta &= \frac{1}{4} \left( \frac{V_o^2}{IR_L V_{CC}} \right) \\ &= \frac{1}{4} \left( \frac{V_o}{IR_L} \right) \left( \frac{V_o}{V_{CC}} \right)\end{aligned}$$

เมื่อ  $V_o \leq V_{CC}$  และ  $V_o \leq IR_L$  ดังนั้นจะได้ประสิทธิภาพสูงสุดเมื่อ

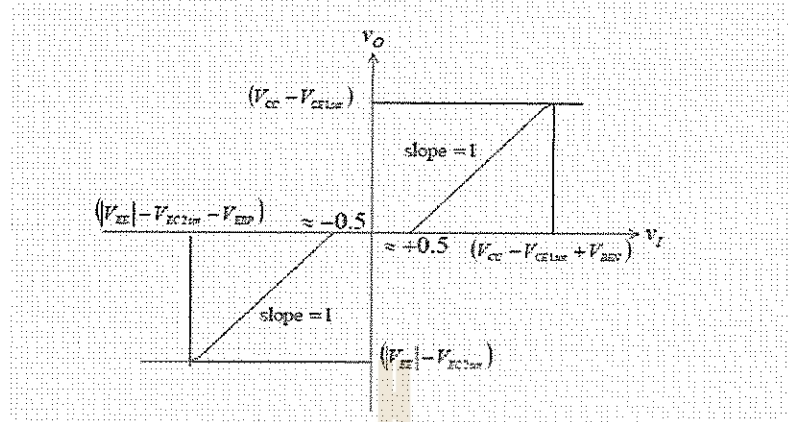
$$V_o = V_{CC} = IR_L$$

ประสิทธิภาพสูงสุดของวงจรขยายภาคอาต์ทุกคลาสเป็น 25% ในการใช้งานจริง จะอยู่ที่ประมาณ 10%-20% ดังนั้นจึงไม่นิยมใช้ในงานกำลังสูงกิน 1W

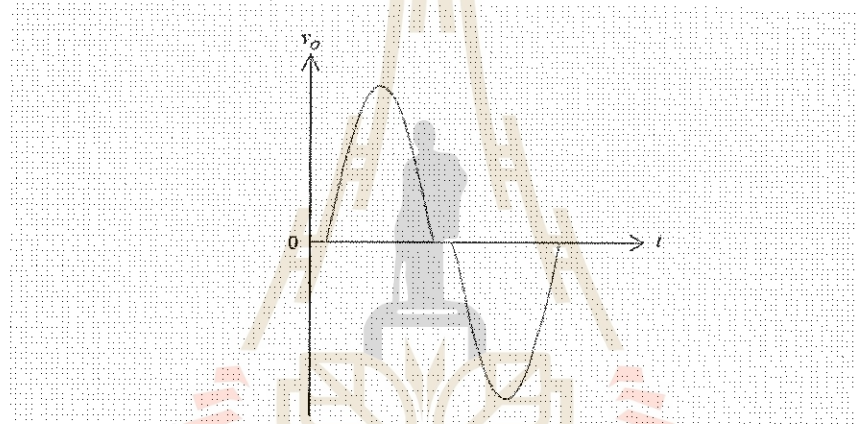
### 2.2.3 วงจรขยายภาคเอ้าท์พุตคลาสนี้ (Class B Output Stage)

วงจรขยายภาคบีดูรูปประกอบด้วยทรานซิสเตอร์คู่หนึ่งมีชื่อ  $Q_N$  และ  $Q_P$  จากโครงสร้างของวงจรเมื่อแรงดันอินพุตเป็นศูนย์จะไม่มีกระแสคลอดีกเกตออร์ไหลในวงจรนั้นคือทรานซิสเตอร์ทั้งคู่ทำงานในช่วงคตอ่อนฟ์และจะได้แรงดันเอ้าท์พุต  $V_O$  เป็นศูนย์เมื่อแรงดันอินพุตเพิ่มขึ้นประมาณ 0.5 V ทรานซิสเตอร์  $Q_N$  เริ่มน้ำกระแสได้และทำงานในลักษณะของคอมมอนคลอดีกเกตออร์โดยที่  $V_O = V_I - V_{BEN}$  ในขณะเดียวกัน  $Q_P$  จะไม่สามารถนำกระแสเพรำภูกไปแอกลับที่เบส-อิมิตเตอร์ในทางกลับกัน เมื่อมีแรงดันอินพุตต้านลบที่ต่ำกว่า -0.5 V เช่นมาที่จุดอินพุตจะทำให้  $Q_P$  นำกระแส

ได้และ  $Q_P$  จะทำหน้าที่จ่ายกระแสด้านลบให้กับโหลดซึ่งการทำงานจะเป็นลักษณะคอมมอน คอลเด็กเตอร์เร่นเดียวกัน จากการที่ทราบชีสเตอร์ทึ่งคู่สลับกันจ่ายกระแสให้กับโหลด ดังนั้น สามารถกล่าวได้ว่า ว่างจรทำงานในลักษณะดึง-ดัน(push-pull)



ภาพที่ 2-9 คุณสมบัติการส่งผ่านของวงจรขยายคลาสบี



ภาพที่ 2-10 สัญญาณอัมฟุที่เกิดความผิดเพี้ยนตรงรอยต่อ

### กำลังงานสูญเสียและประสิทธิภาพ

ไฟคิดบริเวณที่เกิดความผิดเพี้ยนรอยต่อ กำลังงานเสียที่ใน负载  $P_L$  ซึ่งทางได้จาก

$$P_L = V_o^2 / 2R_L$$

และกระแสโหลดซึ่งบวกสูงสุดและกระแสเฉลี่ยนีค่าเท่ากัน

$$i_L = V_o / R_L$$

$$i_{L\text{avg}} = V_o / \pi R_L$$

ดังนั้น กำลังงานที่ห้องค่าเท่ากับงานให้กับวงจร

$$P_{S+} = P_{S-} = \frac{1}{\pi} \frac{V_o}{R_L} V_{CC}$$

$$P_S = \frac{2}{\pi} \frac{V_o}{R_L} V_{CC}$$

หาค่าประสิทธิภาพได้เป็น

$$\eta = \frac{P_L}{P_S} = \frac{\pi}{4} \left( \frac{V_o}{V_{CC}} \right)$$

เมื่อ ไวย์คิดผลที่เกิดจากแรงดันอัมตัวของกรานซิตเทอร์ชั่งหมายถึง  $V_o$  สามารรถ  
เพิ่มขึ้นไปได้ถึงประมาณเท่ากับ  $V_{CC}$  เวลาจะได้ประสิทธิภาพสูงสุดเป็น

$$\eta_{max} = \frac{\pi}{4} = 78.5\%$$

แต่ในความเป็นจริงแล้วเราจำเป็นต้องเพื่อแรงดันอัมตัวของกรานซิตเทอร์ที่อ่อน  
แรงดันที่ก่อตัวเด็กเตอร์-ชิมิคเตอร์อยู่น้อยอย่าง  $0.3V$  และบางครั้งอาจจะพบว่านี้การ  
เดือริ่ว  $1V-5V$  หรือมากกว่าซึ่งจะทำให้ประสิทธิภาพนี้ค่าต่ำลง

ในวงจรขยายภาคอ่อนต่อกลุ่มลามาตตอนนี้ก้าวเด้งงานสูญเสียสูงสุดเกิดขึ้นเมื่อแรงดัน  
เอาต่ำๆเป็นคูณบวกในวงจรค่าสามัญเมื่อแรงดันต่ำๆก้าวเด้งงานเป็นคูณบวก  
ตั้งนี้ก้าวเด้งงานสูญเสียที่จุดก้าวเด้งนี้เป็นคูณบวกค้างชั่งหมายถึงก้าวเด้งงานสูญเสีย  
จะเกิดขึ้นเมื่อขาเข้าแรงดันอินพุตให้กับวงจร โดยที่ก้าวเด้งงานสูญเสียจะลดลง

$$\begin{aligned} P_D &= P_S - P_L \\ &= \frac{2}{\pi} \frac{V_o}{R_L} V_{CC} - \frac{1}{2} \frac{V_o^2}{R_L} \end{aligned}$$

ก้าวเด้งงานสูญเสียจะอยู่ในรูปของความร้อนที่หัวกรานซิตเทอร์ทั้งสองชั้นจะมีค่า  
สูงสุดเมื่อประสิทธิภาพเป็น  $50\%$

### 2.3 ไมโครสตริปและวงจรไมโครสตริป

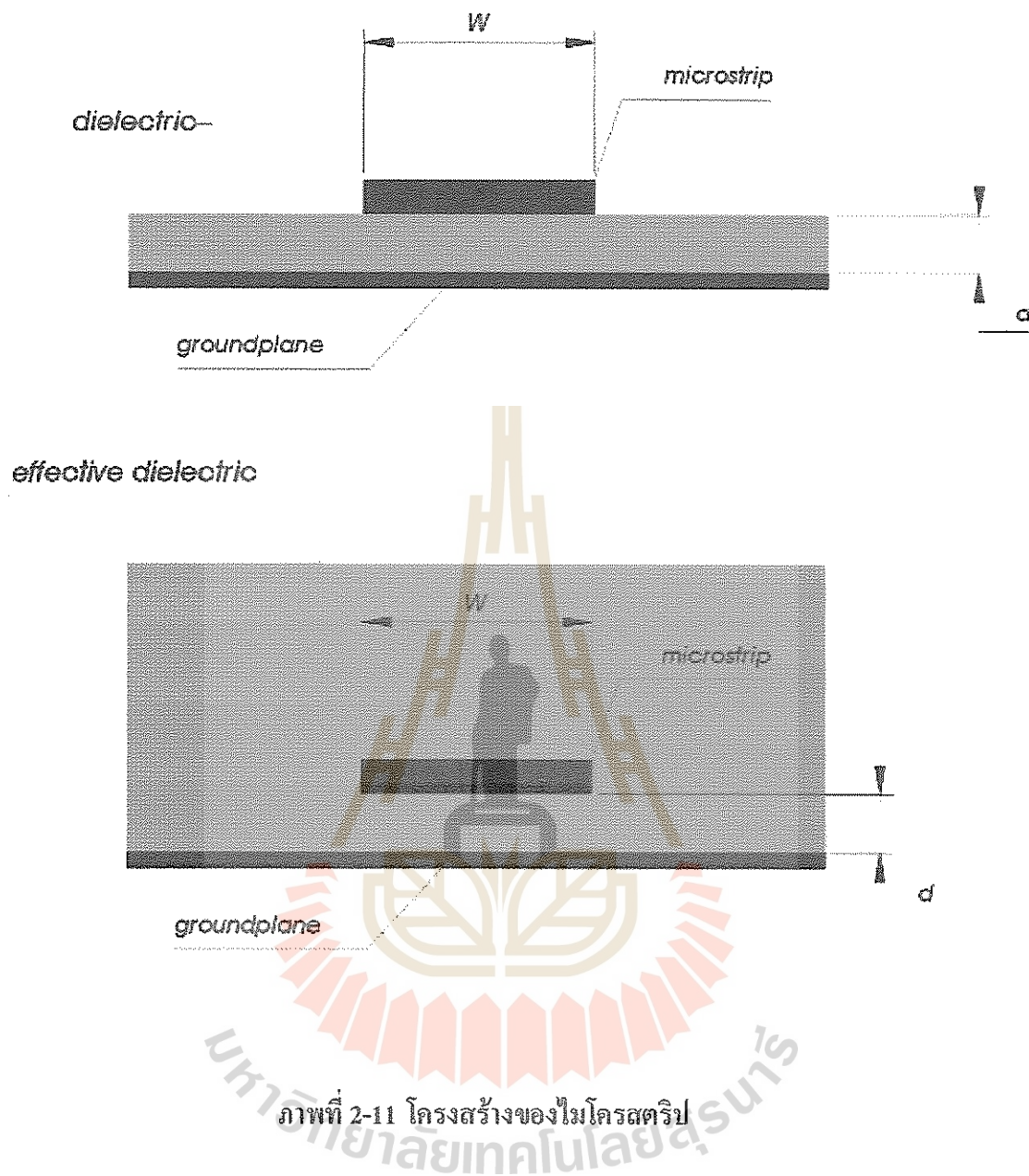
ไมโครสตริปเป็นสายนำสัญญาณที่สร้างบนแผ่นวงจรพิมพ์และใช้ในการเชื่อมโยงชิ้นส่วนวงจรต่างๆของวงจรไมโครเวฟ เนื่องจากไมโครสตริปมีขนาดเล็กจึงเหมาะสมสำหรับทำงานรวมของไมโครเวฟ(Microwave Integrated Circuit ,MIC) แต่มีข้อจำกัดที่สามารถรับกำลังไฟได้ต่ำเมื่อเทียบกับท่อน้ำคั่น นอกจากนี้ยังมีค่าการลดthonสัญญาณค่อนข้างสูงดังนั้นจึงใช้ในการส่งผ่านและการจัดการกับสัญญาณที่มีระดับต่ำและบริเวณจำกัด เช่น ภายในแผ่นวงจรพิมพ์อันเดียวกัน

#### 2.3.1 โครงสร้างและคุณสมบัติของไมโครสตริป

##### 2.3.1.1 โครงสร้างของไมโครสตริป

ไมโครสตริปที่ใช้งานอยู่โดยทั่วไปนั้นจะมีโครงสร้างดังแสดงไว้ในรูปที่ 2b. กล่าวคือจะมีรูปร่างเป็นสตริปหรือแถบโลหะเคนฯอยู่บนชั้นสเตรต ( substrate ) ซึ่งเป็นสารไนโตรเจนที่อิเล็กทริกและด้านล่างของชั้นสเตรตเป็นพิวโลหะ พลังงานของคลื่นแม่เหล็กไฟฟ้าจะส่งผ่านอยู่ในชั้นสเตรต บริเวณที่อยู่ระหว่างแถบโลหะเคนฯ กับพิวโลหะด้านล่าง ความหนาของชั้นสเตรตนี้จะประมาณ 2 mm. หรือต่ำกว่าลงมา ความกว้างของสตริปนี้จะขึ้นอยู่กับค่าอินเพคเนชันซึ่งถูกกำหนดให้ต้องการสำหรับความหนาของตัวสตริปเองนั้นจะมีค่าประมาณ 5μm. หรือ 10μm. ขึ้นอยู่กับการใช้เทคโนโลยีแบบพิมพ์บาง หรือแบบพิมพ์หนาในการสร้างสตริปนั้น สำหรับชั้นสเตรตนี้ที่ใช้งานกันอยู่ทั่วไปจะมีอยู่หลายชนิดด้วยกัน ดังตารางที่ 1 และคงตัวของชั้นสเตรตชนิดต่างๆ และคุณสมบัติที่สำคัญของชั้นสเตรตซึ่งได้แก่ ค่าคงตัวไนโตรเจนที่สัมพันธ์ ค่า tanδ ที่ความถี่ 10 GHz

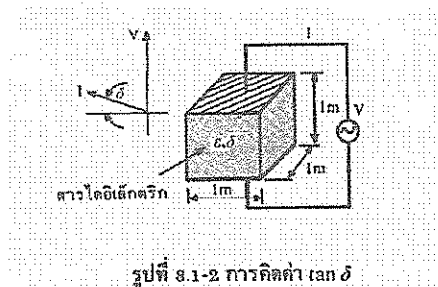
### Standard Microstrip geometry



ตารางที่ 1 คุณสมบัติของชั้นสแตเทตแบบต่างๆ

วัสดุ	ค่าคงตัวไดอิเล็กทริก	$\tan \delta$ ที่ความถี่ 10 GHz	ค่าคงตัวของ การนำความร้อน	ความชุ纪律	ความสามารถในการหดตัว
อะลูมินา (alumina)					
99.5%	10	$1 \sim 2 \times 10^{-4}$	0.3	2-8	$4 \times 10^3$
96%	9	$6 \times 10^{-4}$	0.28	20	$4 \times 10^3$
แซฟไฟร์	9.4 และ	$1 \times 10^{-4}$	0.4	1	$4 \times 10^3$
(sapphire)	11.6 (ผลึกเดี่ยว)				
แก้ว	5	$20 \times 10^{-4}$	0.01	1	--
ควอตซ์	3.8	$1 \times 10^{-4}$	0.01	1	$10 \times 10^3$
GaAs	13	$6 \times 10^{-4}$	0.3	1	350

ค่าคงตัวของการนำความร้อน (thermal conductivity) ความชุ纪律ของพิว และความสามารถในการหดตัวแรงดันไฟฟ้า(dielectric strength) ความหมายของคุณสมบัติที่กล่าวมานี้จะเป็นดังนี้คือ ค่าคงตัวของ ไดอิเล็กทริกสัมพัทธ์จะบ่งบอกคุณสมบัติของการเป็นสาร ไดอิเล็กทริกโดยที่ยึดกับอว矍่วง ค่านี้จะส่งผลทำให้อิมพิแดนซ์ลักษณะสมบัติของในโครงสร้างเปลี่ยนแปลง ค่า  $\tan \delta$  นั้นคือค่าที่แสดงอัตราส่วนระหว่างกระแสการนำกับกระแสสอดคล้องกัน เมื่อนำสาร ไดอิเล็กทริกนั้นไปคั่นระหว่างแผ่นโลหะคู่หนึ่งซึ่งทำหน้าที่เป็นภาชนะหรือ ดังแสดงในรูปที่ 2C เมื่อเขียน  $\epsilon = \epsilon' - j \sigma / \omega$  ค่า  $\tan \delta$  ก็จะเท่ากับ  $\sigma / \omega \epsilon'$  ซึ่งค่านี้จะแสดงให้รู้ว่าสาร ไดอิเล็กทริกนั้นมีการสูญเสียเนื่องจากการนำกระแสมากน้อยเพียงใด โดยที่ยิ่งต่ำก็ยิ่งดี ค่าคงตัวของ การนำความร้อนนี้จะแสดงให้รู้ว่าสาร ไดอิเล็กทริกนั้นมีความสามารถในการระบายความร้อน ได้ดีมากน้อยเพียงใด ค่านี้ยิ่งสูงยิ่งดี ความชุ纪律ของพิวนั้นขึ้นกับว่ามีความสำคัญมากเช่นเดียวกัน เพราะตัวพิวชุ纪律เกินไปก็จะทำให้การใช้เทคโนโลยีแบบพิล์มน้ำงทำได้ลำบาก nondimensional นักจากนั้นก็จะ มีผลกระทบต่อการส่งผ่านของคลื่นไปตามในโครงสร้างด้วย เพราะฉะนั้นความชุ纪律น้อยจะดีกว่า สำหรับความสามารถในการหดตัวแรงดันไฟฟ้านั้นจะบ่งถึงความสามารถในการรับกำลังคลื่นด้วย ดังนั้นค่าสูงจะดีกว่าค่าต่ำ

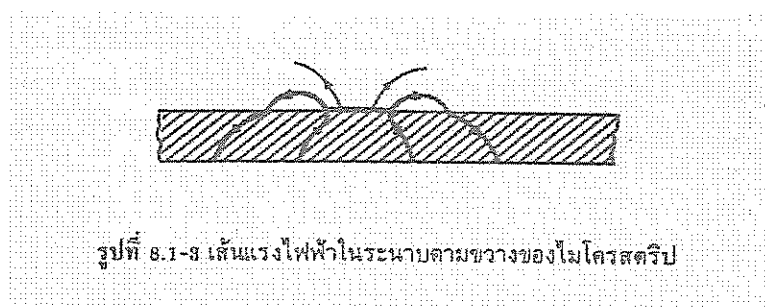
รูปที่ 2.1-2 การคิดค่า  $\tan \delta$ 

### ภาพที่ 2-12 การคิดค่า $\tan \delta$

เมื่อพิจารณาคุณสมบัติของชั้นสแตเตอร์แบบต่างๆ ตามตาราง ที่ 1 จะเห็นได้ว่า ชั้นสแตเตอร์แบบอลูมินาเรคุณสมบัติได้ดีในหลายๆ ข้อถึงแม้จะมีความชรุหรือไม่ต้านทานนัก ดังนั้นอลูมินาจึงเป็นชั้นสแตเตอร์ที่นิยมใช้กันมาก สำหรับ GaAs นั้นจะใช้ในการผลิตที่ทำวงจรรวมของไมโครเวฟ เนื่องจาก GaAs เป็นชั้นสแตเตอร์ที่ใช้ทำชิ้นส่วนแอดคทีฟสารกึ่งตัวนำแบบต่างๆ ในยานไมโครเวฟได้

#### 2.3.1.2 การส่งผ่านของคลื่นในไมโครสตริป

ในไมโครสตริปถึงแม้จะมีโครงสร้างง่ายๆ แต่การวิเคราะห์คุณสมบัติของในไมโครสตริปโดยละเอียดทางทฤษฎีนั้นเป็นสิ่งที่ยุ่งยากมาก ทั้งนี้เป็นเพราะระบบแกนประสานที่ใช้ และเงื่อนไขขอบเขตของระบบค่อนข้างซุ่มยากเมื่อเทียบกับห้องทดลองคืนหรือสถานที่สัญญาณนิค่อนๆ อย่างไรก็ตาม ได้มีผู้ทำการศึกษาทางทฤษฎีและพบว่าคลื่นที่ส่งผ่านไปตามในไมโครสตริปนั้น จะใกล้เคียงกับโใหมด TEM หากแต่จะมีโใหมด TEM เดียวกัน เพราะมีสนามในแนวแกนอยู่ด้วยเช่นกัน เรียกโใหมดังกล่าวว่าโใหมดกึ่ง TEM (quasi- TEM mode) รูปที่ 2d แสดงเส้นแรงไฟฟ้าในระนาบตามขวางของในไมโครสตริป การที่มีสนามในแนวแกนอยู่บ้างนั้นเป็นเพราะโครงสร้างที่มีสารไคลอเล็กตริก และอาจอาศัยในระบบเดี่ยวกัน และในสภาพที่มีสนามในแนวแกนเกิดอยู่นี้โใหมดที่ส่งผ่านอยู่นั้นก็จะเป็นไอบริดโใหมด



รูปที่ 8.1-9 เส้นทางไฟฟ้าในระบบตามขวางของไมโครสเตริป

ภาพที่ 2-13 เส้นทางไฟฟ้าที่ระนาบตามขวางของไมโครสเตริป

การที่ค่าลีนส์ส่งผ่านในโหมดกึ่ง TEM ซึ่งพ่อนุโอมให้เป็นโหมด TEM นี้ทำให้สามารถใช้หลักการวงจรร่วมในการวิเคราะห์หาคุณสมบัติของไมโครสเตริปได้ กล่าวคือ ถ้าหากสามารถหาค่าอินดักแทนซ์และค่าปาราซิเต้นซ์ต่อหนึ่งหน่วยความยาวได้ ก็จะนำค่าทั้งสองนี้ไปคำนวณค่าอิมพีเดนซ์ลักษณะสมบัติได้ อย่างไรก็ตามการหาค่าปาราซิเต้นซ์ต่อหนึ่งหน่วยความยาวของไมโครสเตริปจะยุ่งยากกว่าของสายคู่บนหรือสายโพรโอกเรียล เพราะไมโครสเตริปมีพื้นที่จำกัดอิเล็กทริกและอากาศอยู่ในบริเวณที่พลังงานของคลีนส์ส่งผ่าน สำหรับการหาค่าอินดักแทนซ์ต่อหนึ่งหน่วยความยาวนั้นจะไม่ถูกกระทบจากการมีสาร dioxide ไอเด็กทริก

ถึงแม้ว่าการหาค่าปาราซิเต้นซ์จะยุ่งยากกว่าปกติ แต่มีวิธีที่ทำให้ง่ายขึ้นโดยใช้วิธีหาค่าคงตัวของไอดีเก็ตทริกสัมพัทธ์ประสีติก(Effective Dielectric Constant,  $\epsilon_{eff}$ ) ค่า  $\epsilon_{eff}$  ที่ได้จะมีค่าเปลี่ยนแปลงตามความถี่ สำหรับในช่วงความถี่ที่สูงกว่า 2 GHz ต้องคำนึงถึงค่าดิสเพอร์ชันโดยทำการปรับแต่งค่า  $\epsilon_{eff}$  ให้เหมาะสมกับความถี่ที่ใช้งาน

เมื่อค่าลีนส์ส่งผ่านไปในไมโครสเตริปเป็นโหมด TEM อิมพีเดนซ์ลักษณะสมบัติ  $Z_c$  จะเทียบอยู่ในรูปของค่าอินดักแทนซ์ต่อหนึ่งหน่วยความยาว  $L$  และค่าปาราซิเต้นซ์ต่อหน่วยความยาว  $C$

$$Z_c = \sqrt{L/C} \quad (1)$$

ในขณะเดียวกันความเร็วไฟ  $V_p$  จะเป็น ไคล์ตันน์

$$V_p = 1/\sqrt{LC} \quad (2)$$

จากสมการที่ (2) ทำให้เขียน  $Z_c$  ในรูปของ  $V_p$  กับ  $L$  หรือ  $C$  ได้ดังนี้

$$Z_c = V_p L = 1/V_p L \quad (3)$$

ในขั้นต่อไปเราจะพิจารณากรณีที่ชั้นสเตรตที่เป็นสารไดอิเล็กตริกถูกดึงออกไป เหลือแต่อากาศเพียงอย่างเดียวที่โอบล้อมไว้ในโครงสร้างปอญ ในสภาพเช่นนี้ค่าความเร็วไฟฟ้าของคลื่น TEM ที่ส่งผ่านจะเท่ากับความเร็วแสง และค่าค่าปานิชณ์ต่อหนึ่งหน่วยความยาวจะเปลี่ยนไป โดยที่ค่าอินดักแทนซ์ไม่ถูกกระทบ ถ้าให้ค่าค่าปานิชณ์ที่เปลี่ยนไปนี้มีค่าเป็น  $C_o$  จะได้ความสำพันธ์ระหว่าง  $C_o$  กับความเร็วไฟฟ้าในรูปดังนี้

$$c = 1/\sqrt{LC_o} \quad (4)$$

ในขณะเดียวกันค่าอินพีเดนซ์ลักษณะสมบัติจะเขียนได้ดังนี้

$$Z_o = \sqrt{L/C_o} \quad (5)$$

เมื่อนำสมการ (4) หารด้วยสมการ (2) จะได้ผลดังนี้

$$C/C_o = (c/v_p)^2 \quad (6)$$

ค่า  $C/C_o$  คือค่าคงตัวไดอิเล็กตริกสัมพัทธ์ของสารไดอิเล็กตริกที่โอบล้อมระบบเก็บประชุ ในกรณีที่เราพิจารณาอยู่นี้ค่านี้ก็จะเปรียบเหมือนค่าคงตัวไดอิเล็กตริกสัมพัทธ์ประสีติชิพของในโครงสร้างปอญที่มีชั้นสเตรตเป็นสารไดอิเล็กตริกและด้านบนเป็นอากาศอยู่นั้นคือ

$$\epsilon_{eff} = (c/v_p)^2 \quad (7)$$

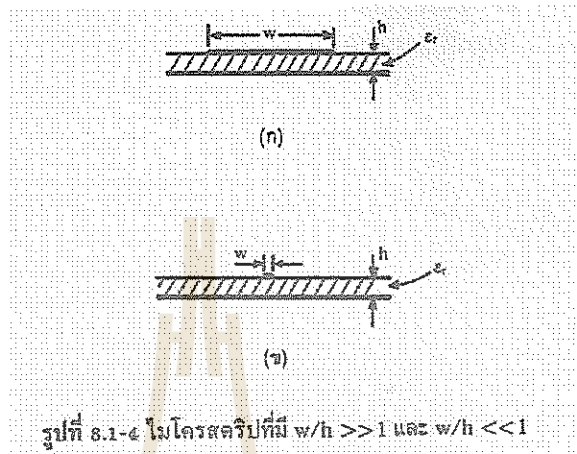
จากสมการที่ (3) ถึงสมการ (7) จะสามารถเขียนความสัมพันธ์ระหว่าง  $Z_c$ ,  $Z_o$  และ  $\epsilon_{eff}$  ได้ดังนี้

$$Z_c = Z_o / \sqrt{\epsilon_{eff}} \text{ หรือ } Z_o = Z_c \sqrt{\epsilon_{eff}} \text{ หรือ } \epsilon_{eff} = (Z_o/Z_c)^2 \quad (8)$$

ความสัมพันธ์ตามสมการ (8) จะใช้ประโยชน์ในการออกแบบภายหลัง

ค่า  $\epsilon_{eff}$  จะเปลี่ยนแปลงไปตามความกว้างของในโครงสร้างปอญที่เปรียบเทียบกับความหนาของชั้นสเตรต เมื่อพิจารณากรณีที่  $w/h >> 1$  แสดงไว้ในรูป 2e-1 ในกรณีนี้เนื้องจากเส้นแรงไฟฟ้าส่วนใหญ่จะอยู่ในบริเวณที่มี電場สตรีปป์ฟิลด์ต่ำกว่าอิคนัยหนึ่งผลลัพธ์จะมีไฟฟ้าจะถูกส่งผ่านอยู่ในบริเวณดังกล่าวเกือบทั้งหมด สภาพดังกล่าวจะส่งผลให้ค่าคงตัวไดอิเล็กตริกสัมพัทธ์ประสีติชิพมีค่าเข้าใกล้ค่า  $\epsilon_r$  ของชั้นสเตรต หรือ  $\epsilon_{eff} \rightarrow \epsilon_r$  อีกกรณีคือ กรณีที่  $w/h << 1$  ซึ่ง

แสดงในรูปที่ 2e-2 ในกรณีเส้นแรงไฟฟ้าจะผ่านสत器ครึ่งหนึ่งและผ่านอากาศครึ่งหนึ่ง ซึ่งจะทำให้ค่าคงตัวไดอิเล็กทริกสัมพัทธ์ประสมมีค่าเข้าใกล้  $(\epsilon_r + 1)/2$  จะเห็นว่า ค่า  $\epsilon_{eff}$  จะเปลี่ยนแปลงตามค่า  $w/h$  และจะมีขอบบนและขอบล่างตามค่าที่ได้จากกรณี



ภาพที่ 2-14 ໄນໂຄຮສຕຣີປົກມື  $w/d >> 1$  ແລະ  $w/d << 1$

$$\epsilon_e = \frac{\epsilon_r + 1}{2} + \frac{\epsilon_r - 1}{2} \left( \frac{1}{\sqrt{1 + 12d/W}} \right).$$

$$Z_0 = \begin{cases} \frac{60}{\sqrt{\epsilon_e}} \ln \left( \frac{8d}{W} + \frac{W}{4d} \right) & \text{for } W/d \leq 1 \\ \frac{120\pi}{\sqrt{\epsilon_e} [W/d + 1.393 + 0.667 \ln(W/d + 1.444)]} & \text{for } W/d \geq 1 \end{cases}$$

$$(1/2)(\epsilon_r + 1) \leq \epsilon_{eff} \leq \epsilon_r \quad (9)$$

เพื่อความสะดวกในการคำนวณ

$$\epsilon_{\text{eff}} = 1 + q(\epsilon_r - 1), \quad (1/2) \leq q \leq 1 \quad (10)$$

$q$  คือ filling factor แสดงให้รู้ว่าชั้บสเตรตที่เป็นสาร ไดอิเล็กทริกจะมีผลต่อ โครงสร้างไมโครสเตรตปั้นมากน้อยแค่ไหน เมื่อเขียนค่า  $\epsilon_{\text{eff}}$  ตามสมการ (10) นี้ ค่า  $q$  ก็จะเป็น ค่าที่เปลี่ยนแปลงตามค่า  $W/h$

ในกรณีที่ความถี่ใช้งานสูงขึ้นกว่า 2 GHz นั้น ค่า  $\epsilon_{\text{eff}}$  จะลดลง มาก การคำนึงถึงผลกระบวนการของคิสเพอร์ชันในส่วนนี้จะทำได้โดยพิจารณาว่า มีความถี่เปลี่ยนไป ความเร็วเฟสก็จะเปลี่ยนไปด้วย ซึ่งทำให้ค่า  $\epsilon_{\text{eff}}$  ตามสมการ (7) เปลี่ยนได้ดังนี้

$$\epsilon_{\text{eff}}(f) = \{ c/v_p(f) \}^2 \quad (11)$$

พิจารณาค่า  $\epsilon_{\text{eff}}(f)$  ตามสมการที่ (11) ในช่วงความถี่ต่าที่  $f \rightarrow 0$  นั้น ค่า  $\epsilon_{\text{eff}}(f)$  จะเข้าหาค่า  $\epsilon_{\text{eff}}$  ของกรณีไฟฟ้าสถิตย์ และเมื่อ  $f$  มีค่าสูงขึ้นเข้าหา  $\infty$  ค่า  $\epsilon_{\text{eff}}(f)$  ก็จะกลับเข้าหา ค่า  $\epsilon_r$  ของชั้บสเตรต เพราะความเร็วเฟสจะกลับเข้าหากาความเร็วของแสงในสาร ไดอิเล็กทริกที่เป็นชั้บสเตรต ดังนั้น คดที่ที่ไปการเปลี่ยนแปลงของค่า  $\epsilon_{\text{eff}}(f)$  ตามความถี่จะเป็นดังที่แสดงไว้ในรูปที่ 2e ซึ่งค่า  $\epsilon_{\text{eff}}(f)$  จะสูงขึ้นตามความถี่

### 2.3.1.3 การลดทอนกำลังสัญญาณของไมโครสเตรต

เนื่องจากไมโครสเตรตทำด้วยโลหะที่ไม่สมบูรณ์แบบ และมีสารไดอิเล็กทริกคั่นในบริเวณที่มีคลื่นส่งผ่าน ดังนั้น การลดทอนสัญญาณจึงเกิดจากทั้ง 2 สาเหตุ เมื่อพิจารณาว่า ไมโครสเตรต ส่งผ่านคลื่นในโหมด TEM

ค่าคงที่ในการลดทอน

$$\alpha = (R/2Z_c) + (GZ_c/2) \equiv \alpha_m + \alpha_d \quad (12)$$

โดยที่  $\alpha_m$  และ  $\alpha_d$  เป็นค่าคงที่ของการลดทอนสัญญาณที่เกิดจากโลหะและสาร ไดอิเล็กทริกตามลำดับ

$$\alpha_m = (\sqrt{\omega\mu_0}/2x5.8x10^7\sigma_r)(K/wZ_c) \quad (13)$$

$$\begin{aligned} \alpha_d &= (\sqrt{\epsilon_{\text{eff}}}/2cC)(\omega C t \tan \delta_{\text{eff}}) \\ &= (\pi f \sqrt{\epsilon_{\text{eff}}}/C)(\tan \delta_{\text{eff}}) \quad \text{Nep/m} \end{aligned} \quad (14)$$

$$\frac{\tan \delta_{\text{eff}}}{\tan \delta} = \frac{1 - (1/\epsilon_{\text{eff}})}{1 - (1/\epsilon_r)} \quad (15)$$

$$\propto = \frac{72K\sqrt{f/\sigma_r} + 91f\sqrt{\epsilon_{\text{eff}}} \frac{1 - (1/\epsilon_{\text{eff}})}{1 - (1/\epsilon_r)} \tan \delta}{wZc} \quad \text{dB/m} \quad (16)$$

## 2.4 การออกแบบในโครงสร้างป

### 2.4.1 การออกแบบในโครงสร้างปกรณ์ที่ความถี่รังสีสูงกว่า 2GHz

$$\epsilon_{\text{eff}}(f) = \epsilon_r - \frac{\epsilon_r - \epsilon_{\text{eff}}}{1 + G(f/f_p)^2} \quad (1)$$

$\epsilon_{\text{eff}}$  เป็นค่าคงตัวไดอิเดกตริกสัมพันธ์ประสิทธิผลที่ความถี่ที่ทำมีค่าเท่ากับ  $(Z_o/Z_c)^2$

$$f_p = \frac{Z_c}{2\mu_0 h}$$

หรือ

$$f_p(\text{GHz}) = \frac{Z_c}{0.8\pi h(\text{mm})} \quad (2)$$

$$G = 0.6 + 0.009 Z_c \quad (3)$$

$$Z_c(f) = Z_c \sqrt{\epsilon_{\text{eff}}/\epsilon_{\text{eff}}(f)} \quad (4)$$

$$Z_c = \frac{42.4 \ln \{ 1 + (4h/w')(b + \sqrt{b^2 + a\pi^2}) \}}{\sqrt{\epsilon_r + 1}} \quad (5)$$

โดยที่

$$w' = w + a\Delta w \quad (6a)$$

$$a = (1 + 1/\epsilon_r)/2 \quad (6b)$$

$$\Delta w = 1 [1 + \ln \{ (t/h)^2 + (1/\pi(w/t) + 1.1)^2 \}]^{-1/2} \quad (6c)$$

### ขั้นตอนในการคำนวณ

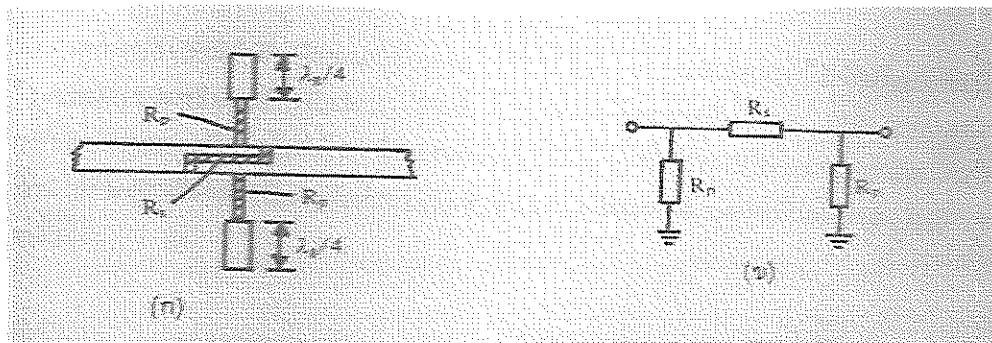
1. ให้  $Z_C$  เท่ากับค่า  $Z_C(f)$  ที่ต้องการออกแบบ
2. จากค่า  $\epsilon_r$  และ  $h$  ของชั้นสเตรตที่กำหนดมาให้พิริ่อมกับค่า  $Z_C$  ทำการคำนวณค่า  $W$
3. คำนวณค่า  $Z_C$  จากความหนาของแผ่นสเตรตที่กำหนดมาให้และค่า  $W$  จากข้อ 2 โดยใช้สมการที่ 5
4. คำนวณค่า  $Z_0$  โดยใช้สมการที่ 5 ที่ให้  $\epsilon_r=1$  เศรีษแล้วคำนวณค่า  $\epsilon_{eff} = (Z_0/Z_C)^2$
5. คำนวณค่า  $\epsilon_{eff}(f)$  โดยใช้สมการที่ 1-3
6. คำนวณหาค่า  $Z_C(f)$  จากสมการ 4 ซึ่งจะได้ค่าแตกต่างจากค่า  $Z_C(f)$  ที่ต้องการบ้าง
7. กำหนดค่า  $Z_C$  ให้เท่ากับ  $Z_C(f)$  ขั้นสุดท้ายที่ต้องการคูณด้วย  $\sqrt{\epsilon_{eff}/\epsilon_{eff}(f)}$
8. วนขั้นตอน 2 ถึงขั้นตอน 7 จนกว่าค่า  $W$  ที่ได้ใน 2 ครั้งหลังจะต่างกันน้อยกว่า 1 % จากค่า  $\epsilon_{eff}(f)$  ที่คำนวณได้ในขั้นสุดท้ายจะคำนวณความยาวคลื่นในไมโครสเตรตปีโลดังนี้

$$\lambda_g = \frac{\lambda_0}{\sqrt{\epsilon_{eff}(f)}} \quad (7)$$

### 2.5 การลดทอนสัญญาณและการต่อแมตชิ่งໂLoadIdentity

การลดทอนสัญญาณและการต่อแมตชิ่งໂLoadIdentityนั้นนับว่าเป็นสิ่งจำเป็น และต้องใช้ในวงจรชิ้งบอร์ด ในหัวข้อย่อๆนี้จะกล่าวถึงโครงสร้างของชิ้นส่วนลดทอนสัญญาณ และชิ้นส่วนแมตชิ่งໂLoadIdentityตามลำดับ

การลดทอนสัญญาณหรือการต่อแมตชิ่งໂLoadIdentityนั้น จะอาศัยหลักการเดียวกันกับกรณีของสายโคแอกเซียลหรือท่อน้ำคลื่น กล่าวคือใช้แผ่นความต้านทานวางแผนกับระบบที่มีกระแสไฟฟ้าในกรณีของไมโครสเตรตปีโนนี้นื้องจากกระแสไฟฟ้าตามแนวแกนของไมโครสเตรต ดังนั้นการลดทอนสัญญาณเดียวกับไมโครสเตรตปีจะทำให้เกิดการคูณคลื่นพลังงานได้ และเพื่อให้มีการแมตชิ่งที่ดี ริกคาร์ดเนนอให้ใช้โครงสร้างตามที่แสดงไว้ในรูป 2f (g) ซึ่งมีอธิบายวงจรสมมูลแก้ไขตามรูป(ๆ) ชิ้นส่วนลดทอนตามโครงสร้างนี้จะเรียกว่าแบบ  $\Pi$  ตามโครงสร้างและรูปร่างของวงจรสมมูลที่เกิดขึ้น ในการที่ที่ไมโครสเตรต  $Z_c = 50 \Omega$  นั้นเมื่อออกรูปแบบให้  $R_p = 290 \Omega$



ภาพที่ 2-15 แสดงโครงสร้างขั้นส่วนลดตอนสัญญาณของไมโครสตրิปแบบ  $\Pi$  และวงจร  
สมมูล

จะทำให้เกิดการลดตอนสัญญาณเพียง  $3 \text{ dB}$  ในกรอบแบบนี้จะต้องระวังในประเด็นต่อไปนี้ ความขาวของแผลความด้านท่านจะต้องสั้นเพียงพอเพื่อให้มีคุณสมบัติของขั้นส่วนลดแบบล้มปี โดยทั่วไปจะต้องสั้นกว่า  $\lambda_g/8$  ของความถี่สูงสุดซึ่งหมายถึงระหว่างเพียง  $1 \text{ mm}$  หรือต่ำกว่า เมื่อความถี่สูงกว่า  $19 \text{ GHz}$  ขึ้นไป ประเด็นต่อไปคือ การต่อลงกราวด์ของ  $R_p$  จะใช้ไมโครสต्रิปปลายเปิดวงจรที่มีความขาวประสีทิพัด เป็น  $\lambda_g/4$  โดยที่  $\lambda_g$  จะเป็นความยาวคลื่นของความถี่สูงยังคงที่ใช้งาน และในไมโครสตրิปส่วนที่ใช้ในการปีกวงจรนี้ให้มี  $Z_c = 30 \Omega$  เมื่อออกรอบตามนี้ แล้วจะพบว่าขั้นส่วนลดตอนสัญญาณนี้จะมีค่าลดตอนสัญญาณ  $3 \text{ dB} \pm 0.2 \text{ dB}$  โดยที่มี VSWR  $< 1.1$  ตลอดช่วงความถี่  $8 \leq f \leq 20 \text{ GHz}$

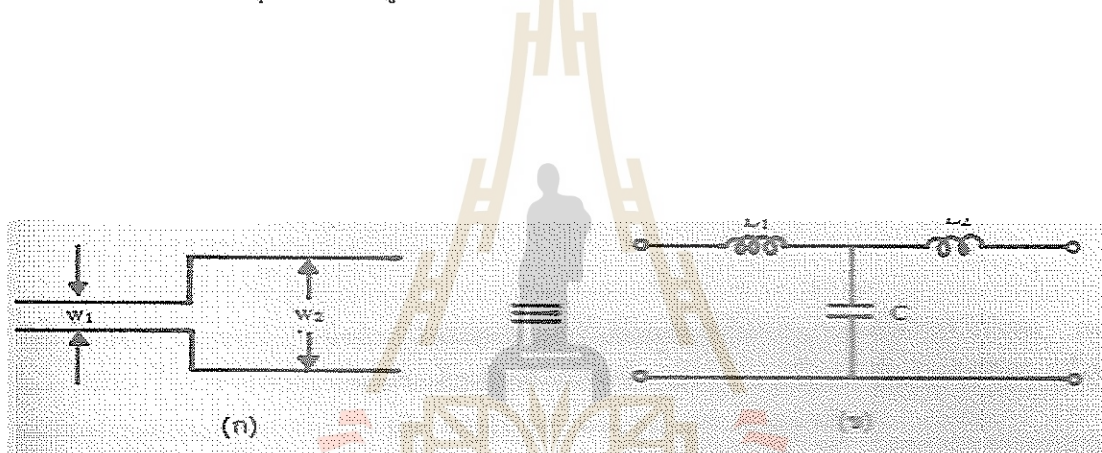
สำหรับการสร้างแมตซิ่งโหลดนั้นพบว่าที่ความถี่ต่ำกว่า  $12 \text{ GHz}$  นั้นการต่อฟิล์มความด้านท่านไปตามแนวของไมโครสตրิปแล้วปีกวงจรปลายสายนั้นก็จะให้ผลเดียวกันเมื่อมี VSWR ต่ำกว่า 1.1 แต่สำหรับความถี่ที่สูงกว่า  $12 \text{ GHz}$  และฟิล์มความด้านท่านมักแสดงค่าอินดักเต้นซึ่ด้วยหมายถึง วงจรสมมูลที่ได้จะเป็นค่ารีซิสแตนซ์ต่อนุกรมกับค่าอินดักเต้นซึ่งอยู่ ซึ่งทำให้การแมตซ์อิมพีಡเอนซ์ทำได้ยากในกรณีความถี่สูงมีผู้เสนอให้ใช้ประโยชน์แบบ  $\Pi$  โดยนำขั้นส่วนมาต่ออนุกรมสองชุดให้ห่างกันประมาณ  $\lambda_g/4$  ที่ความถี่  $15 \text{ GHz}$  แล้วต่อความด้านท่าน  $50 \Omega$  นั้นต่อลงกราวด์อย่างเหมาะสม เมื่อทำเช่นนี้แล้วจะได้แมตซิ่งโหลดที่มีคุณสมบัติที่ดีกว่า VSWR ต่ำกว่า 1.1 จนถึงความถี่  $18 \text{ GHz}$

### 2.5.1 ชิ้นส่วนรีแอคเตนซ์ในวงจรไมโครสตริป

การสร้างชิ้นส่วนรีแอคเตนซ์ในวงจรไมโครสตริปเพื่อใช้ในการแมตช์อินพีดэнซ์อาจใช้ไมโครสตริปที่มีความกว้างเปลี่ยนแบบเป็นขั้น แบบชิ้นส่วนลับปี แบบสดับ และแบบที่อาศัยหลักการคัปปิลิงระหว่างไมโครสตริปที่วางขนานกัน ในที่นี้จะกล่าวถึง 2 แบบแรกเป็นหลัก

(1) ในไมโครสตริปที่มีความกว้างเปลี่ยนแบบเป็นขั้นและค่ารีแอคเตนซ์ที่เกิดขึ้น

โดยทั่วไปในไมโครสตริปที่มีค่าอินพีดэнซ์ลักษณะสมบัติค่าหนึ่ง เมื่อมีความไม่ต่อเนื่องเกิดขึ้นในลักษณะที่มีความกว้างของແคนสตริปเปลี่ยนไปแบบเป็นขั้นดังแสดงในรูปด้าน (a) ตรงมุมจากที่เกิดขึ้นนั้นจะเกิดการรวมกลุ่มของประจุไฟฟ้า ในขณะเดียวกันก็ทำให้เกิดการไหลของกระแสที่บริเวณขอบของสตริปมากขึ้น ลักษณะดังกล่าวนี้ทำกับทำให้เกิดค่าขันต์ค่าปานิชเตนซ์ และค่าอินดักเตนซ์อนุกรมขึ้นดังรูป(ข)



ภาพที่ 2-16 ไมโครสตริปที่มีความกว้างเปลี่ยนเป็นขั้นและวงจรสมบูรณ์

การหาค่า  $L_1$   $L_2$  และ  $C_s$  ทุกด้าน (Gupta) และกุ่มของการรักและบahl (Garg and Bahl) ได้ศึกษาไว้ได้ผลดังนี้ ถ้าให้  $L_{m1}$  และ  $L_{m2}$  เป็นค่าอินดักเตนซ์ต่อหน่วยหน่วยวัดความยาวของไมโครสตริปที่มีความกว้างเป็น  $W1$  และ  $W2$  ตามลำดับ จะได้ค่า  $L_1$  และ  $L_2$  ในรูปดังนี้

$$L_1 = \frac{L_{m1}}{L_{m1} + L_{m2}} L$$

$$L_2 = \frac{L_{m2}}{L_{m1} + L_{m2}} L$$

โดยที่  $L$  คือ  $L_{m1} + L_{m2}$

$$L = (L_{m1} + L_{m2})l_{es}$$

$$l_{es} = l_e \left(1 - \frac{W1}{W2}\right)$$

โดยที่  $C_s$  นั้นการ์ดและนาฬิกาได้เสนอสูตรคำนวณไว้ดังนี้ คือ

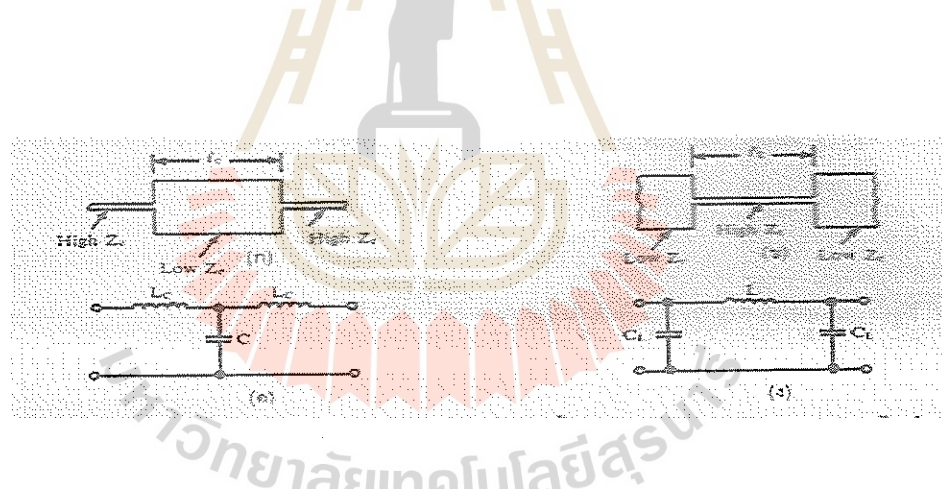
กรณี  $\epsilon r \leq 10$  และ  $1.5 \leq W1/W2 \leq 3.5$

$$\frac{Cs}{\sqrt{W1W2}} = (10.1 \log \epsilon r + 2.33) \frac{W1}{W2} - 12.6 \log \epsilon r - 3.17 \quad \text{pF/m}$$

กรณี  $\epsilon r = 9.6$  และ  $3.5 \leq W1/W2 \leq 10$

$$\frac{Cs}{\sqrt{W1W2}} = (130 \log \frac{W1}{W2}) - 44 \quad \text{pF/m}$$

ในการสร้างชิ้นส่วนค่าปารามิตต์และชิ้นส่วนอินดักเต้นซึ่งโดยอาศัยโครงสร้างแบบที่ไม่ต่อเนื่องที่ก่อรากวนานี้ ก่อนอื่นเราจะพิจารณาคุณสมบัติสำคัญโดยรวมดังนี้คือ ในโครงสร้างปีป์ที่มีแบบสตริปกว้างกว่าແບນสตริปของสายเมนดังที่แสดงไว้ในรูปที่ 2h (ก) จะทำหน้าที่เป็นค่าปารามิตต์เพื่อที่ในการเก็บประจุมากขึ้น ในทางตรงข้ามในโครงสริปที่มีขนาดของແບນสตริปแคบกว่าແບນสตริปของสายเมนดังแสดงไว้ในรูป (ข) พื้นที่ในการเก็บประจุจะน้อยลงทำให้พลังงานเก็บประจุลดลงอยู่ในรูปสถานะแม่เหล็กมากกว่าสถานะไฟฟ้าโครงสร้างนี้จึงทำตัวเหมือนกับค่าอินดักเต้นซึ่งต่ออนุกรนดอยู่กับสายเมน และเนื่องจากที่ปลายไฟฟ้าต่อเนื่องห้องส่องด้านจะมีผลทางด้านอินดักเต้นซึ่งค่าปารามิตต์ตามลำดับ จึงทำให้ห้องส่องมีผลทางด้านที่ส่องแบบนี้เขียนได้ตามรูป (ค) และ (ง) ตามลำดับ



ภาพที่ 2-17 การคั่นไฟโครงสริปด้วยແບນสตริปที่กว้างขึ้นและแคบลง และห้องส่องมุลทางไฟฟ้า

ในการคำนวณความยาว  $L_c$  ที่จะทำให้ชิ้นส่วนค่าปารามิตต์มีค่าซัพค่าปารามิตต์ตามต้องการ นั้นพิจารณาดังนี้ คือ เนื่องจากແບນสตริปที่นำมาคั่นเพื่อทำหน้าที่เป็นชั้นค่าปารามิตต์

แทนซ์ นี้มักมีความยาวระดับหนึ่ง ทำให้ต้องพิจารณาในรูปของวงจรกระแสที่มีภาคในรูปของวงจรสมมูลปัตตัว  $T$  ดังที่แสดงไว้ในรูป

(ค) ที่ผ่านมา ค่าซัลเต็นน์แทนซ์  $B_c$  ของวงจรสมมูล จะเขียนในรูปพารามิเตอร์ของวงจรกระแสดังนี้

$$B_c = \frac{1}{ZcC} \sin \frac{2 \prod lc}{\lambda g C}$$

โดยที่  $Z_c C$  เป็นอิมพีเดนซ์สัมบัด्धของไมโครสตริปในช่วงที่กำลังพิจารณาอยู่ และ  $\lambda g C$  เป็นความยาวคลื่นในช่วงเดียวกันนี้ เมื่อกำหนดค่า  $B_c$  หรือ  $\sigma C$  และ  $Z_c C$  มาให้ก็จะสามารถคำนวณความยาวของ  $l_c$  ได้ อย่างไรก็ตามเราจำเป็นต้องคิดค่า  $\lambda g C$  แทนซ์ที่เกิดขึ้นที่ปลายห้องเมื่อไมโครสตริปส่วนนี้ต่ออยู่กับไมโครสตริปที่มีความกว้างของแกนสตริปเล็กกว่าดังกล่าวข้างต้น นอกจากนั้นถ้าไมโครสตริปแบบกว้างนี้ไปต่ออยู่กับไมโครสตริปแบบแคบที่ทำหน้าที่เป็นค่าอินดักแทนซ์ดังวงจรสมมูลในรูป(ง) ผลของค่าซัลเต็นน์แทนซ์  $B_L$  ก็จะมีส่วนทำให้ความขาว  $l_c$  ที่ต้องการสั่นลงด้วย

สำหรับค่าอินดักแทนซ์  $X_L$  ในวงจรสมมูลตามรูป (ค) นั้นจะมีค่าคำนวณตามสูตรดังต่อไปนี้

$$X_L = \frac{\prod lc Z_c C}{\lambda g C} \quad \text{หรือ} \quad L_c = \frac{lc C Z_c C}{2 f \lambda g C}$$

และเนื่องจากทั้งค่า  $\frac{lc}{\lambda g C}$  มีขนาดเดียวกันนั้นถ้าความถี่อยู่ในหลักของ GHz ค่า  $L$  จะอยู่ในหลักของ nH หรือต่ำกว่าเมื่อค่า  $L_c$  ต่ำมากก็สามารถลดลงได้

ในการถือของขึ้นส่วนแบบอินดักแทนซ์นั้นการพิจารณาค่า  $X_L$ ,  $B_L$  ในวงจรสมมูลตามรูปที่ 2h(ง) สามารถคำนวณหาได้ดังนี้

$$X_L = ZcL \sin\left(\frac{2 \prod lL}{\lambda g L}\right)$$

โดยที่  $ZcL$  และ  $\lambda g L$  เป็นอิมพีเดนซ์และความยาวคลื่นในไมโครสตริปที่กำลังพิจารณาอยู่นี้จากสมการนี้เมื่อกำหนดค่า  $X_L$  และ  $ZcL$  ที่ต้องการมาให้จะทำให้คำนวณความขาวที่ต้องการได้

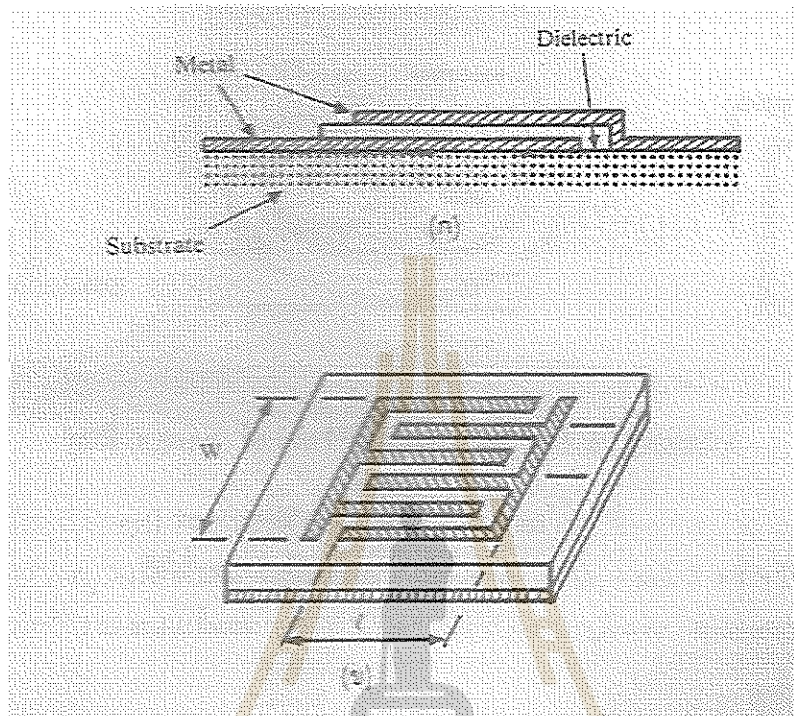
สำหรับค่า  $B_L$  ในวงจรตามรูป 2h(ง) หาได้โดย

$$B_L = \frac{1}{ZcL} \tan\left(\frac{\prod lL}{\lambda g L}\right)$$

จากที่กล่าวมาข้างต้นนี้จะเห็นได้ว่าสามารถคำนวณหาพารามิเตอร์ของวงจรสมมูลของขึ้นส่วนในไมโครสตริปที่ทำหน้าที่เป็นค่าปัตต์แทนซ์ และทำหน้าที่เป็นอินดักแทนซ์ได้ ดังนั้นจะสามารถนำเข้าส่วนเหล่านี้ไปต่อกันแบบแคสเคดเพื่อประกอบเป็นวงจรฟีลเตอร์ได้

(2) ขึ้นส่วนรีแอคแทนซ์แบบลัมป์

ชิ้นส่วนรีแอคเตนซ์แบบลัมป์ในวงจรในโครงสร้างปื้นบางครั้งให้ความสะดวกในการใช้งานเพราเมขนาดเด็ก ในที่นี้จะกล่าวถึงชิ้นส่วนค่าป่าชิเตนซ์และชิ้นส่วนรีแอคเตนซ์แบบลัมป์ และการใช้งานของชิ้นส่วนเหล่านี้ชิ้นส่วนรีแอคเตนซ์แบบลัมป์ที่มีใช้กันอยู่นั้นจะมีโครงสร้างตามรูปที่ 2i ในรูป(ก)นั้นเป็นโครงสร้างแบบแผ่นโลหะขนาด ซึ่งจะมีลักษณะคล้ายกับชิ้นส่วนค่าป่าชิเตนซ์ในย่านความถี่ต่ำในโครงเวฟ กล่าวคือ เป็นแผ่นโลหะขนาดที่คั้นด้วยสารไ/doอิเลกตริก



ภาพที่ 2-18 แสดงโครงสร้างชิ้นส่วนค่าป่าชิเตนซ์แบบลัมป์  
การคำนวณค่าค่าป่าชิเตนซ์ความถี่ต่ำทำได้โดยใช้สูตรต่อไปนี้

$$C = \frac{8.85 \frac{\epsilon r S}{d}}{W} \text{ pF}$$

โดยที่  $S$  เป็นพื้นที่ของแผ่นโลหะ และ  $d$  เป็นความหนาแน่นของสารไ/doอิเลกตริก ตัวอย่าง  $C$  ในกรณีนี้ชิ้น สารไ/doอิเลกตริกเป็นซิลิกา( $\text{SiO}_2$ )ซึ่งมี  $\epsilon r = 2.25$   $S=1 \text{ mm}^2$   $d=10 \mu \text{m}$   $C \approx 2 \mu \text{F}$

สำหรับชิ้นส่วนค่าป่าชิเตนซ์ที่มีโครงสร้างตามรูปที่ 2i(ข)นั้น จะมีรูปร่างเหมือนหัว 2 อัน ขบกันอยู่ ในกรณีนี้ค่า  $C$  จะคำนวณได้จากสูตรต่อไปนี้

$$C = \frac{\epsilon r + 1}{W} I [(N - 3)A_1 + A_2] \text{ pF}$$

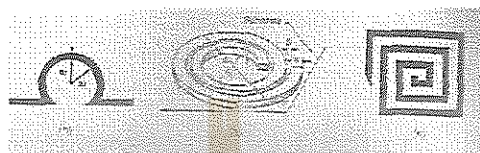
โดยที่  $A_1 = 8.85 \times 10^{-2} \text{ W}$ ,  $A_2 = 9.92 \times 10^{-2} \text{ W}$  และ  $W$  มีหน่วยเป็น  $\text{cm}$  โครงสร้างแบบนี้ โดยทั่วไปจะสร้างค่าป่าชิเตนซ์ที่มีค่าอยู่ในช่วง  $0.1$ - $15 \text{ pF}$

อันดับต่อไปเป็นชิ้นส่วนอินดักเตนซ์แบบลัมป์ รูปที่ 2j แสดงโครงสร้างชิ้นส่วนดังกล่าวที่นี่ รูป(ก)แสดงแบบที่มีโครงสร้างเป็นรูปสี่เหลี่ยมผืนผ้า ขนาดบานชันสเตรต ซึ่งจะอาศัยหลักการของการเกิดฟลักซ์ลิงกจ (flux linkage)ระหว่างฟลักซ์แม่เหล็กกับกระแสไฟฟ้าในการสร้างคุณสมบัติอินดัก

แทนซ์ เช่นเดียวกับที่ใช้ในช้านความถี่ต่ำไมโครเวฟ เมื่อให้  $a=(a_1+a_2)/2$  หรือเป็นรัศมีเฉลี่ยสูป วงกลม  $w$  เป็นความกว้างของแอบโลหะ และเป็นความหนาของแอบโลหะจะสามารถคำนวณค่า  $L$  ได้จากสูตรต่อไปนี้

$$L = 2 \left[ \ln \frac{l}{w+t} - 1.76 \right] \text{ mH}$$

โดยที่  $l$  เป็นความยาวของวงสูป ในกรณีวงสูปเกือบ平ปิคก็จะใช้  $l=2\pi a$



ภาพที่ 2-19 โครงสร้างของชิ้นส่วนอินดักเต้นซ์แบบล้มปี้

สำหรับชิ้นส่วนอินดักเต้นซ์ที่มีโครงสร้างตามรูปที่ 2(ข)และ(ค)ซึ่งมีรูปร่างเหมือนข่ายกันยุงแบบวงกลม และแบบสี่เหลี่ยมก็อาศัยหลักการของฟลักซ์ลิกเกจเช่นเดียวกับสูตรสำหรับรูป(ข) คือ

$$L = \frac{393 \frac{a^2 n^2}{8a+11c}}{\text{nH}}$$

โดยที่  $a$  เป็นรัศมีเฉลี่ยของขดสตริป คือ  $a=(d_0+d_1)/2$  และ  $C=(d_0-d_1)/2$

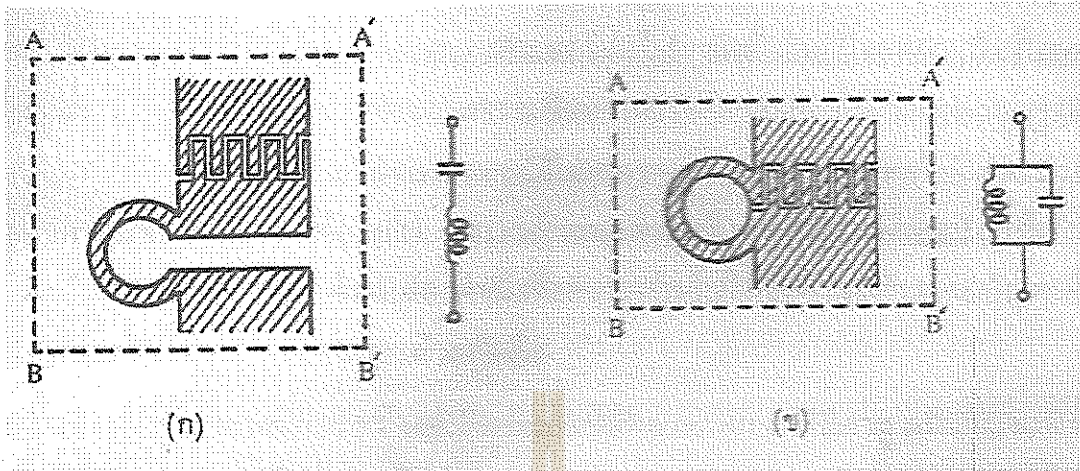
และ  $n$  เป็นจำนวนรอบ และ  $d_0, d_1$  มีหน่วยเป็น cm สำหรับโครงสร้างตามรูป(ค)

หากได้จากสูตร

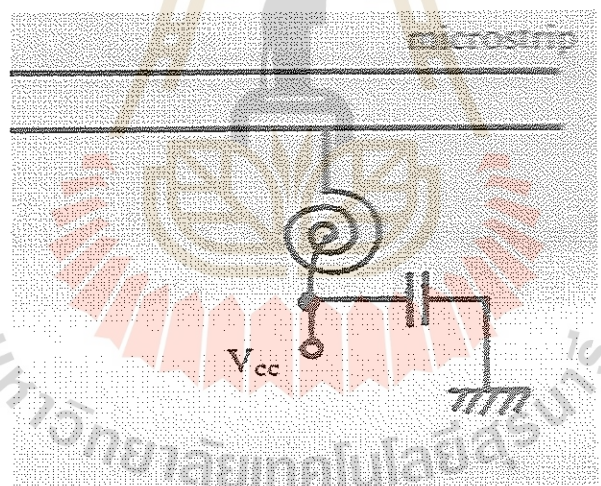
$$L = 0.24 a n^{5/3} \ln \frac{8a}{c}$$

สูตรหาค่า  $L$  ทั้งสองสูตรนี้เป็นการคำนวณค่า  $L$  ของโครงสร้างในสภาพที่อยู่ด้อยๆ ในอุปกรณ์ ในการพิสูจน์โครงสร้างอยู่บนชั้นตัดต่อที่หน้าต่างข้างเป็นแผ่นกราวด์สูตรทั้งหมดจะใช้งานได้ก็ต่อเมื่อ พลังงานของ  $z_r$  กับ  $Z_c$  มีค่าเกิน  $300\Omega$

ชิ้นส่วนรีแอคเต้นซ์แบบล้มปี้ที่กล่าวมานี้นักออกแบบใช้งานโดยๆ แล้วจะใช้ประกอบเป็นวงจรเรโซแนนซ์ดังที่แสดงไว้ในรูปที่ 2(k) และใช้ในวงจรใบแอลอตดังที่แสดงไว้ในรูปที่ 2(l)



ภาพที่ 2-20 วงจรเรซิแทนซ์แบบอนุกรมและแบบขนานที่สร้างจากชิ้นส่วนรีแอกแทนซ์แบบล้มปี้



ภาพที่ 2-21 วงจรรีแอคแทนซ์ที่ใช้ชิ้นส่วนอนินคักแทนซ์แบบล้มปี้

อนึ่งชิ้นส่วนรีแอคแทนซ์ที่กล่าวมาทั้งหมดในหัวข้อนี้ ต่างในกฎจะทำงานได้ดีในย่านความถี่ที่ต่ำกว่า 2 GHz เพราะที่ความถี่สูงกว่านี้ จะต้องมีขนาดเล็กลงมาก และการสูญเสียก็จะสูงขึ้นค่อนข้างมาก

### 2.5.2 การออกแบบวงจรฟิลเตอร์ผ่านความถี่ที่ใช้ชิ้นส่วนรีแอคแทนซ์แบบ

#### วงจรกรวย

ในการออกแบบวงจรฟิลเตอร์มีขั้นตอนดังนี้ คือ

- กำหนดคุณสมบัติของฟิลเตอร์ที่ต้องการ

(ข) จากคุณสมบัติที่ต้องการทำการทำกานดวงจรชิ้นส่วนลับปี และทำกานค่าของชิ้นส่วนลับปีต่างๆ ในวงจรนี้

(ค) เพื่อวงจรในโครงสร้างปี่มีวงจรสมมูลตามวงจรชิ้นส่วนลับปีในข้อ (ข) จากนั้นทำการคำนวณความกว้างและความยาวของในโครงสร้างแต่ละช่วงที่ให้ค่าอินดักแทนซ์หรือค่าปาราเมตันซ์ที่ต้องการ

ขั้นตอน(ก)และ(ข)นี้เป็นขั้นตอนปกติที่ใช้ในการออกแบบวงจรชิ้นส่วนลับปีโดยทั่วไป ซึ่งรายละเอียดแสดงไว้ในหนังสือเกี่ยวกับการออกแบบฟลีเตอร์ทั่วไป ดังนั้นในที่นี้จะกล่าวถึง ขั้นตอน (ค) เป็นหลัก เมื่อได้วงจรตามขั้นตอน (ข) ก็จะสามารถเขียนวงจรในโครงสร้างแต่ละช่วง ให้มีค่าอินดักแทนซ์และค่าปาราเมตันซ์ตามต้องการ การทำกานค่าอิมพีเดนซ์ลักษณะสมบัตินี้ เท่ากับเป็นการทำกานความกว้างของแบบสตริป ซึ่งจะต้องคำนึงถึงความเป็นไปได้ในการสร้างและปัญหาที่เกิดขึ้น ได้ โดยทั่วไปถึงที่ต้องคำนึงถึงมี 2 ประการ คือขันกัน คือ

(ก) ไขชิ้นส่วนอินดักแทนซ์การสร้างอิมพีเดนซ์ลักษณะสมบัติที่มีค่าสูงเกินไปจะทำให้แยกในโครงสร้างเป็นมาળเกิดปัญหาในการสร้างได้

(ข) ในชิ้นส่วนค่าปาราเมตันซ์ การสร้างค่าอิมพีเดนซ์ลักษณะสมบัติที่มีค่าต่ำเกินไปจะทำให้แยกความกว้างของสตริปกว้างมากจนทำให้เกิดริโซแนนซ์ตามแนววาง (transverse resonance) ของคดีความลึกสูงสุด ได้

จากข้อจำกัดนี้ทำให้การใช้งานจริงสามารถเลือกใช้ค่า  $Z_c$  ในช่วงจำกัดเท่านั้นยกตัวอย่าง เช่น ในกรณีที่ซับสเตรตเป็นอลูминิมที่มี  $\epsilon_r = 9.6$  และมีความหนาเท่ากับ  $0.635 \text{ mm}$  ค่า  $Z_c$  ที่เลือกใช้จะอยู่ในช่วง  $25 \Omega$  ถึงประมาณ  $90 \Omega$  ทึ่งนี้มีอุปกรณ์คำนวณความกว้างของแบบสตริปและความยาวคดีความลึกของความถี่  $2 \text{ GHz}$  ใน

ในโครงสร้างที่มีค่า  $Z_c$  คงกันได้ ผลที่ได้จะเป็นดังตารางข้างล่างนี้

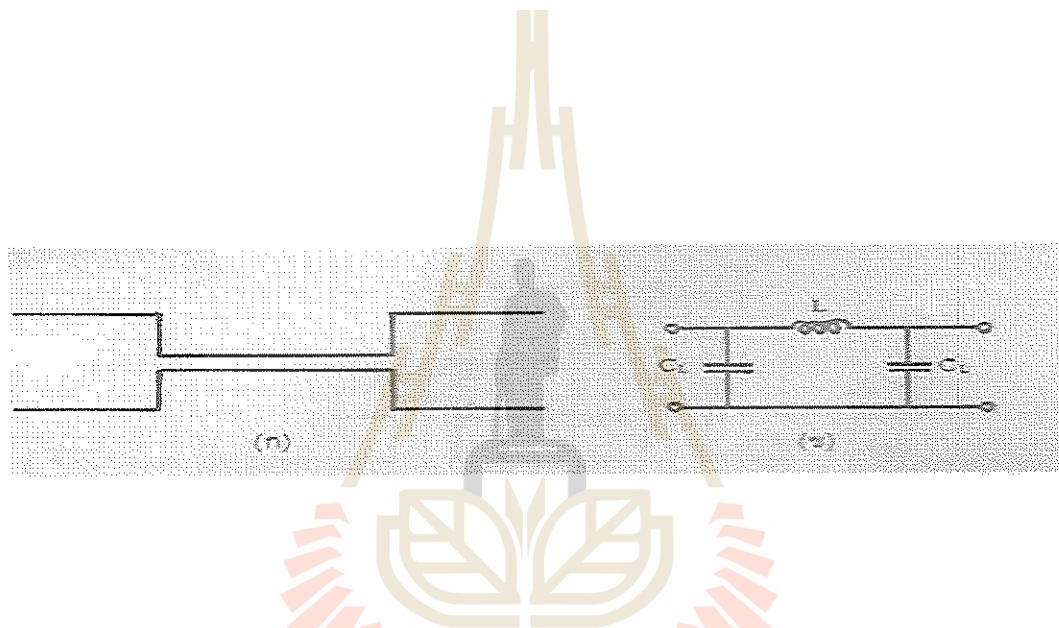
$Z_c (\Omega)$	25	50	90
$W (\text{mm})$	2.00	0.635	0.13
$\lambda_g (\text{mm})$	55.7	64.7	65.0

เมื่อพิจารณาค่า  $W = 0.13 \text{ mm}$  เมื่อ  $Z_c = 90 \Omega$  ซึ่งจัดว่าแคบมาก ดังนั้นถ้าให้  $Z_c$  ค่าใหญ่กว่า นี้ก็จะมีปัญหาในการสร้างได้ สำหรับ  $Z_c = 25 \Omega$  นั้น  $W$  จะมีค่าประมาณ  $2 \text{ mm}$  ซึ่งจัดว่าจังไม่กรองนัก แต่ถ้าออกแบบให้  $Z_c$  เดียวกันนี้  $w$  ก็จะกว้างขึ้นทำให้เกิดปัญหาของการเกิดริโซแนนซ์ตามแนววาง ได้ นอกจากนั้นยังทำให้ต้องการพื้นที่มากขึ้นด้วย

เมื่อสามารถใช้ค่า  $Z_c$  ที่เหมาะสมสำหรับในโครงสร้างแต่ละช่วงได้แล้ว ก็จะนำไปคำนวณความยาวของในโครงสร้างที่จะทำให้ได้ค่า  $L$  และค่า  $C$  ตามที่ต้องการต่อไปได้ อย่างไรก็ตามในกรณีของวงจรฟลีเตอร์ผ่านความถี่ต่ำที่กำลังพิจารณาอยู่นี้ โดยทั่วไปจะต้องนำชิ้นส่วนอินดักแทนซ์

ต่อสลับกับชิ้นส่วนคาปaciแตนซ์ต่อสลับกับชิ้นส่วนคาปaciแตนซ์ ดังนั้นในการกำหนดความยาวของแต่ละชิ้นส่วนจะต้องคำนึงถึงผลจากชิ้นส่วนข้างเคียงด้วย ในการพิจารณาความยาว  $L_L$  ของชิ้นส่วนคาปaciแตนซ์ดังที่แสดงไว้ในรูปที่ 2m (ก) นั้น เมื่อจากวงจรสมมูลเขียนได้ตามรูป (ข) และ  $L_c$  ของชิ้นส่วนข้างเคียงมีขนาดเดียวกันสามารถลดเลี้ยงได้ ในทำนองเดียวกัน  $L_s$  ซึ่งเกิดจากการเปลี่ยนความกว้างแบบเป็นขั้นที่ปลายสายก็มีขนาดเดียวกันสามารถลดเลี้ยงได้ ในทำนองเดียวกัน  $L_c$  ซึ่งเกิดจากการเปลี่ยนความกว้างแบบเป็นขั้นที่ปลายสายก็มีขนาดเดียวกันสามารถลดเลี้ยงได้ ดังนั้นการกำหนดความยาวของ  $L_L$  ก็จะทำได้โดยใช้สมการที่ผ่านมาก่อนหน้าให้ได้ผลดังนี้

$$L_L = \frac{\lambda g L}{2\pi} \sin^{-1}\left(\frac{\omega L}{Zc L}\right)$$



ภาพที่ 2-22 ชิ้นส่วนอนินดักແคนซ์ที่ถูกนำเสนอไว้ด้วยชิ้นส่วนคาปaciแตนซ์และวงจรสมมูลที่ได้สำหรับค่า  $C_L$  จะได้ดังนี้

$$C_L = \frac{1}{\omega Zc L} \tan\left(\frac{\pi L}{\lambda g L}\right)$$

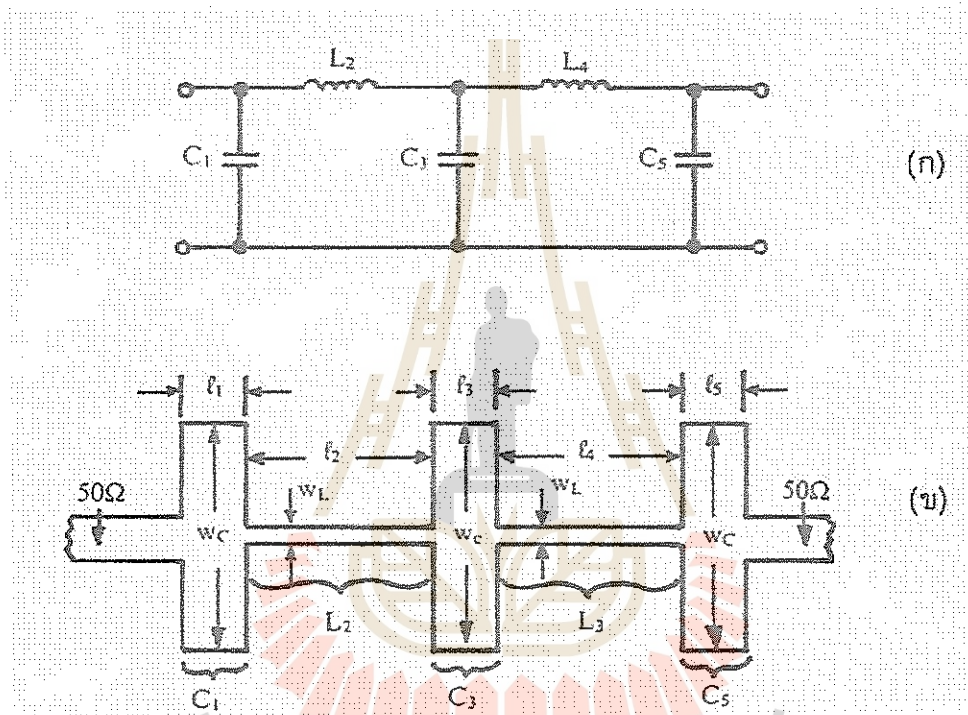
ในอันดับต่อไปจะพิจารณาวิธีกำหนดความยาว  $L_c$  ของชิ้นส่วนคาปaciแตนซ์ที่ถูกนำเสนอด้วยชิ้นส่วนอนินดักແคนซ์ที่แสดงไว้ในรูปที่ 2h(ก) ในกรณีนี้เมื่อจากวงจรสมมูลจะเป็นดังที่แสดงไว้ในรูป(ก) ดังนั้นการคำนวณค่า  $L_c$  จะต้องพิจารณาอย่างรอบคอบดังนี้คือ ถ้าค่าคาปaciแตนซ์รวมที่ต้องการคือ  $C_T$  เนื่องจาก  $L_c$  มีขนาดเด็กมากจะลดลงได้ ค่าคาปaciแตนซ์  $C_C$  ที่จะนำไปกำหนดความยาวของ  $L_c$  ก็จะมีค่าดังต่อไปนี้

$$C_C = C_T - C_{L1} - C_{L2} - C_{s1} - C_{s2}$$

โดยที่  $C_{L1}, C_{L2}$  เป็นค่าค่าปารามิเตอร์จากชิ้นส่วนอินดักซ์ที่ข้างเคียง ซึ่งคำนวณได้จากการ  
ข้างต้นและ  $C_{s1}, C_{s2}$  เป็นค่าปารามิเตอร์ที่เกิดจากฟริงจิที่ปลายสายดังนั้น  $I_c$  จึงถูกกำหนดค่า  $C_c$  หรือ  
คำนวณได้จาก

$$I_c = \frac{\lambda g C}{2\pi} \sin^{-1}(\omega C c Z c C)$$

จากที่กล่าวมาข้างต้นนี้จะเห็นได้ว่าเมื่อกำหนดรูปของชิ้นส่วนแบบลัมป์ได้ก็จะนำไป  
คำนวณหาความกว้างและความยาวของชิ้นส่วนไมโครสเตริปแต่ละช่วงได้ รูปที่ 2n แสดงตัวอย่าง  
โครงสร้างของวงจรไมโครสเตริปที่ทำงานเหมือนกับวงจรชิ้นส่วนแบบลัมป์ที่แสดงไว้ในรูป(ก)รูป  
ที่แสดงนี้เป็นกรณีที่ไมโครสเตริปท่อนพุตและเอาต์พุตมีค่าเป็น  $50 \Omega$  โอม



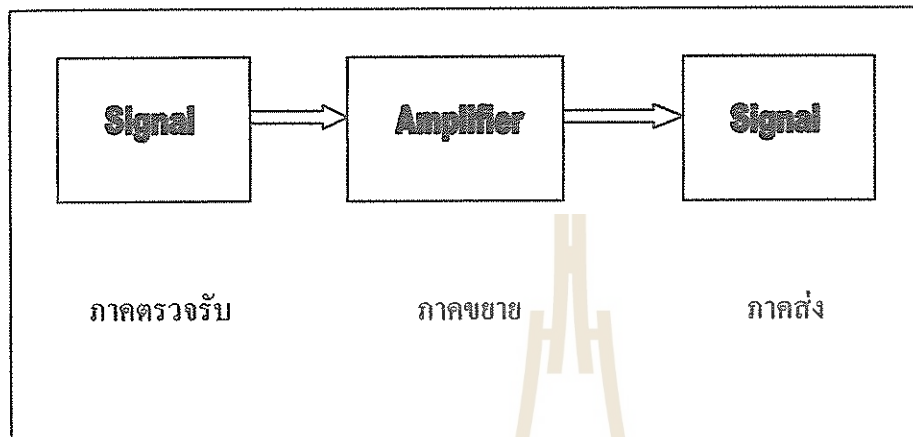
ภาพที่ 2-23 วงจรพิสดารชิ้นส่วนลัมป์และวงจรไมโครสเตริปที่ทำงานเหมือนกัน

## บทที่ 3

### การออกแบบ

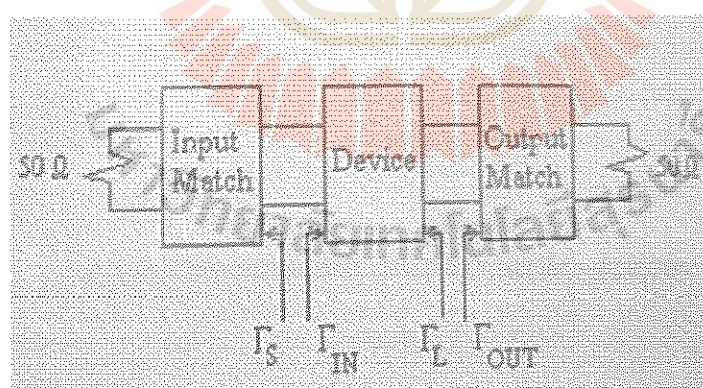
#### 3.1 กล่าวนำ

ระบบโคลชรุ่มมีองค์ประกอบสำคัญ 3 ส่วนคือ ภาคตรวจรับสัญญาณ, ภาคขยายสัญญาณ และภาคส่งสัญญาณ



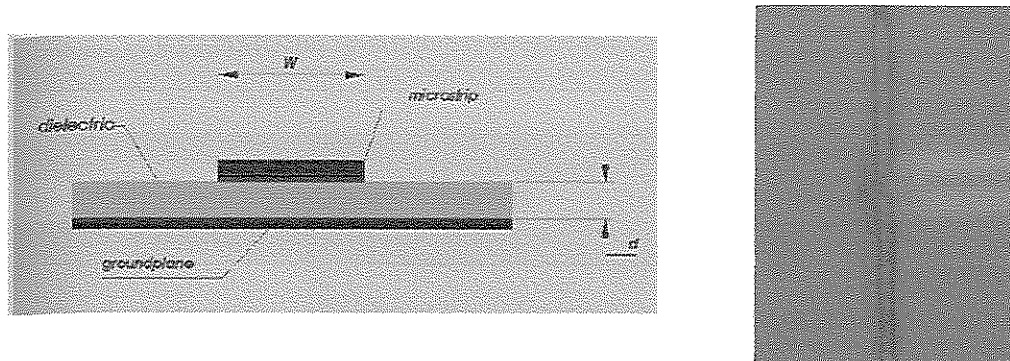
ภาพที่ 3.1 โครงสร้างโดยรวมของระบบ

ภาคตรวจรับจะทำหน้าที่รับสัญญาณ wireless จากสายอากาศซึ่งมีโหลดเท่ากับ  $50 \text{ ohm}$  และภาคส่งจะทำหน้าที่ส่งสัญญาณ wireless ด้วยสายอากาศซึ่งมีโหลด  $50 \text{ ohm}$  เท่ากัน ดังนั้นเราจึงต้องทำการ matching กับอุปกรณ์ที่เป็นชุดขยายสัญญาณ แสดงดังรูปข้างล่าง



ภาพที่ 3.2 Matching Amplifier

3.2 การออกแบบ Transmission Line บนแผ่นไมโครสเตริป ( $Z_0 = 50 \Omega$ ) ที่ความถี่  $2.45GHz$



หน้า W จาก

$$\frac{w}{d} = \frac{8e^A}{e^{2A} - 2}$$

$$A = \frac{Z_0}{60} \sqrt{\frac{\epsilon_r + 1}{2}} + \frac{\epsilon_r - 1}{\epsilon_r + 1} \left( 0.23 + \frac{0.11}{\epsilon_r} \right)$$

$$\epsilon_r = 4.5$$

$$A = \frac{50}{60} \sqrt{\frac{4.5 + 1}{2}} + \frac{4.5 - 1}{4.5 + 1} \left( 0.23 + \frac{0.11}{4.5} \right)$$

$$= (1.65)(0.83) + (0.63)(0.254)$$

$$= 1.4 + 0.16$$

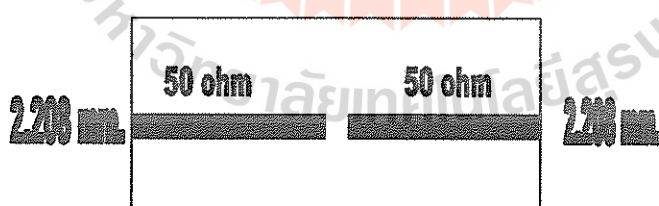
$$= 1.56$$

หน้า A ในสมการ

$$\frac{w}{d} = \frac{8e^{1.56}}{e^{2.156} - 2} = \frac{38.07}{20.64} = 1.84$$

$$d = 1.2mm$$

$$w = 1.84 \times 1.2 = 2.208mm$$

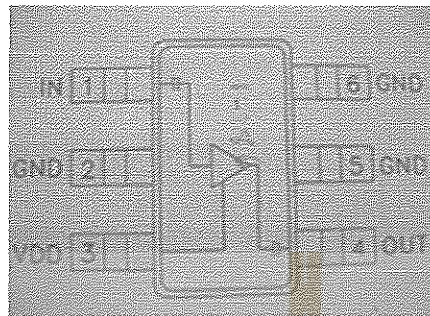


ภาพที่ 3.3 ลายแพน PCB

### 3.3 ส่วนที่ทำหน้าที่ขยายสัญญาณ

เนื่องจากเราจึงทำการออกแบบวงจรทวนตัวสัญญาณ(Repeater)โดยใช้วงจรขยายสัญญาณแบบ MMIC เพื่อทำหน้าที่ขยายสัญญาณ โดยที่การออกแบบเราใช้ MMIC ดังต่อไปนี้

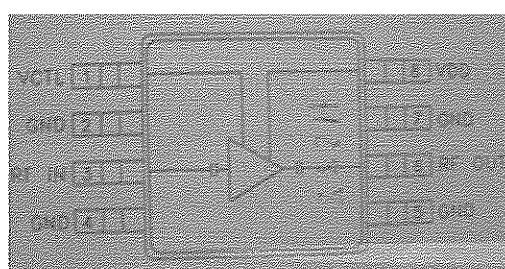
#### .3.1 MMIC HMC286



ภาพที่ 3.4 Functional Diagram ของ GaAs MMIC Low Noise Amplifier , 2.3-2.5 GHz ( เบอร์ HMC286 )

วงจรที่ใช้งานจริงที่แสดงดังภาพที่ 3.4 เป็นการรับสัญญาณที่มีความแรงต่ำมากข่าย แล้วส่งสัญญาณต่อไปยังเครื่องรับสัญญาณ โดยรายละเอียดของวงจรประกอบด้วย ขา 1 ของ MMIC Low Noise Amplifier เบอร์ HMC286 จะทำหน้าที่รับสัญญาณ จากสายอากาศทางด้านอินพุท แล้วขา 4 จะเป็นส่วนที่ทำหน้าที่ส่งสัญญาณที่ขยายแล้วออกไปยังเครื่องรับด้วยสายอากาศทางด้านเอาท์พุท ด้านขา 2 , 5 และ 6 จะนำมาต่อลงกราวด์ แรงดันจะถูกจ่ายเข้าที่ขา 3 แรงดันที่ใช้มีค่าเท่ากับ  $\pm 3V$

#### 3.3.2 MMIC HMC287



ภาพที่ 3.5 Functional Diagram ของ GaAs MMIC Low Noise Amplifier , 2.3-2.5 GHz ( เบอร์ HMC287MS8 )

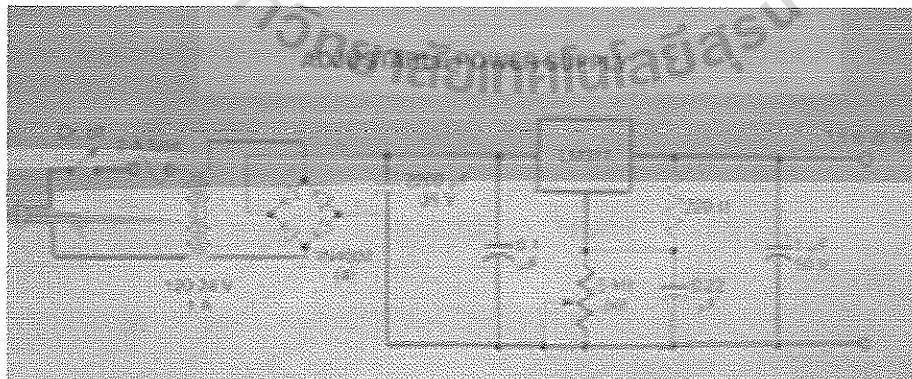
อีกวิจารที่ใช้งานจริงที่แสดงดังภาพที่3.5 เป็นการรับสัญญาณที่มีความแรงค่ามากข่าย แล้วส่งสัญญาณต่อไปยังเครื่องรับสัญญาณ โดยรายละเอียดของวงจรประกอบด้วย ขา 3 ของ MMIC Low Noise Amplifier บอร์ HMC287MS8 จะทำหน้าที่รับสัญญาณ จากสายอากาศทางด้านอินพุท แล้วขา 6 จะเป็นส่วนที่ทำหน้าที่ส่งสัญญาณที่ขยายแล้วออกไปยังเครื่องรับด้วยสายอากาศทางด้านเอาท์พุท และขา 2,4,5 และ 7 จะนำมาต่อลงกราวด์ แรงดันจะถูกจ่ายเข้าที่ขา 8 แรงดันที่ใช้จะมีค่าเท่ากับ +3V ส่วนขา 1 เราต้องการให้ Gain State เป็น Maximum ดังนั้นจะต้องต่อขา 1 ( Vctl ) ลงกราวด์ ดังตารางที่3.6

Vctl (Vdc)	Gain State	Typical Ictl (uA)
0.0	Maximum	25
1.5	Middle	25
Vdd	Minimum	25

ตารางที่ 3.6 Gain Control

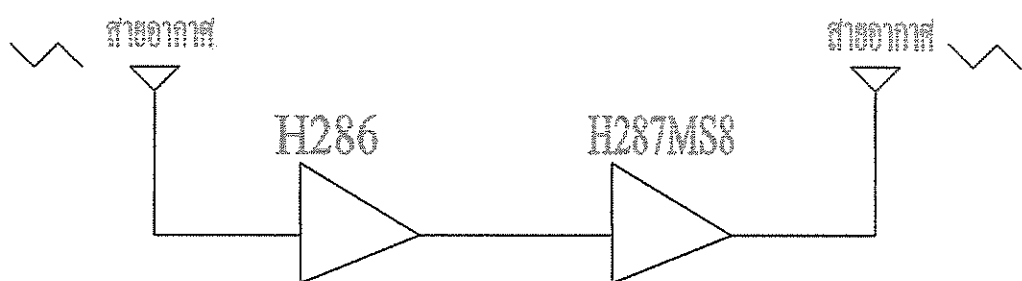
### 3.4 ส่วนของแหล่งจ่ายไฟ (Power supply)

ในสภาพของการใช้งานจริง เราต้องการแหล่งจ่ายไฟที่อยู่บริเวณใกล้กับอุปกรณ์ และมีแหล่งจ่ายแรงดันตามที่เราต้องการ ดังนั้นเราจึงออกแบบสร้างแหล่งจ่ายไฟ ซึ่งมีรูปแบบของวงจรดังนี้

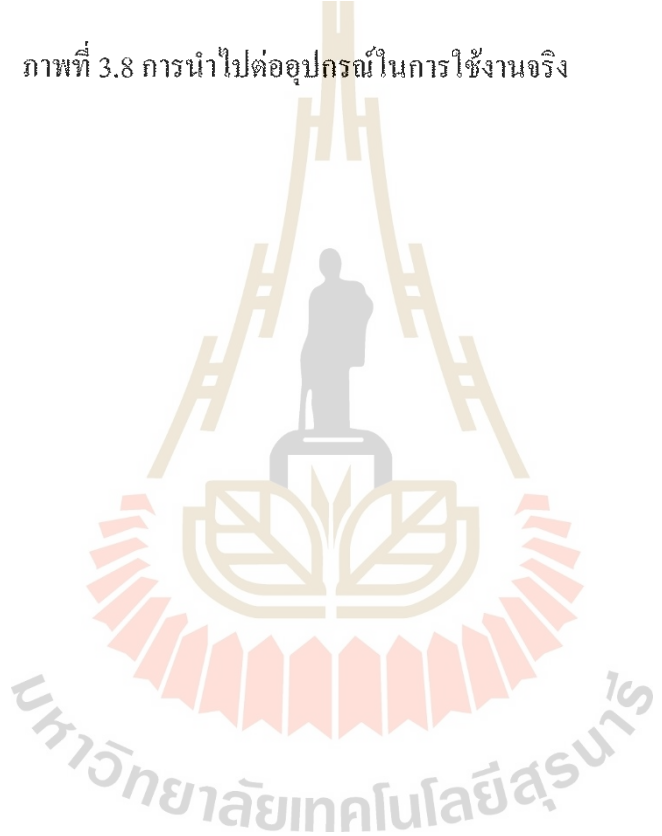


ภาพที่3.7 แสดงรูปแบบของวงจรแหล่งจ่ายไฟ

### 3.5 การนำไปต่ออุปกรณ์ในการใช้งานจริง



ภาพที่ 3.8 การนำไปต่ออุปกรณ์ในการใช้งานจริง



## บทที่ 4

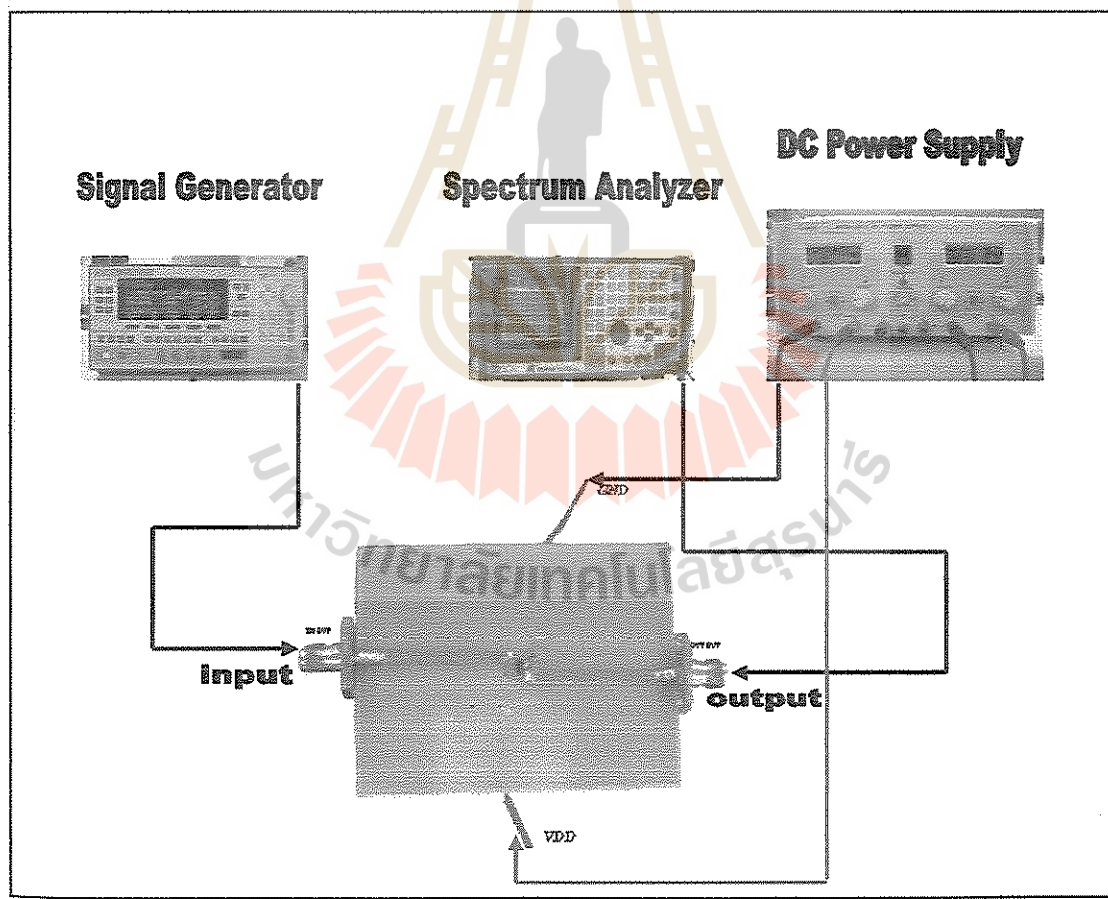
### การทดสอบและการทดลอง

#### 4.1 ก่อร่างกาย

เนื่องจากการออกแบบระบบถูกแยกออกเป็น 3 ส่วนใหญ่ๆ คือ Power Amplifier , Low Noise Amplifier และสายอากาศ และทุกๆส่วนก็มีความสำคัญอย่างยิ่งในวงจรทวนสัญญาณ (Repeater) โดยใช้ช่วงจรรยาด้วยสัญญาณแบบ MMIC ดังนั้น เราจึงต้องมีการทดสอบเพื่อจะได้รู้ว่า วงจรขยายสัญญาณแบบ MMIC ที่เราออกแบบมา มีการขยายสัญญาณเกิดขึ้นหรือไม่ และขยายสัญญาณเป็นเท่าใด

#### 4.2 การทดสอบวงจรขยายสัญญาณแบบ MMIC HMC286

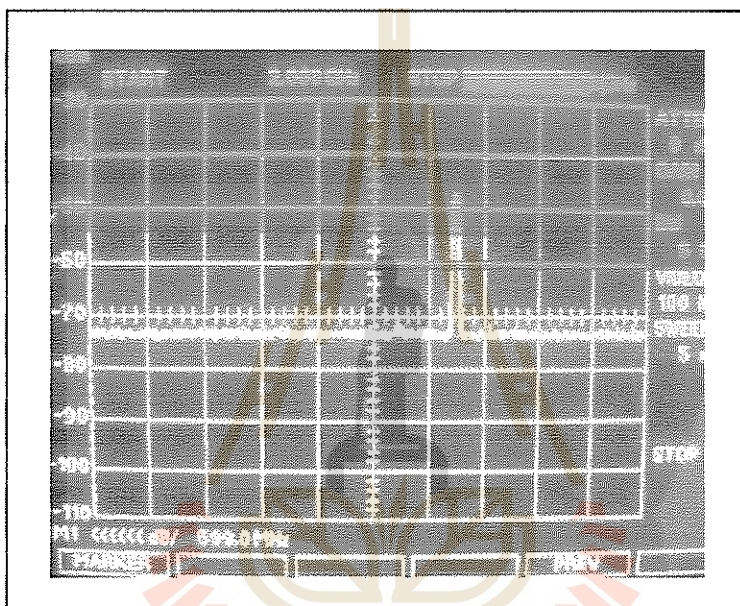
วัตถุประสงค์ของการทดสอบนี้เพื่อเป็นการทดสอบแนวคิด และ วิเคราะห์สัญญาณของวงจรแบบ MMIC HMC286 ที่เราได้ออกแบบมาว่าจะมีความแรงของสัญญาณอยู่ในระดับใด และมีการขยายสัญญาณเป็นเท่าใด แสดงดังรูปที่ 4.1



ภาพที่ 4.1 แสดงการจัดอุปกรณ์ทดสอบการวัดความแรงของสัญญาณของวงจร  
MMIC HMC286

จากรูปที่ 4.1 อุปกรณ์ในการทดสอบประกอบด้วยวงจรแบบ MMIC HMC286 , Signal Generator(เครื่องกำนัลสัญญาณ), Spectrum Analyzer และ DC Power Supply ในการต่ออุปกรณ์นั้นจะทำการจ่าย power level จากเครื่องกำนัลสัญญาณ เข้าที่อินพุท ของวงจร MMIC และตั้ง Center Frequency ไว้ที่ 2.45 GHz และทำการต่อเครื่อง Spectrum Analyzer เข้าที่เอ้าพุท และจ่ายแรงดันจาก Power Supply เข้าที่ VDD และเชื่อมต่อ Ground จาก Power Supply เข้าที่ GND ของวงจร MMIC

ในการทดสอบจะทำการเพิ่มแรงดันจาก Power Supply ไปเรื่อยๆ แต่ไม่ให้เกิน 3 volt เพื่อหาระดับสัญญาณที่มีค่ามากที่สุด โดยดูผลการทดสอบได้จากเครื่องวัด Spectrum Analyzer ดังได้แสดงในรูปที่ 4.2



ภาพที่ 4.2 แสดงผลการทดสอบระดับความแรงของสัญญาณของวงจร MMIC HMC286 สามารถสรุปผลการทดสอบได้ว่า เมื่อป้อน Power Level จากเครื่องกำนัลสัญญาณเข้าที่ อินพุท -60 dBm เอ้าพุทที่ได้เท่ากับ -48 dBm ดังนั้นวงจรนี้มีการขยายสัญญาณ 12 dB เมื่อเทียบกับ อินพุทที่ป้อนเข้า โดยสามารถคำนวณได้จากสูตรตามทฤษฎี

$$G = \underline{P_2}$$

$$P_1$$

$P_2$  = Power ที่ output

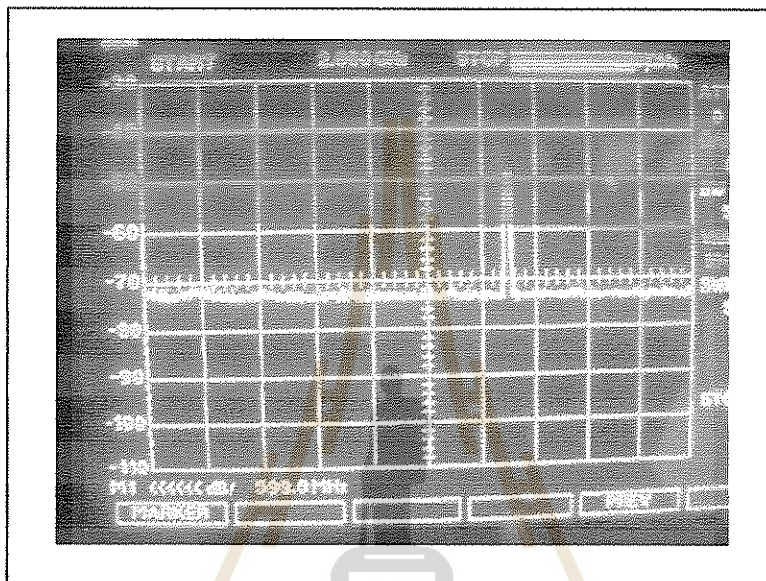
$P_1$  = Power ที่ input

$$\begin{aligned} G(\text{dB}) &= P_2(\text{dBm}) - P_1(\text{dBm}) \\ &= -48\text{dBm} - (-60\text{dBm}) \\ &= 12\text{ dB} \end{aligned}$$

### 4.3 การทดสอบของขยายสัญญาณแบบ MMIC HMC287

การขัดอุปกรณ์ทดลองจะเข่นเดียวกับการทดสอบของขยายสัญญาณแบบ MMIC HMC286

ในการทดลองจะทำการเพิ่มแรงดันจาก Power Supply ไปเรื่อยๆ แต่ไม่ให้เกิน 3 volt เพื่อหาระดับสัญญาณที่มีค่ามากที่สุด โดยดูผลการทดลองได้จากเครื่องวัด Spectrum Analyzer ดังได้แสดงในรูปที่ 4.3



ภาพที่ 4.3 แสดงผลการทดลองระดับความแรงของสัญญาณของวงจร MMIC HMC287

สามารถสรุปผลการทดลองได้ว่าเมื่อป้อน Power Level จากเครื่องกำนัลสัญญาณเข้าที่อินพุต  $-60 \text{ dBm}$  เข้าที่พุทธิ์ที่ได้เท่ากับ  $-50 \text{ dBm}$  ดังนั้นวงจรนี้มีการขยายสัญญาณ  $10 \text{ dB}$  เมื่อเทียบกับอินพุตที่ป้อนเข้า โดยสามารถคำนวณได้จากสูตรตามทฤษฎี

$$G = P_2$$

$$P_1$$

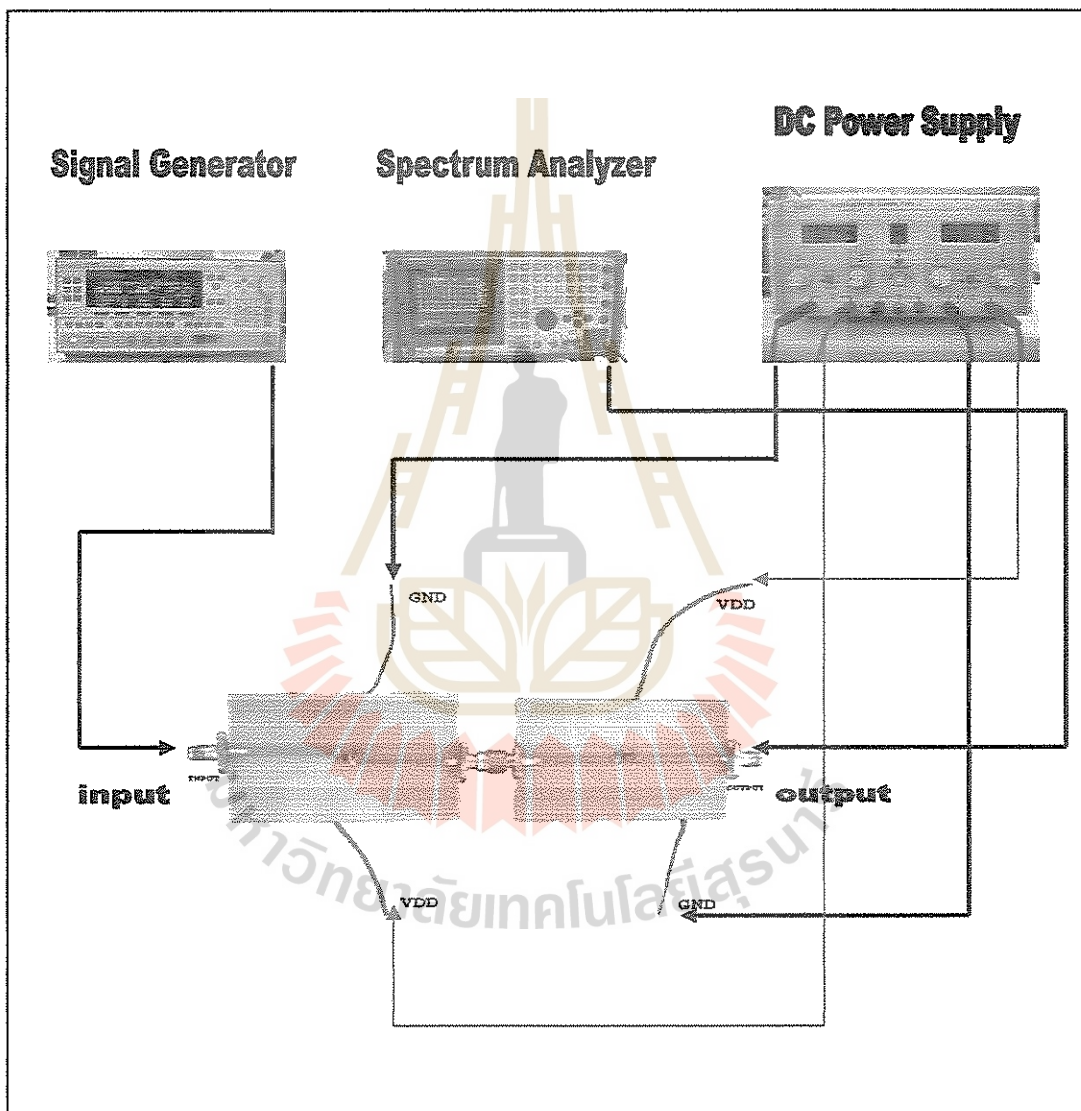
$P_2$  = Power ที่ output

$P_1$  = Power ที่ input

$$\begin{aligned} G(\text{dB}) &= P_2(\text{dBm}) - P_1(\text{dBm}) \\ &= -50\text{dBm} - (-60\text{dBm}) \\ &= 10 \text{ dB} \end{aligned}$$

#### 4.4 การทดสอบวงจรขยายสัญญาณแบบ MMIC HMC286 เรื่องต่อ กับ วงจรขยายสัญญาณ แบบ MMIC HMC287

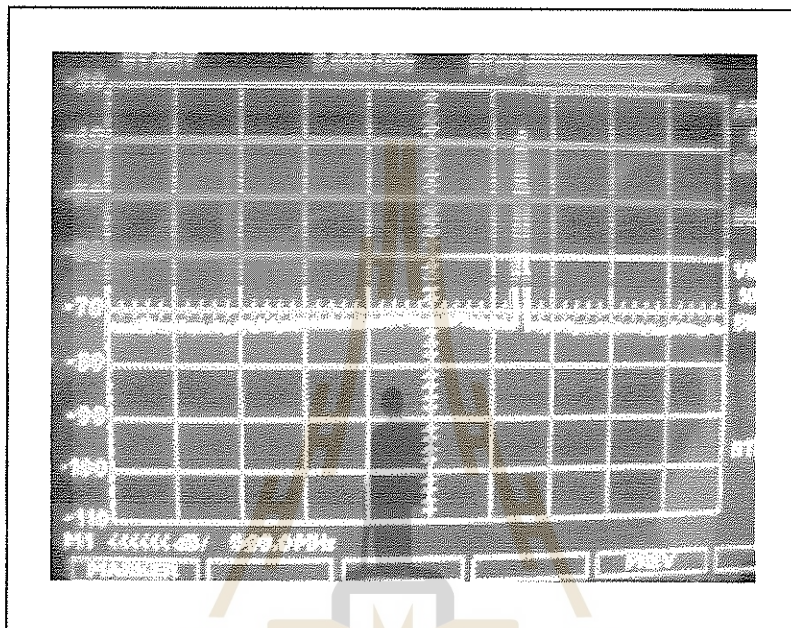
วัตถุประสงค์ของการทดลองนี้เพื่อต้องการที่จะให้มีการขยายของสัญญาณให้เพิ่มมากขึ้น จากเดิมและเป็นการทดสอบแนวคิดและวิเคราะห์ความแรงของสัญญาณ ของวงจร MMIC HMC286 เรื่องต่อ กับ วงจร MMIC HMC287 ว่าเมื่อเรื่องต่อ กับ จะมีระดับสัญญาณอยู่ในระดับใด และ มีการขยายสัญญาณเพิ่มมากขึ้นเป็นเท่าไหร การจัดอุปกรณ์ทดลอง แสดงดังรูปที่ 4.4



ภาพที่ 4.4 แสดงการจัดอุปกรณ์ทดลองการวัดความแรงของสัญญาณของวงจร MMIC HMC286 เรื่องต่อ กับ วงจร MMIC HMC287

การจัดอุปกรณ์การทดสอบจะเช่นเดียวกับข้อที่ 4.2 และ 4.3 และวิธีทดสอบก็เช่นเดียวกัน แต่ต่างกันตรงที่ จ่ายแรงดันจาก Power Supply เข้าที่ VDD ของวงจร MMIC ทั้ง 2 วงจรและเชื่อมต่อ Ground จาก Power Supply เข้าที่ GND ของวงจร MMIC ทั้ง 2 วงจรด้วย

ในการทดสอบจะทำการเพิ่มแรงดันจาก Power Supply เข้าที่วงจร MMIC ทั้ง 2 วงจรไปเรื่อยๆ แต่ไม่ให้เกิน 3 volt เพื่อหาระดับสัญญาณที่มีค่ามากที่สุด โดยคุณภาพการทดสอบได้จากเครื่องวัด Spectrum Analyzer ดัง ได้แสดงในรูปที่ 4.5



ภาพที่ 4.5 แสดงผลการทดสอบระดับความแรงของสัญญาณของวงจร MMIC HMC286 เชื่อมต่อ กับ วงจร MMIC HMC287

สามารถสรุปผลการทดสอบได้ว่า เมื่อป้อน Power Level จากเครื่องกำนัลสัญญาณเข้าที่ อินพุท -60 dBm (อี้พุทที่ได้เท่ากับ -38 dBm ดังนั้นวงจรนี้มีการขยายสัญญาณ 22 dB เมื่อเทียบกับ อินพุทที่ป้อนเข้า โดยสามารถคำนวณ ได้จากสูตรตามทฤษฎี

$$G = P_2$$

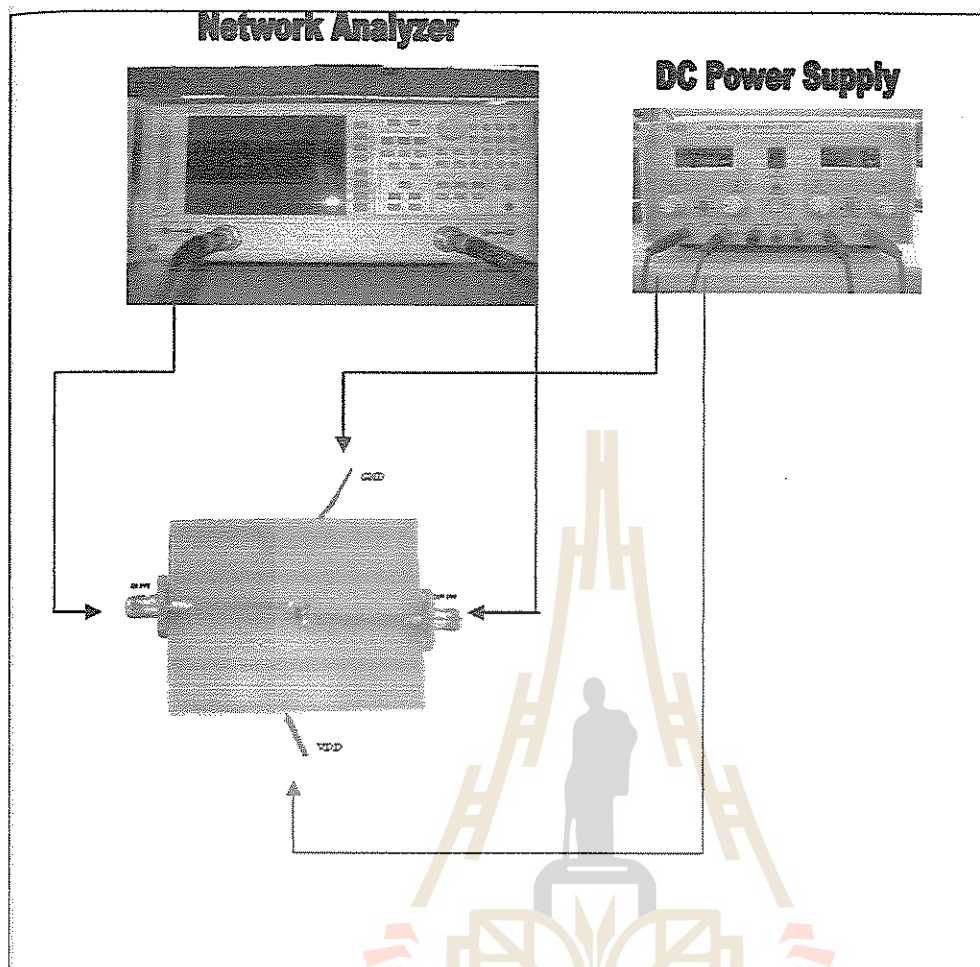
$$P_1$$

$P_2$  = Power ที่ output

$P_1$  = Power ที่ input

$$\begin{aligned} G(\text{dB}) &= P_2(\text{dBm}) - P_1(\text{dBm}) \\ &= -38 \text{ dBm} - (-60 \text{ dBm}) \\ &= 22 \text{ dB} \end{aligned}$$

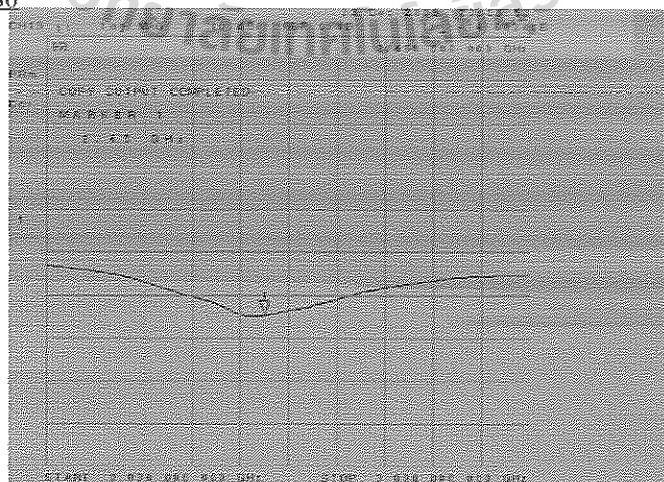
4.5 ผลการวัด  $S_{11}$ ,  $S_{12}$ ,  $S_{21}$ ,  $S_{22}$  จากเครื่อง Network Analyzer ของวงจร MMIC  
โดยมีการวัดตามรูปด้านไปนี้



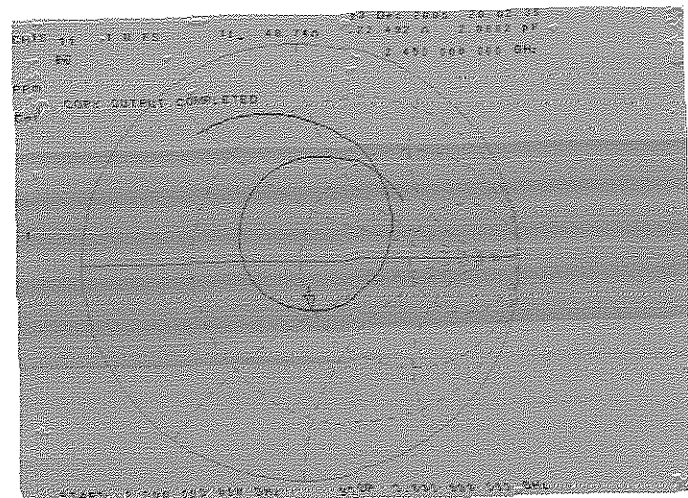
ภาพที่ 4.6 แสดงการจัดอุปกรณ์เพื่อทดสอบค่า  $S_{11}$ ,  $S_{12}$ ,  $S_{21}$ ,  $S_{22}$  ของวงจร MMIC HMC286 และวงจร MMIC HMC287 จากเครื่อง Network Analyzer

MMIC เบอร์ HMC286

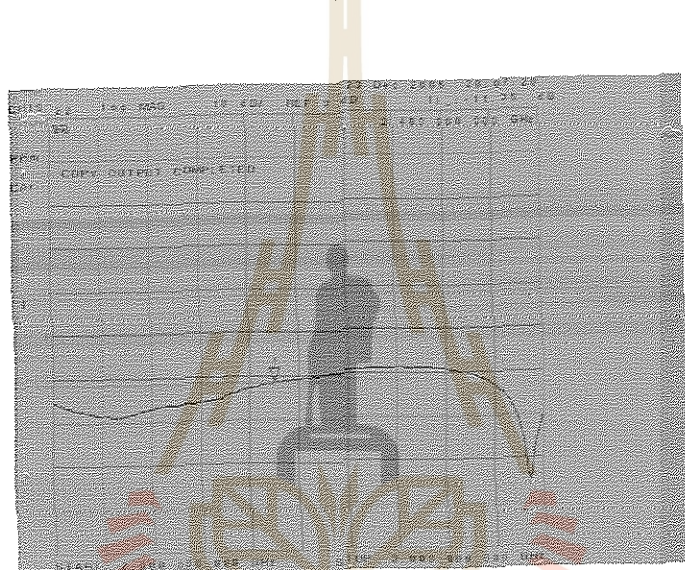
ผลที่ได้



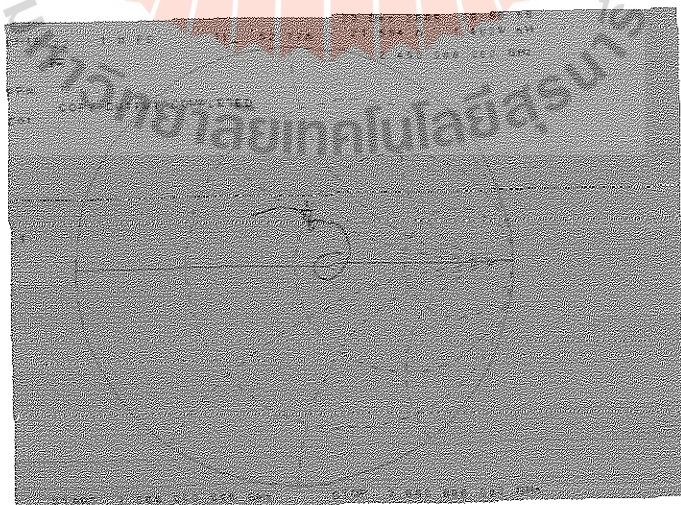
S<sub>11</sub>



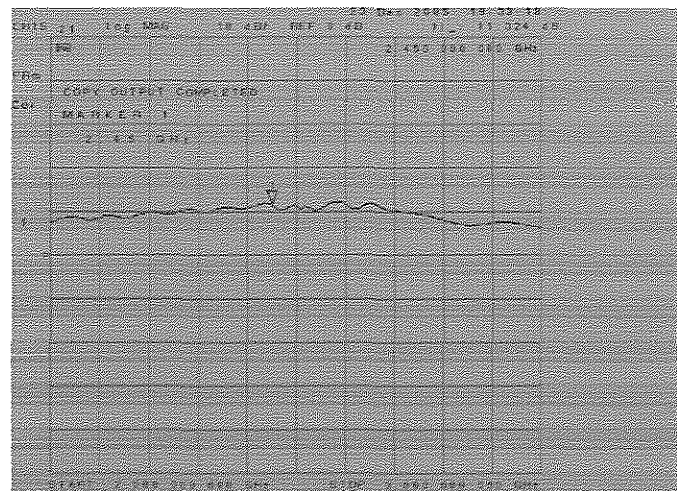
Matching Input



S22



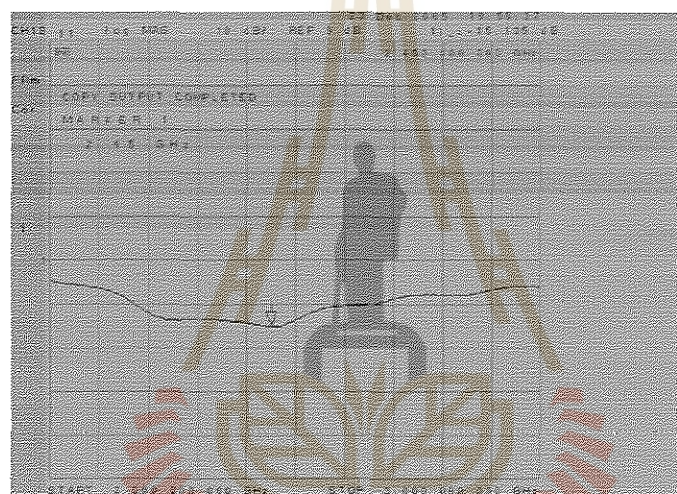
Matching Output



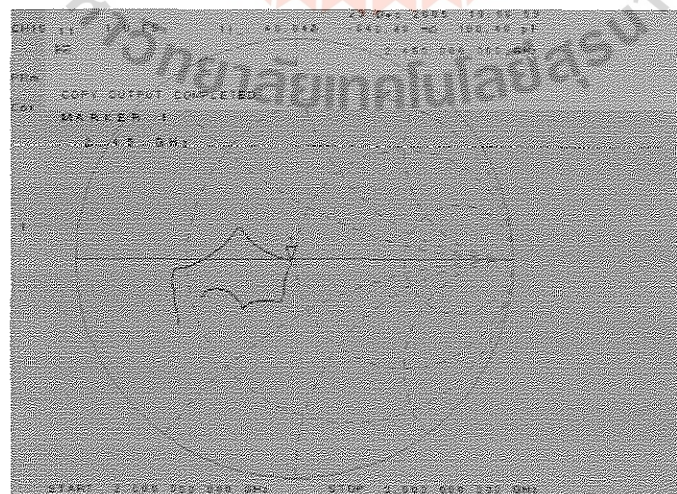
S21 ที่ไม่มีการป้อนไฟกระเบนตรง

MMIC เบอร์ HMC287MS8

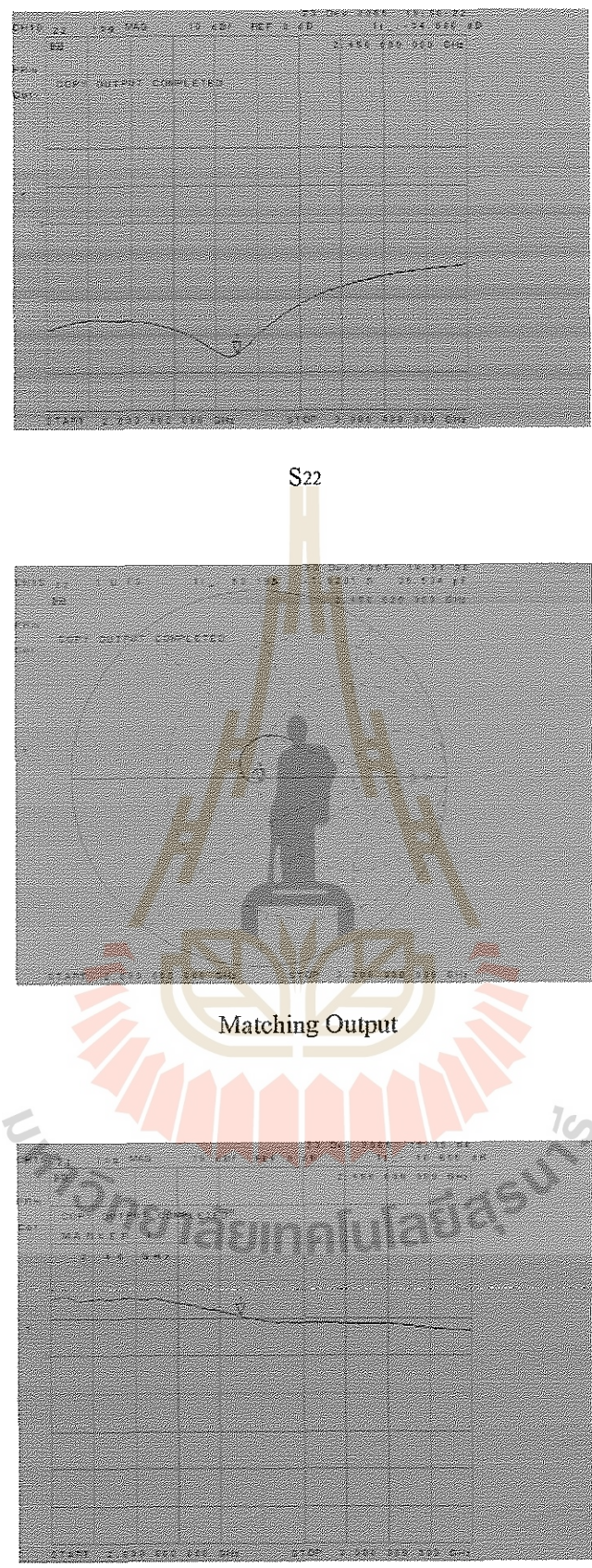
ผลที่ได้



S21



Matching Input



S21 เมื่อมีการป้อนไฟกระเบศดูจะ

## บทที่ 5 บทสรุป

ในบทนี้จะกล่าวถึงส่วนต่างๆ ของระบบห้องทดลอง เป็นส่วนของอุปกรณ์ที่สร้างขึ้น โดยจะอธิบายถึงปัญหาที่พบในการทำงาน และวิธีแก้ไขปัญหาของส่วนต่างๆ

### 5.1 ข้อสรุปด้านงานที่พัฒนาขึ้นจากโครงการ

เนื้อหาที่ได้พัฒนาในโครงการออกแบบวงจรขยายสัญญาณ (Amplifier) สำหรับเครือข่ายไร้สาย (WLAN) ย่านความถี่ 2.4 GHz โดยใช้วงจรขยายสัญญาณแบบ MMIC สามารถสรุปได้เป็นดังนี้

1. ทำการออกแบบ สร้าง และทดสอบ ชุดวงจรขยายสัญญาณ ด้วย MMIC เมอร์ HMC286 เพื่อนำมาใช้ในการขยายสัญญาณของเครือข่ายไร้สาย
2. ทำการออกแบบ สร้าง และทดสอบ ชุดวงจรขยายสัญญาณ ด้วย MMIC เมอร์ HMC287MS8 เพื่อนำมาใช้ในการขยายสัญญาณของเครือข่ายไร้สาย
3. ทำการเชื่อมต่อชุดวงจรขยายสัญญาณเมอร์ HMC286 และ HMC287MS8 เพื่อทำให้ชุดวงจรขยายสัญญาณของวงจรมีค่ามากขึ้นในการขยายสัญญาณของเครือข่ายไร้สาย
4. ทำการออกแบบ สร้าง และทดสอบ ชุดวงจรแหล่งจ่ายไฟฟ้ากระแสตรง เพื่อทำการป้อนแรงดันให้กับวงจรขยายสัญญาณ
5. ได้ทำการทดสอบ ทดสอบการใช้งานจริงของระบบห้องทดลอง ซึ่งผลการทดสอบปรากฏว่า ระบบห้องทดลองสามารถใช้งานได้จริง

### 5.2 ปัญหาที่พบ และแนวทางการแก้ไข

ปัญหาที่เกิดขึ้นกับโครงการ คือ ปัญหาที่ส่วนของชุดวงจรขยายสัญญาณที่มาต่อ กับวงจรกระแสและแรงดันที่จ่ายให้กับชุดวงจรขยายสัญญาณ โดยรายละเอียดและการแก้ไขดังตารางที่ 5.1

ปัญหาที่พบ	สาเหตุและแนวทางการแก้ไข
1. MMIC พังง่าย	สาเหตุ - เนื่องจากการต่อแหล่งจ่ายไฟ เข้าไปโดยตรงโดยไม่มีการจำกัดกระแส ทำให้กระแสไฟ流เข้าไปมากกว่าขีดจำกัดของ MMIC การแก้ไข - นำตัวด้านกานขนาด 300 โอห์ม มาต่อ เพื่อจำกัดกระแสที่ไหลผ่านเข้า MMIC
2. วัดค่าสัญญาณอาทพุทได้น้อยกว่า Spec บุคลิกการ Oscillate	สาเหตุ - เนื่องจากการไม่ Matching ระหว่างตัว MMIC กับสายปรินท์บน PCB ที่เราออกแบบ และสายจากตัว MMIC จึงทำให้สัญญาณเกิดการสะท้อนกลับบางส่วน หรืออาจบุคลิกการสัญญาณในสายวัดขณะทำการวัดสัญญาณ และอีกสาเหตุหนึ่งคือ ไฟที่จ่ายเข้า MMIC ไม่เรียบ การแก้ไข - ในทางปฏิบัติ ถ้าเป็นการวัดค่าบุคลิกใช้สายที่สั้นเพื่อไม่ให้เกิดการสัญญาณสั่นที่มากนัก - นำตัวเก็บประจุขนาด 10nF ขนาดกัน 0.1nF เพื่อทำไฟที่จ่ายเข้า MMIC เรียบรื่น
3. การป้อนแรงดัน Vdd เข้ากับชุดวงจรขยายสัญญาณ MMIC แต่คะแนนอร์ไม่เท่ากัน	สาเหตุ - เนื่องจากคุณภาพของ MMIC แต่คะแนนอร์ที่นำมาใช้งานทำให้เกิดความผุ่งมากในการจ่ายไฟ DC การแก้ไข ทำแฟลล์งจ่ายขึ้นมาเฉพาะ สำหรับวงจรขยาย (ในที่นี้จะต้องการแรงดันที่ 1.6V, 1.9V)

ตารางที่ 5.1 ปัญหาที่พบในโครงงาน และแนวทางการแก้ไข

### 5.3 ผลที่ได้จากการทดลอง

สำหรับสิ่งที่ได้รับจากพัฒนาโครงงานออกแบบวงจรขยายสัญญาณ (Amplifier) สำหรับเครือข่ายไร้สาย (WLAN) ย่านความถี่ 2.4 GHz โดยใช้วงจรขยายสัญญาณแบบ MMIC สามารถแบ่งเป็นหัวข้ออยู่ได้ดังต่อไปนี้

- ได้เรียนรู้และศึกษาวิธีการออกแบบลายวงจร แบบไม่โครงสร้างที่ความถี่สูง
- เข้าใจถึงคุณสมบัติและการใช้งานของ MMIC และสามารถนำไปประยุกต์ใช้กับงานได้อย่างเหมาะสม
- สามารถวิเคราะห์สัญญาณที่ได้จากอุปกรณ์จริง
- ได้เข้าใจถึงหลักการทำงานของวงจรทวนสัญญาณ

5. ได้เครื่องต้นแบบของวงจรทวนสัญญาณสำหรับเครือข่ายท้องถิ่นไร้สาย (WLAN) ย่านความถี่ 2.4 GHz โดยใช้วงจรขยายสัญญาณแบบ MMIC ซึ่งสามารถนำไปพัฒนาในเชิงพาณิชย์ต่อไป

#### 5.4 ข้อเสนอแนะ

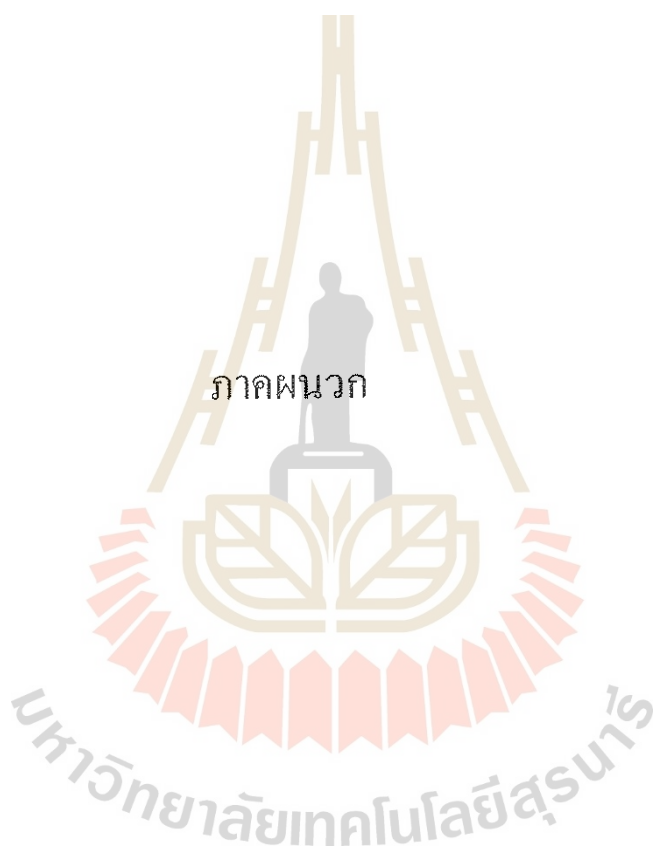
1. ในการเลือกใช้ไอซี เพื่อจะมาใช้กับวงจรขยายสัญญาณ ควรเลือกใช้ที่อัตราขยายยิ่งมากยิ่งดี แต่ต้องดูด้วยว่าเป็น Low Noise Amplifier ที่ใช้ในย่านความถี่ 2.3-2.5 GHz หรือไม่ และ Noise Figure ที่ไม่ควรที่จะเกิน 2 dB
2. ในการทดลองไม่ควรจ่ายไฟจาก supply เกินที่กำหนด เพราะจะทำให้ไฟวิงเข้าไอซี ทำให้วงจรพังได้
3. ในการออกแบบสายทองแดงควรที่จะใช้เครื่อง Network วัดจะก่อน เพื่อจะดูว่า input และ output Matching ที่  $50 \text{ ohm}$  หรือไม่ ถ้าเราเอาไปทดสอบโดยถ้าไม่ Match วงจรที่ออกแบบมาอาจจะไม่ขยายได้
4. เมื่อจะนำไอซีมีขนาดเด็ก ควรที่จะระมัดระวังในการบัดกรี เพราะเวลาบัดกรีเข้าไอซี อาจติดกันทำให้เกิดการ short circuit ได้ และไม่ควรจี๊ดเข้าไอซีเป็นเวลานานๆ อาจทำให้ไอซีพังได้
5. ควรศึกษาและเรียนรู้การใช้เครื่องมือวัด Network และ Spectrum Analyzer ให้เกิดความชำนาญ

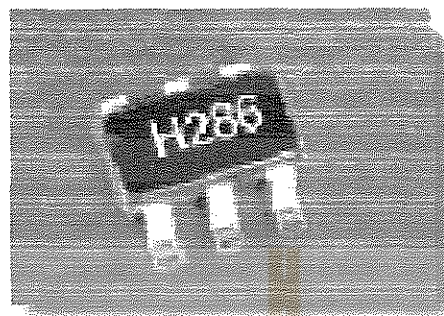
#### 5.5 แนวทางการพัฒนาต่อไป

1. เพิ่มชุดวงจรทวนสัญญาณให้มากขึ้น เพื่อที่จะนำไปใช้กับงานจริง และครอบคลุมพื้นที่ใหม่ๆ กัน
2. ปรับปรุง และ พัฒนาวงจรทวนสัญญาณให้มีประสิทธิภาพการทำงานที่ดีขึ้นกว่าเดิม

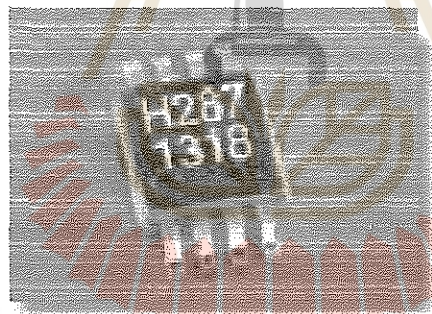
## บรรณานุกรม

1. จันทร์ธิยา ลุนละวงศ์, นันทิตา ใจคำนึงนิด และ พัฒนา แสงชูน.“ระบบแสดงสัญญาณไฟจราจรอัตโนมัติ.” วิทยานิพนธ์ปริญญาตรี สาขาวิชาศึกกรรมโทรคมนาคม มหาวิทยาลัยเทคโนโลยีสุรนารี นครราชสีมา, 2547
2. สนิท กัลยา.“การออกแบบระบบเครื่องต้นแบบสำหรับควบคุมแสงไฟด้วยเครื่องรับส่งวิทยุ.” วิทยานิพนธ์ปริญญาตรี สาขาวิชาศึกกรรมโทรคมนาคม มหาวิทยาลัยเทคโนโลยีสุรนารี นครราชสีมา, 2547
3. Hittite Microwave Corporation, HMC286 GaAS MMIC Low Noise Amplifier, 2.3-2.5 GHz. Available from : <http://www.hittite.com/>
4. Hittite Microwave Corporation, HMC287 GaAS MMIC Low Noise Amplifier, 2.3-2.5 GHz. Available from : <http://www.hittite.com/>
5. Siripruchyanun, M. Basic BJT Amplifier. Engineering Electronic (221308). September 3, 2003.

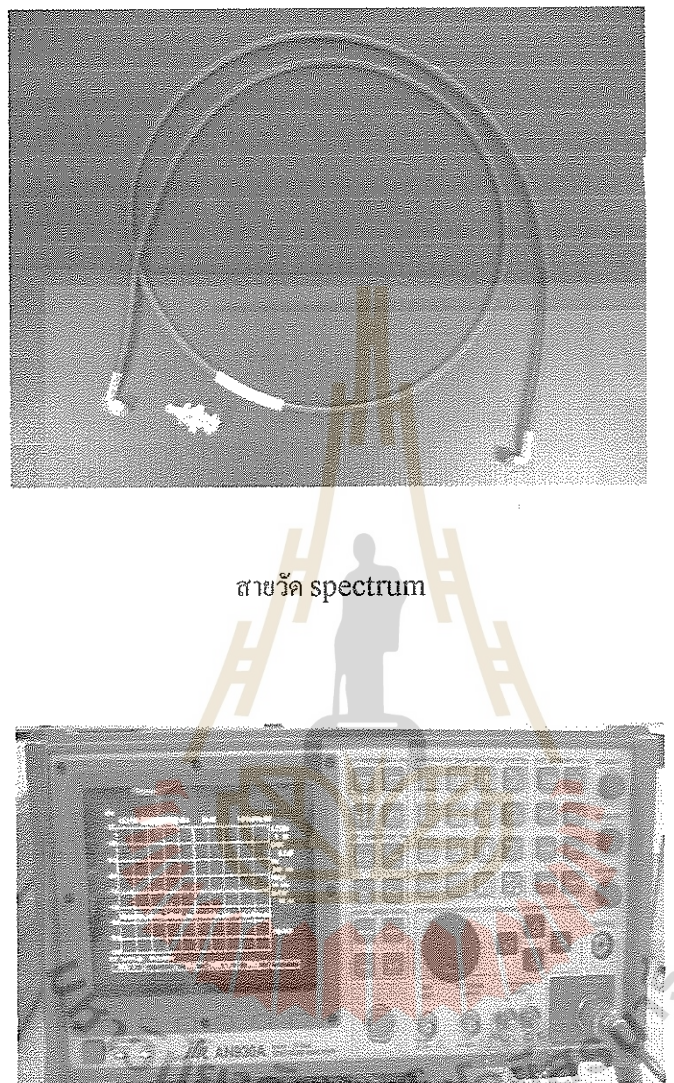




MMIC មេរី HMC286



MMIC មេរី HMC287MS8



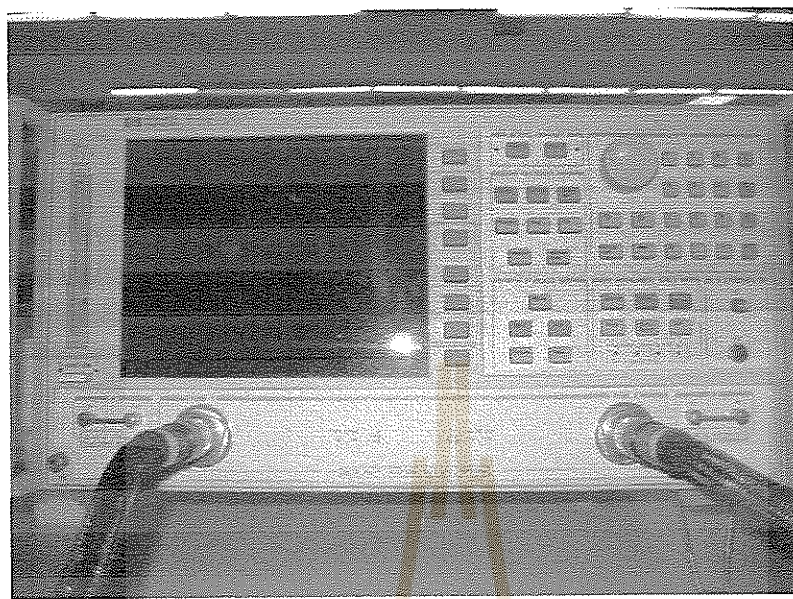
Spectrum Analyzer



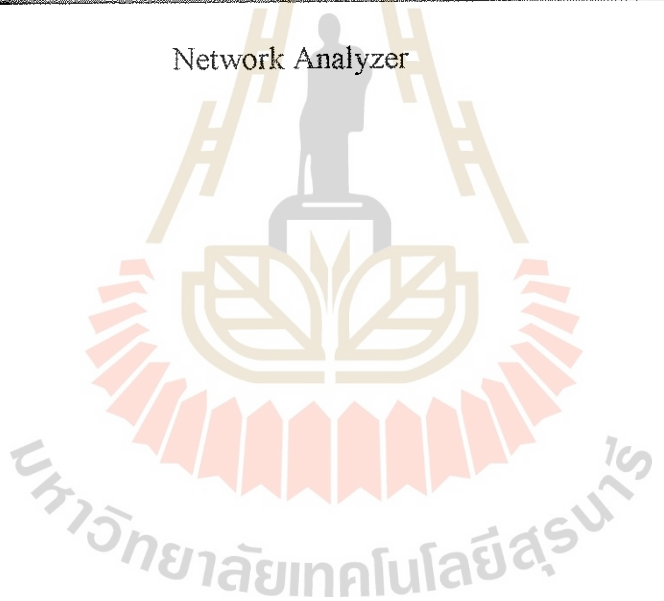
Signal Generator



Power supply



Network Analyzer





### Typical Applications

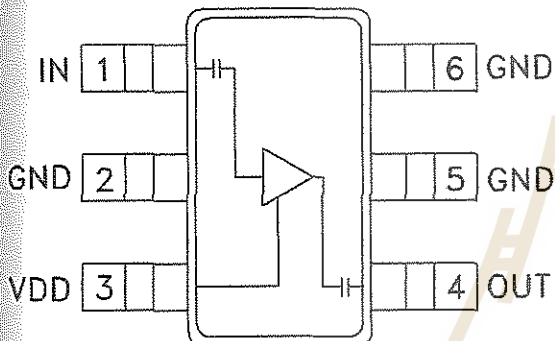
The HMC286 / HMC286E is ideal for:

- BlueTooth
- Home RF
- 802.11 WLAN Radios
- PCMCIA Platforms

### Features

- 2.4 GHz LNA
- Noise Figure: 1.7 dB
- Gain: 19 dB
- Single Supply: +3V
- No External Components
- Ultra Small SOT26 Package

### Functional Diagram

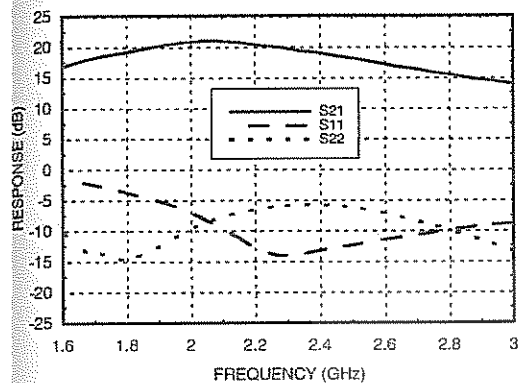
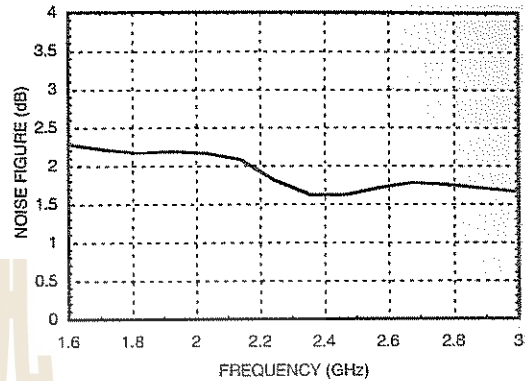
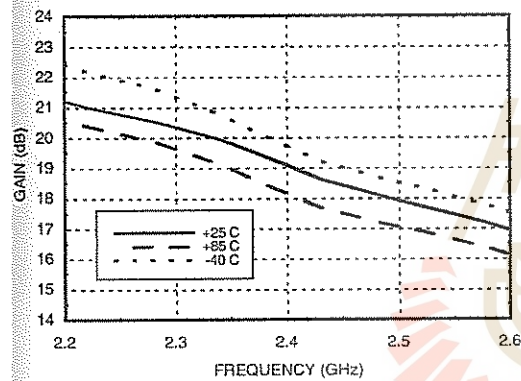
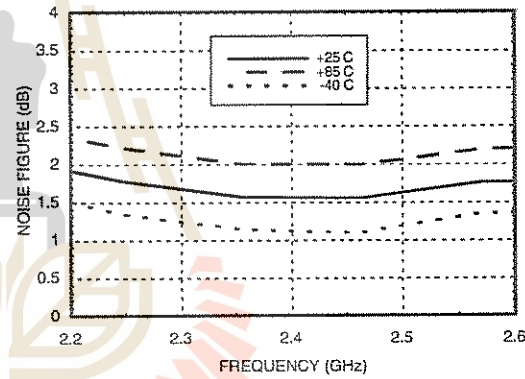
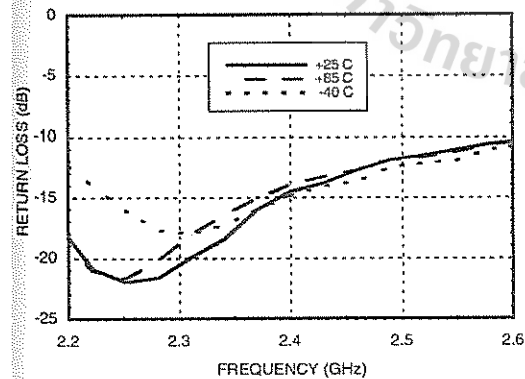
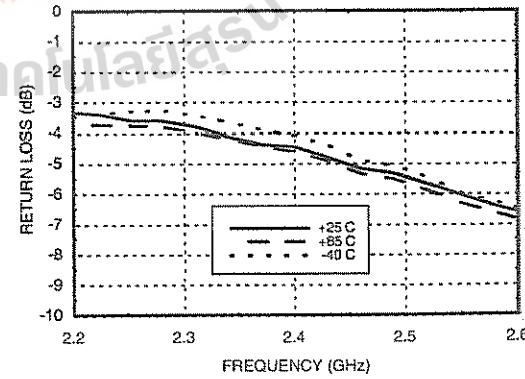


### General Description

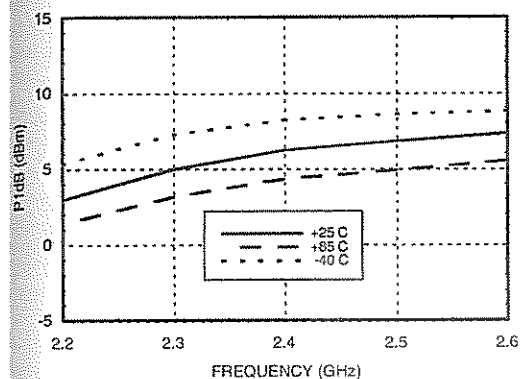
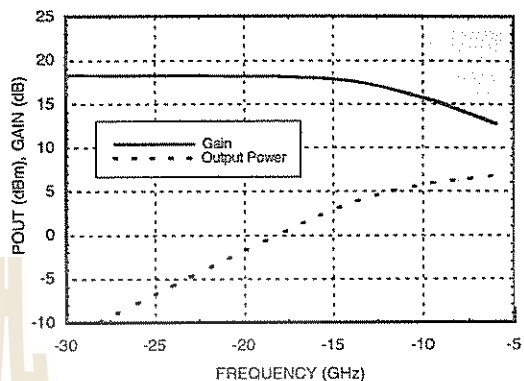
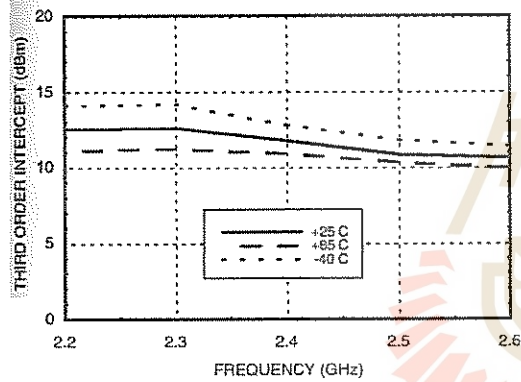
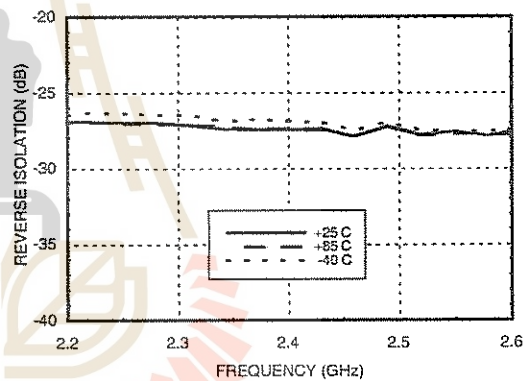
The HMC286 & HMC286E are low cost Low Noise Amplifiers (LNA) for 2.3 to 2.5 GHz spread spectrum applications. The LNA provides 19 dB of gain and a 1.7 dB noise figure from a single positive +3V power supply that consumes only 8.5mA. The typical output 1 dB compression point is +6 dBm at 2.4 GHz. The compact LNA design utilizes on-chip matching for repeatable gain and noise figure performance. In addition, eliminating the external matching circuitry also reduces the overall size of the LNA function. The HMC286 & HMC286E were designed to meet the size constraints of PCMCIA platforms and uses the SOT26 package that occupies 0.118" x 0.118", which makes them a small fully integrated solution that can be easily implemented with other 2.4 GHz ASICs.

### Electrical Specifications, $T_A = +25^\circ C$ , $Vdd = +3V$

Parameter	Min.	Typ.	Max.	Units
Frequency Range		2.3 - 2.5		GHz
Gain	16	19		dB
Gain Variation Over Temperature		0.015	0.03	dB/°C
Gain Flatness		±1.25		dB
Noise Figure		1.7	2.5	dB
Input Return Loss		12		dB
Output Return Loss		4.5		dB
Output 1 dB Compression (P1dB)	2	6		dBm
Output Third Order Intercept (IP3)	9	12		dBm
Supply Current (Id)		8.5	12.5	mA


**Broadband Gain & Return Loss**

**Broadband Noise Figure**

**Gain vs. Temperature**

**Noise Figure vs. Temperature**

**Input Return Loss vs. Temperature**

**Output Return Loss vs. Temperature**


For price, delivery, and to place orders, please contact Hittite Microwave Corporation:  
 20 Alpha Road, Chelmsford, MA 01824 Phone: 978-250-3343 Fax: 978-250-3373  
 Order On-line at [www.hittite.com](http://www.hittite.com)


**GaAs MMIC LOW NOISE  
AMPLIFIER, 2.3 - 2.5 GHz**
**Output P1dB vs. Temperature****Power Compression @ 2.4 GHz****Output IP3 vs. Temperature****Reverse Isolation vs. Temperature**



**GaAs MMIC LOW NOISE  
AMPLIFIER, 2.3 - 2.5 GHz**

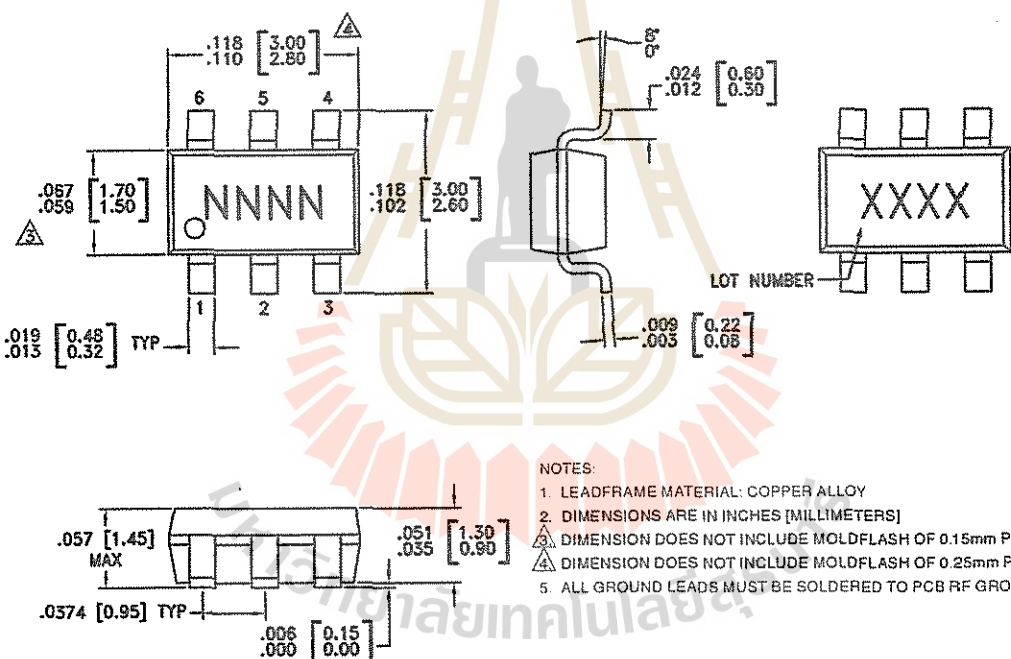
### Absolute Maximum Ratings

Drain Bias Voltage (Vdd)	+7.0 Vdc
RF Input Power (RFin)(Vdd = +3.0 Vdc)	0 dBm
Channel Temperature	150 °C
Continuous Poiss (T = 85 °C) (derate 6.35 mW/°C above 85 °C)	0.413 W
Thermal Resistance (channel to lead)	157 °C/W
Storage Temperature	-65 to +150 °C
Operating Temperature	-40 to +85 °C
ESD Sensitivity (HBM)	Class 1A



ELECTROSTATIC SENSITIVE DEVICE  
OBSERVE HANDLING PRECAUTIONS

### Outline Drawing



### Package Information

Part Number	Package Body Material	Lead Finish	MSL Rating	Package Marking <sup>[3]</sup>
HMC286	Low Stress Injection Molded Plastic	Sn/Pb Solder	MSL1 <sup>[1]</sup>	H286 XXXX
HMC286E	RoHS-compliant Low Stress Injection Molded Plastic	100% matte Sn	MSL1 <sup>[2]</sup>	286E XXXX

[1] Max peak reflow temperature of 235 °C

[2] Max peak reflow temperature of 260 °C

[3] 4-Digit lot number XXXX

For price, delivery, and to place orders, please contact Hittite Microwave Corporation:  
20 Alpha Road, Chelmsford, MA 01824 Phone: 978-250-3343 Fax: 978-250-3373  
Order On-line at [www.hittite.com](http://www.hittite.com)



MICROWAVE CORPORATION

v03.0605

HMC286 / 286E

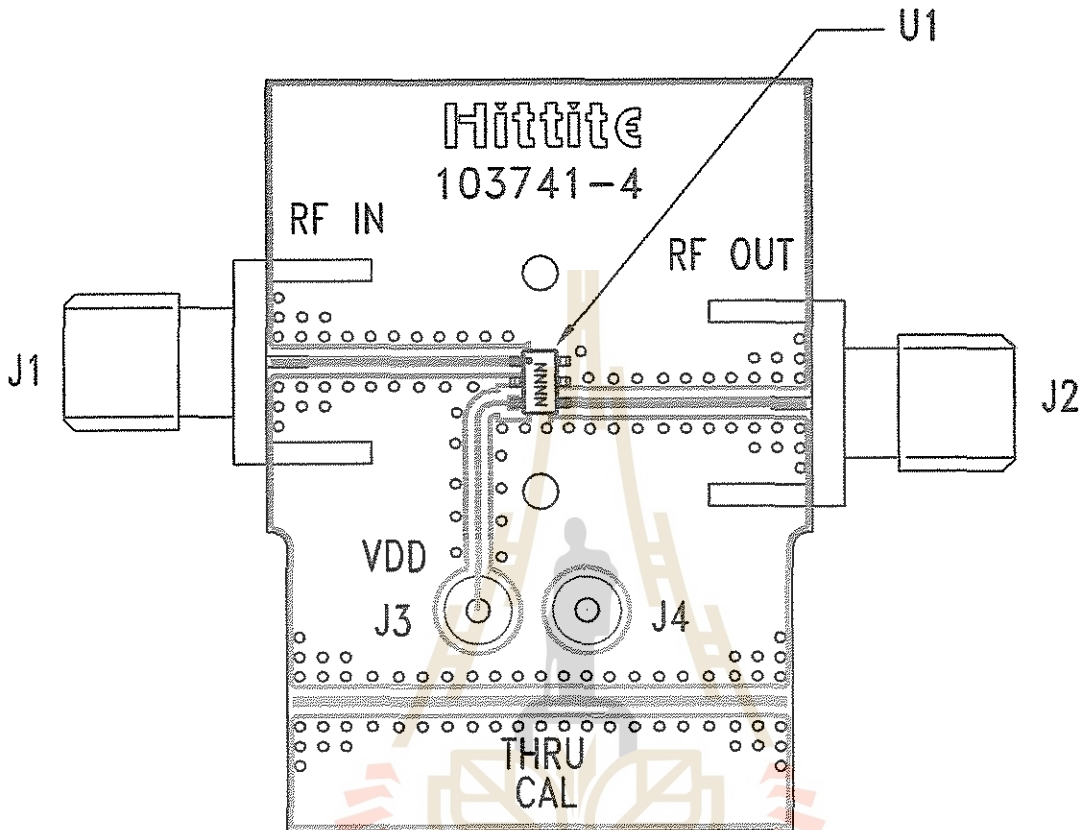
GaAs MMIC LOW NOISE  
AMPLIFIER, 2.3 - 2.5 GHz

### Pin Descriptions

Pin Number	Function	Description	Interface Schematic
1	RFIN	This pin is AC coupled and matched to 50 Ohms.	RFIN —  —
2, 5, 6	GND	These pins must be connected to RF/DC ground.	—  — GND
3	VDD	Power supply voltage.	—  — Vdd
4	RFOUT	This pin is AC coupled and matched to 50 Ohms.	—  — RFOUT



**Evaluation PCB**



**List of Material for Evaluation PCB 103743<sup>[1]</sup>**

Item	Description
J1, J2	PCB Mount SMA Connector
J3, J4	DC Pin
U1	HMC286 / HMC286E Amplifier
PCB [2]	103741 Eval Board

[1] Reference this number when ordering complete evaluation PCB

[2] Circuit Board Material: Roger 4350

The circuit board used in the final application should use RF circuit design techniques. Signal lines should have 50 ohm impedance while the package ground leads should be connected directly to the ground plane similar to that shown above. A sufficient number of VIA holes should be used to connect the top and bottom ground planes. The evaluation circuit board shown is available from Hittite upon request.



MICROWAVE CORPORATION v02.0605

# HMC287MS8 / 287MS8E

GaAs MMIC LOW NOISE AMPLIFIER  
with AGC, 2.3 - 2.5 GHz



## Typical Applications

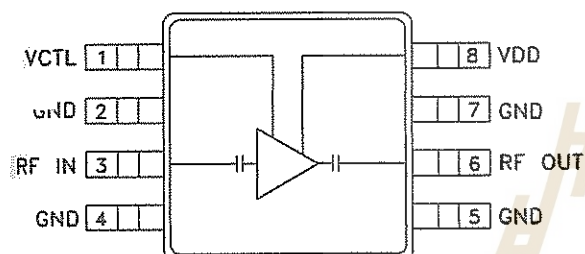
LNA for Spread Spectrum Applications:

- BLUETOOTH
- HomeRF
- 802.11 WLAN
- 2.5 GHz Radios

## Features

- Gain: 21 dB
- Noise Figure: 2.5 dB
- Gain Adjustment: 30 dB
- Single Positive Supply: +3V
- No External Components
- Ultra Small Package: MSOP8G

## Functional Diagram



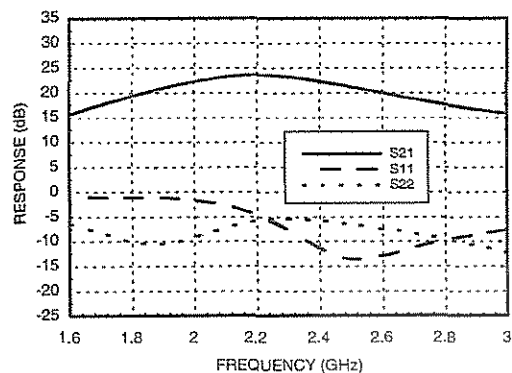
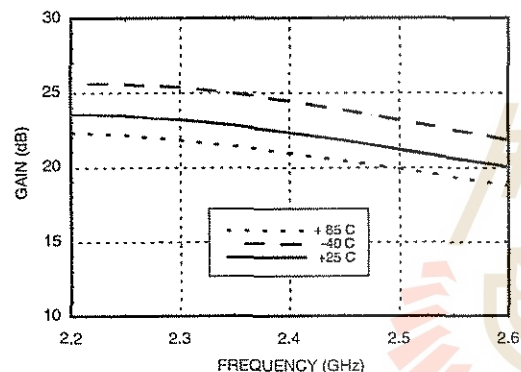
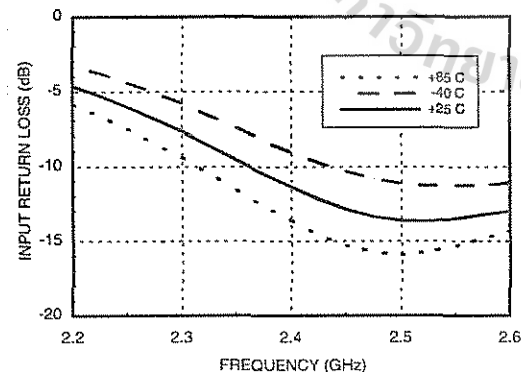
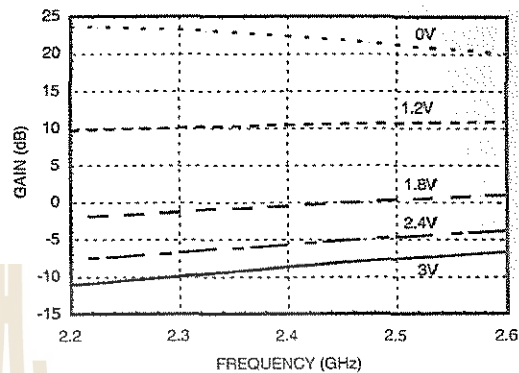
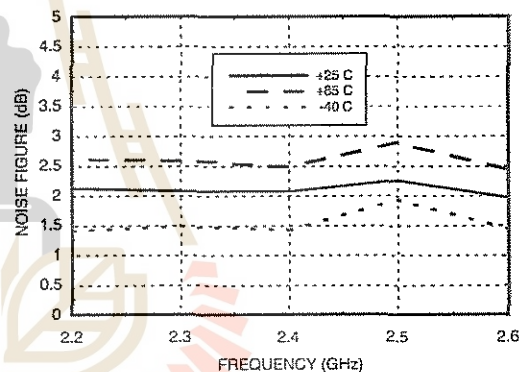
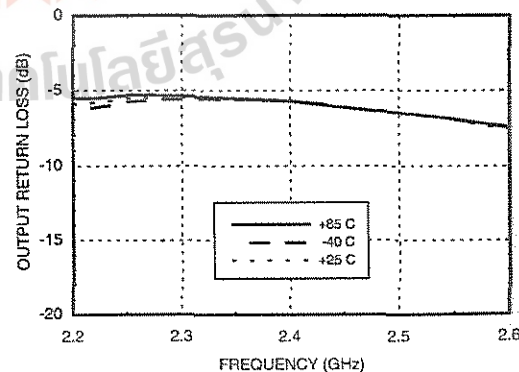
## General Description

The HMC287MS8 & HMC287MS8E are low cost Low Noise Amplifiers (LNA) offering 21 dB of gain and a 2.5 dB noise figure from a single positive +3V supply that requires only 9 mA. The HMC287MS8 & HMC287MS8E can be used as variable gain LNAs, offering 30 dB of gain control, which is controlled with 0 to 3V analog voltages. The typical output 1dB compression point is +3 dBm and OIP3 is +7 dBm when in the maximum gain state. The compact LNA design utilizes on-chip matching for repeatable gain and noise figure performance and eliminates the need for external matching circuitry to reduce the overall size of the LNA function.

## Electrical Specifications, $T_A = +25^\circ C$ , $Vdd = +3V$

Parameter	Min.	Typ.	Max.	Units
Frequency Range		2.3 - 2.5		GHz
Gain	15	21	27	dB
Gain Variation Over Temperature		0.03	0.04	dB/ $^\circ C$
Gain Adjustment Range (Vctl 0 to +3V)		30		dB
Noise Figure (Vctl = 0V)		2.5	3.0	dB
Input Return Loss	5	10		dB
Output Return Loss	3	6		dB
Output 1 dB Compression (P1dB)	-2	3		dBm
Output Third Order Intercept (IP3)	3	7		dBm
Control Voltage (Vctl)	0		$Vdd$	Vdc
Supply Current (Idd)(Vdd = +3.0 Vdc)		9	15	mA

For price, delivery, and to place orders, please contact Hittite Microwave Corporation:  
20 Alpha Road, Chelmsford, MA 01824 Phone: 978-250-3343 Fax: 978-250-3373  
Order On-line at [www.hittite.com](http://www.hittite.com)


**Broadband Gain  
& Return Loss, V<sub>ctl</sub> = 0V**

**Gain vs. Temperature, V<sub>ctl</sub> = 0V**

**Input Return Loss  
vs. Temperature, V<sub>ctl</sub> = 0V**

**Gain Over Control Voltage Range**

**Noise Figure  
vs. Temperature, V<sub>ctl</sub> = 0V**

**Output Return Loss  
vs. Temperature, V<sub>ctl</sub> = 0V**




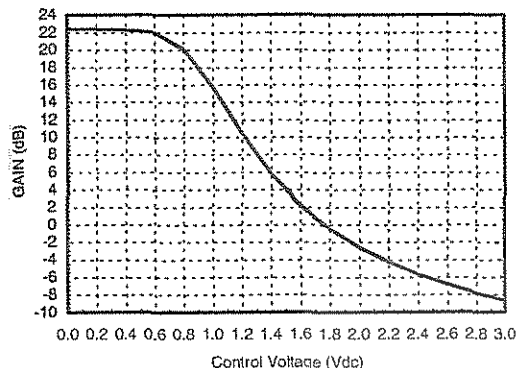
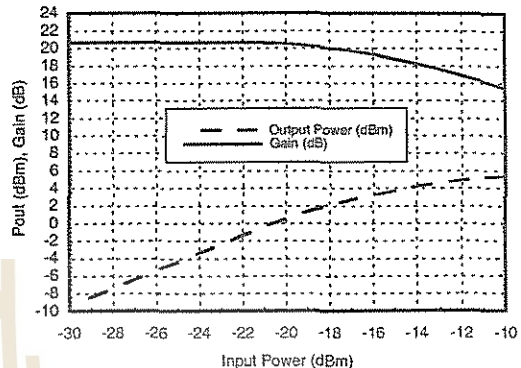
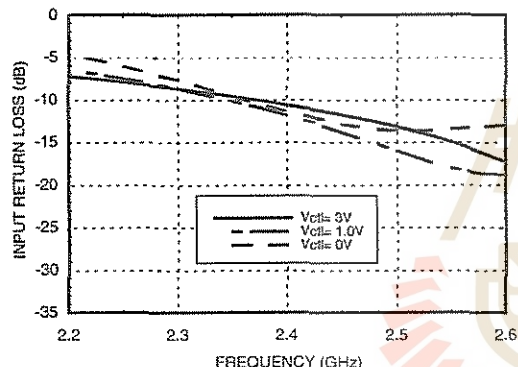
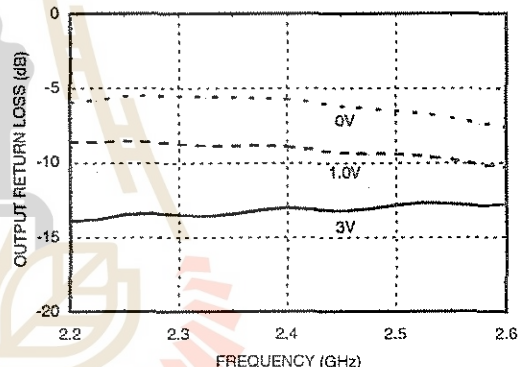
MICROWAVE CORPORATION

v02.0605



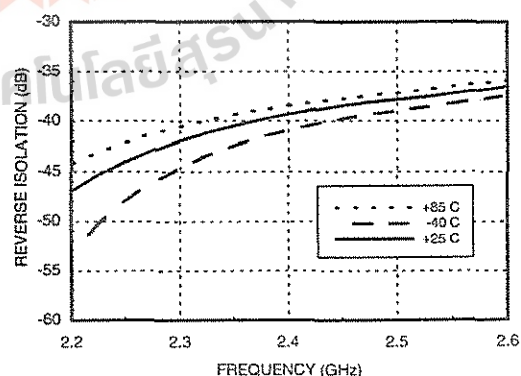
# HMC287MS8 / 287MS8E

## GaAs MMIC LOW NOISE AMPLIFIER with AGC, 2.3 - 2.5 GHz

**Gain vs. Control Voltage@ 2.4 GHz****Power Compression@ 2.4 GHz, Vctl = 0V****Input Return Loss  
Over Control Voltage Range****Output Return Loss  
Over Control Voltage Range****Noise Figure and  
Output IP3 vs. Control Voltage**

VCTL	Frequency = 2.4 GHz	
	Noise Figure	OIP3 (dBm)*
0V	2.5	7.1
1.7V	4.0	-4.4
3.0V	10.0	-12.9

\* Two-tone input power = -30 dBm per tone.

**Reverse Isolation  
vs. Temperature, Vctl = 0V**

For price, delivery, and to place orders, please contact Hittite Microwave Corporation:  
20 Alpha Road, Chelmsford, MA 01824 Phone: 978-250-3343 Fax: 978-250-3373  
Order On-line at [www.hittite.com](http://www.hittite.com)



### Absolute Maximum Ratings

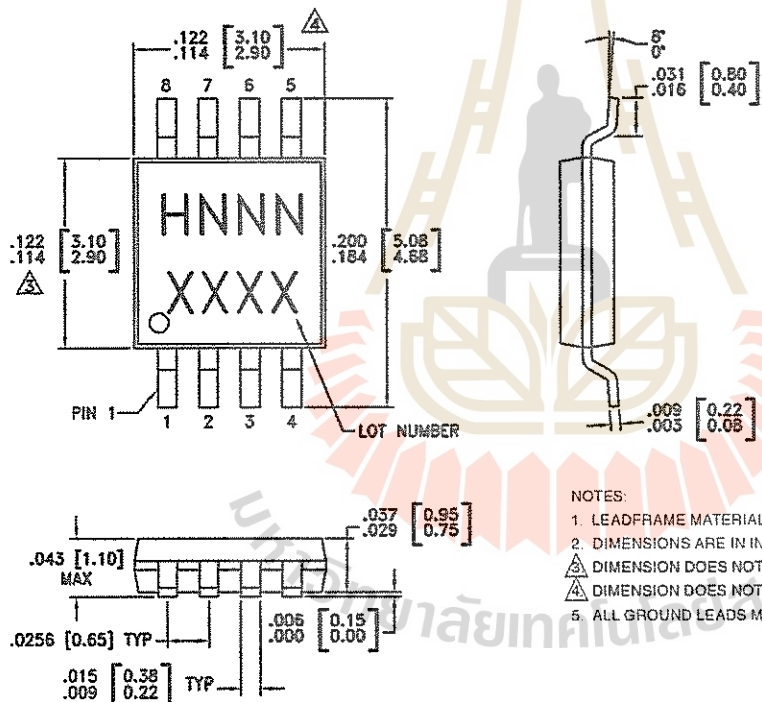
Drain Bias Voltage (Vdd)	+7.0 Vdc
Control Voltage Range (Vctl)	-0.2V to Vdd
RF Input Power (RFin)(Vdd = +3.0 Vdc)	-7 dBm
Channel Temperature	150 °C
Continuous Pdiss (T = 85 °C) (derate 5.62 mW/°C above 85 °C)	0.365 W
Thermal Resistance (channel to lead)	178 °C/W
Storage Temperature	-65 to +150 °C
Operating Temperature	-40 to +85 °C

### Gain Control

Vctl (Vdc)	Gain State	Typical Ictl (µA)
0.0	Maximum	25
1.5	Middle	25
Vdd	Minimum	25


**ELECTROSTATIC SENSITIVE DEVICE  
OBSERVE HANDLING PRECAUTIONS**

### Outline Drawing


**NOTES:**

1. LEADFRAME MATERIAL: COPPER ALLOY
2. DIMENSIONS ARE IN INCHES [MILLIMETERS]
3. DIMENSION DOES NOT INCLUDE MOLDFLASH OF 0.15mm PER SIDE.
4. DIMENSION DOES NOT INCLUDE MOLDFLASH OF 0.25mm PER SIDE.
5. ALL GROUND LEADS MUST BE SOLDERED TO PCB RF GROUND.

### Package Information

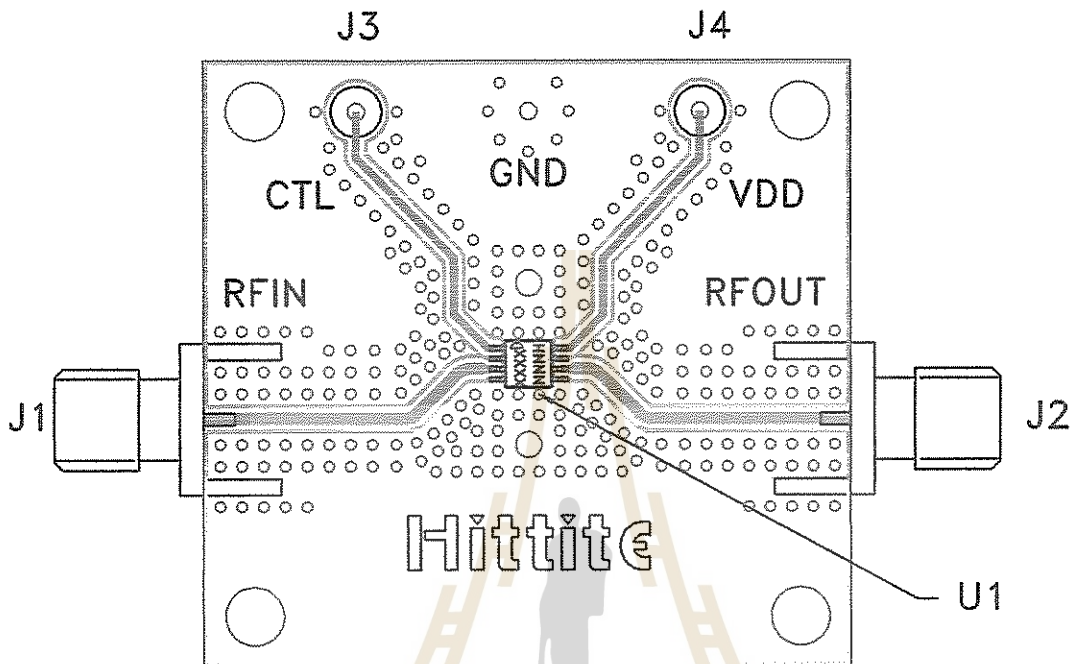
Part Number	Package Body Material	Lead Finish	MSL Rating	Package Marking <sup>[3]</sup>
HMC287MS8	Low Stress Injection Molded Plastic	Sn/Pb Solder	MSL1 <sup>[1]</sup>	H287 XXXX
HMC287MS8E	RoHS-compliant Low Stress Injection Molded Plastic	100% matte Sn	MSL1 <sup>[2]</sup>	H287 XXXX

[1] Max peak reflow temperature of 235 °C

[2] Max peak reflow temperature of 260 °C

[3] 4-Digit lot number XXXX

For price, delivery, and to place orders, please contact Hittite Microwave Corporation:  
20 Alpha Road, Chelmsford, MA 01824 Phone: 978-250-3343 Fax: 978-250-3373  
Order On-line at [www.hittite.com](http://www.hittite.com)


**Evaluation PCB**

**List of Materials for Evaluation PCB 103739<sup>[1]</sup>**

Item	Description
J1, J2	PCB Mount SMA Connector
J3, J4	DC Pin
U1	HMC287MS8 / HMC287MS8E Amplifier
PCB [2]	Evaluation Board 1.6" x 1.5"

[1] Reference this number when ordering complete evaluation PCB

[2] Circuit Board Material: Rogers 4350

The circuit board used in the final application should use RF circuit design techniques. Signal lines should have 50 ohm impedance while the package ground leads and exposed paddle should be connected directly to the ground plane similar to that shown. A sufficient number of VIA holes should be used to connect the top and bottom ground planes. The evaluation circuit board shown is available from Hittite upon request.



MICROWAVE CORPORATION

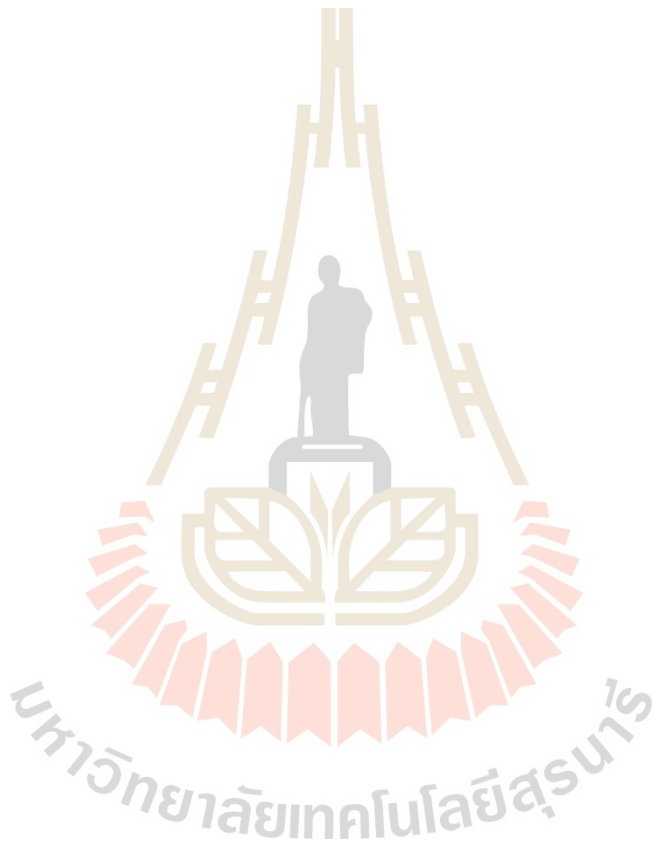
v02.0605



HMC287MS8 / 287MS8E

GaAs MMIC LOW NOISE AMPLIFIER  
with AGC, 2.3 - 2.5 GHz

Notes:



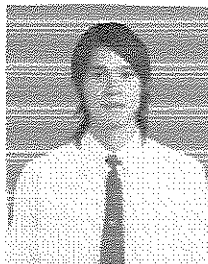
For price, delivery, and to place orders, please contact Hittite Microwave Corporation:  
20 Alpha Road, Chelmsford, MA 01824 Phone: 978-250-3343 Fax: 978-250-3373  
Order On-line at [www.hittite.com](http://www.hittite.com)

8 - 27

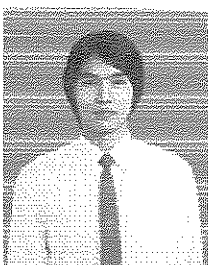
AMPLIFIERS - SMT

8

## ประวัติผู้เขียน



นายกันปนาท ล้านอก สำเร็จการศึกษาระดับมัธยมศึกษาตอนปลาย จาก โรงเรียนพิมายวิทยา ต.ในเมือง อ.พิมาย จ.นครราชสีมา เมื่อปีการศึกษา 2544 ปัจจุบันกำลังศึกษาอยู่ในระดับอุดมศึกษาชั้นปีที่ 4 สาขาวิชาวิศวกรรม โทรคมนาคม สำนักวิชาวิศวกรรมศาสตร์ มหาวิทยาลัยเทคโนโลยีสุรนารี อ. เมือง จ.นครราชสีมา



นายสุรเดช สุวรรณ โนรา สำเร็จการศึกษาระดับมัธยมศึกษาตอนปลาย จาก โรงเรียนบียะมะหาราชาลัย ต.ในเมือง อ.เมือง จ.นครพนม เมื่อปีการศึกษา 2544 ปัจจุบันกำลังศึกษาอยู่ในระดับอุดมศึกษาชั้นปีที่ 4 สาขาวิชาวิศวกรรม โทรคมนาคม สำนักวิชาวิศวกรรมศาสตร์ มหาวิทยาลัยเทคโนโลยีสุรนารี อ. เมือง จ.นครราชสีมา

มหาวิทยาลัยเทคโนโลยีสุรนารี